



IRM de la Maladie d'Alzheimer et des Maladies Apparentées

Réalités cliniques

Alexandre Krainik

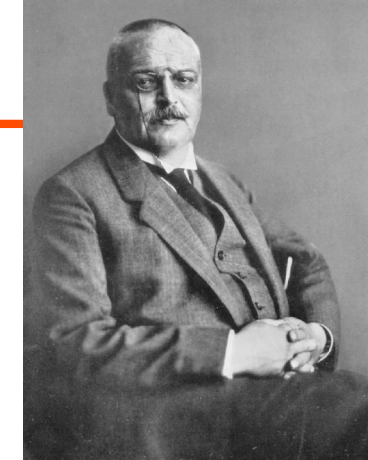
Clinique Universitaire de Neuroradiologie et d'IRM – CHU Grenoble
Grenoble Institut des Neurosciences

Neuro-imagerie et MAMA

Objectifs

- ➔ Connaître la démarche diagnostique
- ➔ Connaître les recommandations en neuro-imagerie
- ➔ Connaître les avantages et les limites de la neuro-imagerie

Introduction



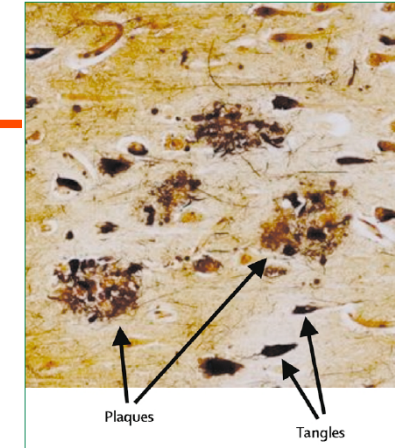
A. Alzheimer (1864-1915)

- Démence : syndrome clinique
 - Affaiblissement intellectuel global : mémoire et/ou autres fonctions
 - Habituellement chronique (> 6 mois) → handicap
 - Causes nombreuses (sujet âgé : M. d'Alzheimer ++)
- Épidémiologie
 - Prévalence : 24-33% > 85 ans
 - MA : 600 000 pers.
 - MAMA : 860 000 pers. > 65 ans en 2004 → 1 200 000 pers. en 2020
- Diagnostic différentiel
 - Confusion mentale
 - Dépression
- Traitement
 - Possibilité de stabilisation si diagnostic précoce : Troubles Cognitifs Légers
 - Inhibiteurs de l'acétylcholinesterase (donepezil, rivastigmine,...)
 - Antagoniste récepteur NMDA (memantine), ...
 - Pop. < 1 million → Pop. «totale» → Enjeu santé publique, dépistage, prévention,...?

Blennow Lancet 2006

Approche diagnostique

Troubles cognitifs (Plainte mnésique)



Blennow Lancet 2006

Clinique (Neuro-psy, évolution,...)

- Typique...
- TCL ? → évolution
- Atypie → lésion(s) focale(s)?

Imagerie (TDM, IRM,...)

- Lésion(s) focale(s)
- Lésions vasculaires
- Atrophie → évolution
- An. fonctionnelles

Anatomo-pathologie

- Tauopathie
- Plaques amyloïdes
- Corps de Lewy

Autres : dosages LCR (Total-tau, phosphorylated-tau, A β 42)

Neuro-imagerie clinique : recommandations 2008

- Imagerie initiale systématique
- Objectifs
 - Éliminer un processus expansif intracrânien
 - Identifier des lésions vasculaires
 - Recherche une atrophie cérébrale
- IRM : T1, T2 (FLAIR), T2* ; plan frontal → hippocampe
- Sinon TDM sans IV
- TEMP, TEP si doute DFT ; DATscan si doute DC Lewy



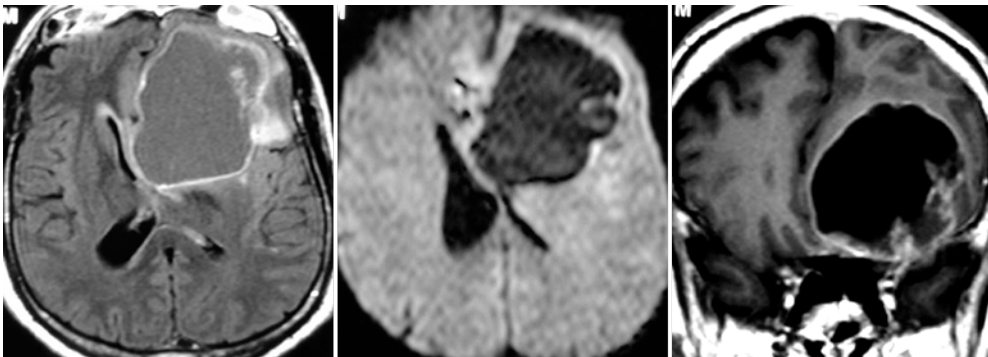
Neuro-imagerie et MAMA

Démarche diagnostique

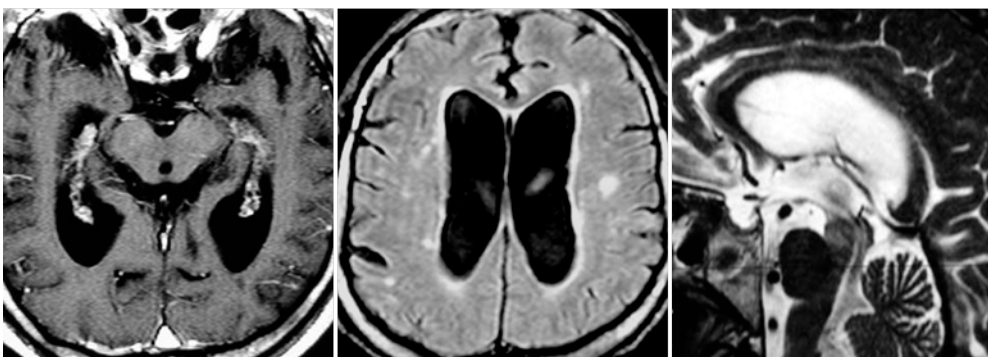
- → Démence « chirurgicale » ?
- → Démence « médicale » ?
- → Démence « neurodégénérative » ?

Rechercher une démence « chirurgicale »

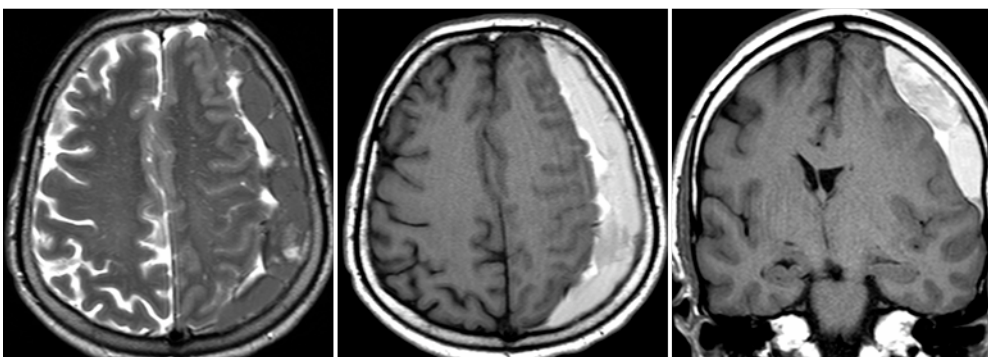
Tumeur



HCA



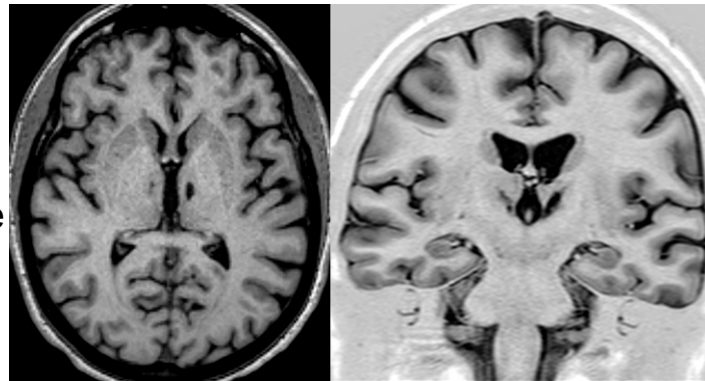
HSD



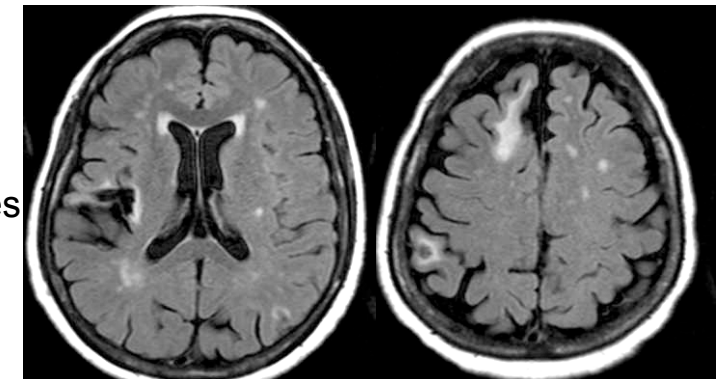
Rechercher une démence « médicale »

- Vasculaire : multi-lacunaire, CADASIL, ...
- Infection (BK, VIH, Creutzfeld-Jacob nv, syphilis, ...)
- Inflammation (MAI, SEP, ...)
- Traumatique
- Tumorale : S. paranéoplasique, LMNH, ...
- Toxique : Alcool, carence (Gayet-Wernicke), ...

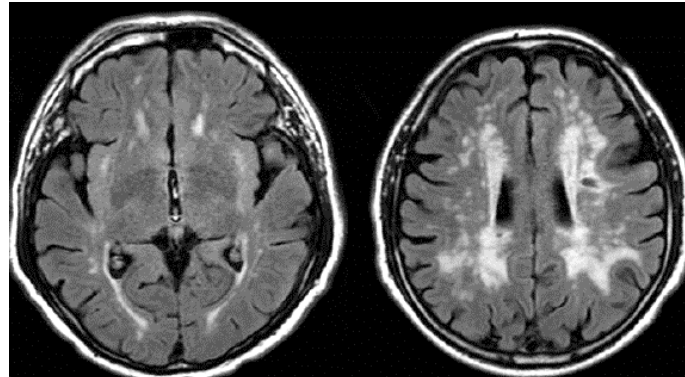
AVC
bi-thalamique



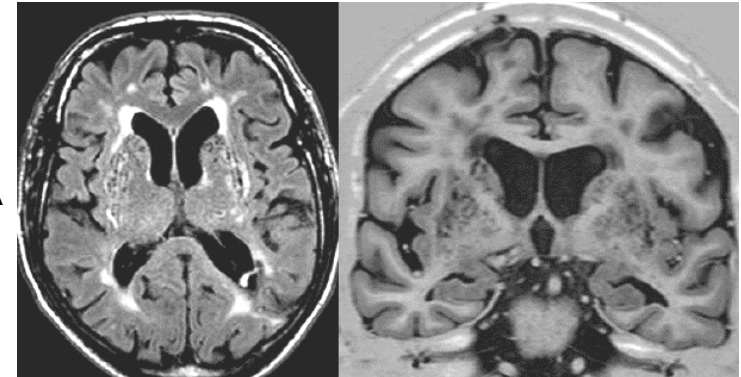
AVC
multiples



CADASIL



HTA



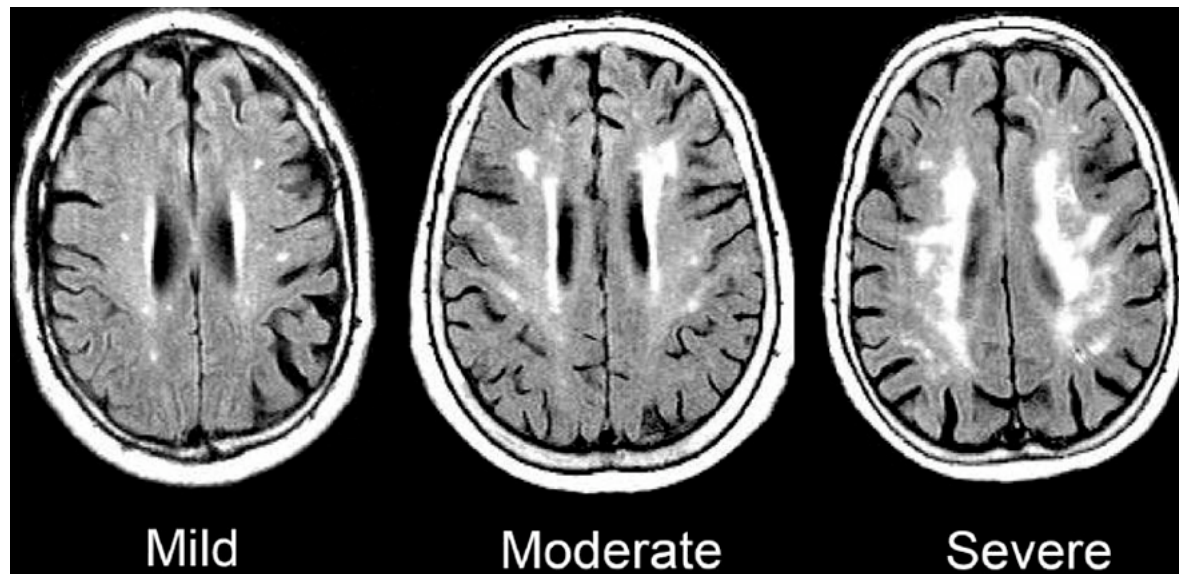
Microangiopathie

Echelle de Fazekas AJNR 1987

Grade 1 (mild changes) = single lesions <10 mm and/or areas of “grouped” lesions <20 mm in any diameter

Grade 2 (moderate changes) = single hyperintense lesions 10-20 mm, and hyperintense areas linked by no more than “connecting bridges” >20 mm in any diameter

Grade 3 (severe changes): both single and confluent hyperintense areas of ≥ 20 mm in any diameter)

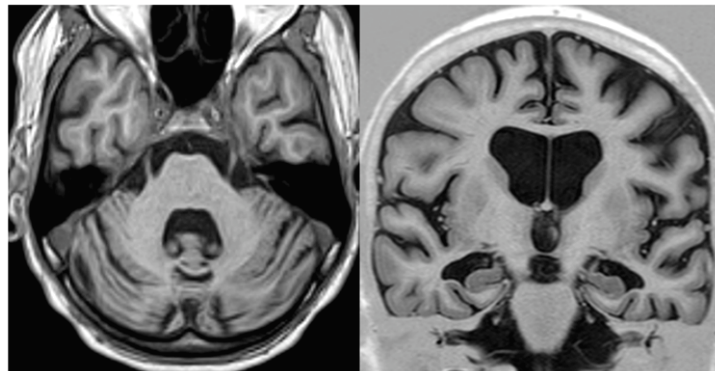


Inzitari BMJ 2009

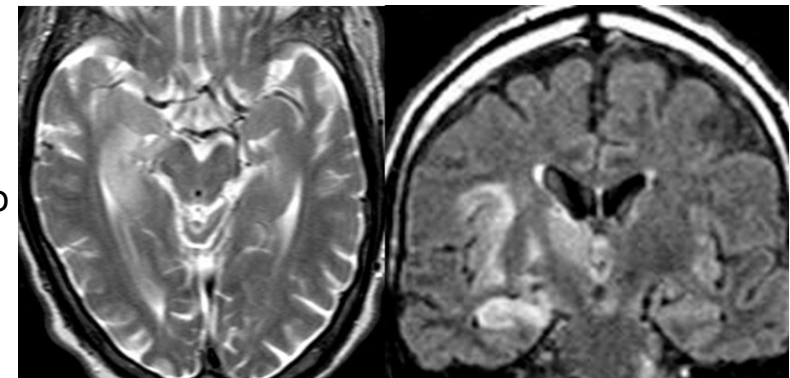
Rechercher une démence « médicale »

- Vasculaire : multi-lacunaire, CADASIL, ...
- Infection (BK, VIH, Creutzfeld-Jacob nv, syphilis, ...)
- Inflammation (MAI, SEP, ...)
- Traumatique
- Tumorale : S. paranéoplasique, LMNH, ...
- Toxique : Alcool, carence (Gayet-Wernicke), ...

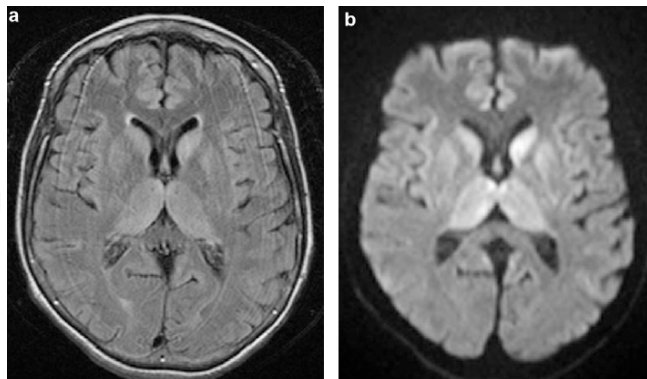
OH



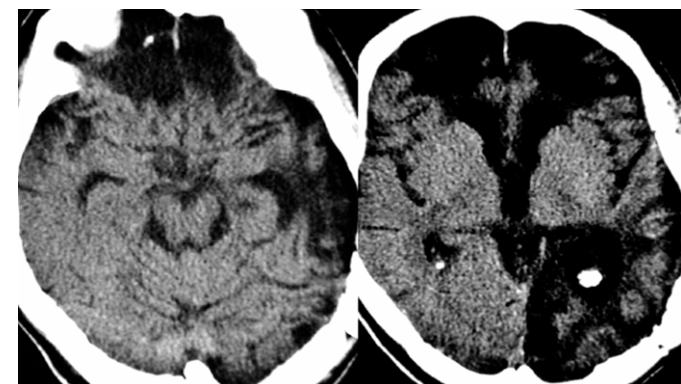
EL Paranéo



MCJ



Trauma



Nougalet, J Neuroradiol 2007

Rechercher une démence « neurodégénérative »

- Maladie d'Alzheimer
- Dégénérescence à prédominance Fronto-Temporale (APP, DS,...)
- Maladie à Corps de Lewy
- Paralysie supra-nucléaire progressive
- Dégénérescence cortico-basale

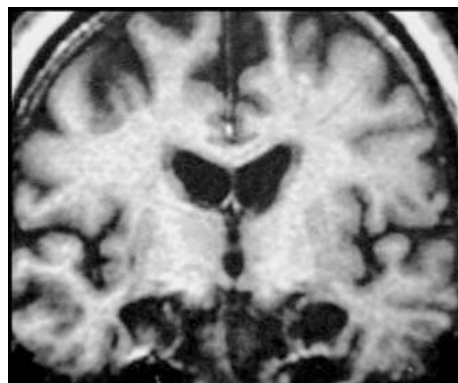
Neuro-imagerie clinique : recommandations 2008

- Imagerie initiale systématique
- Objectifs
 - Éliminer un processus expansif intracrânien
 - Identifier des lésions vasculaires
 - Recherche une atrophie cérébrale
- IRM : T1, T2 (FLAIR), T2* ; plan frontal → hippocampe
- Sinon TDM sans IV
- TEMP, TEP si doute DFT ; DATscan si doute DC Lewy



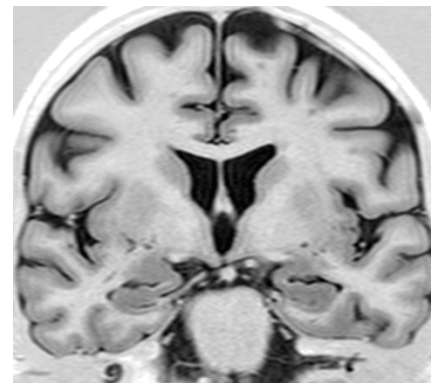
Morphométrie de l'hippocampe

HM

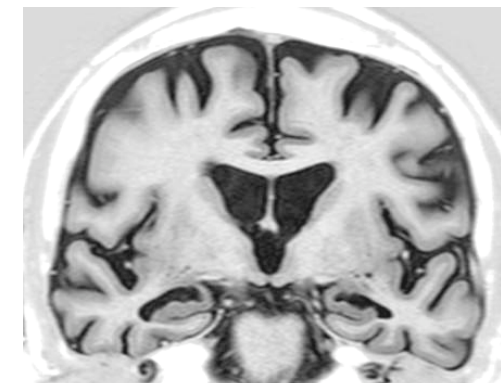


Corkin, J Neurosci 1997

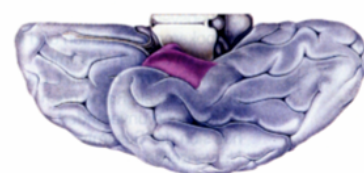
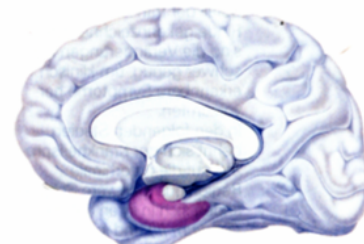
Sain



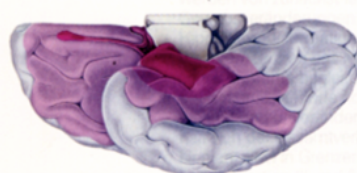
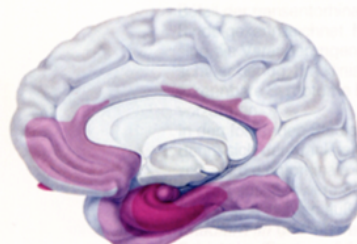
MA



Tauopathie - Braak



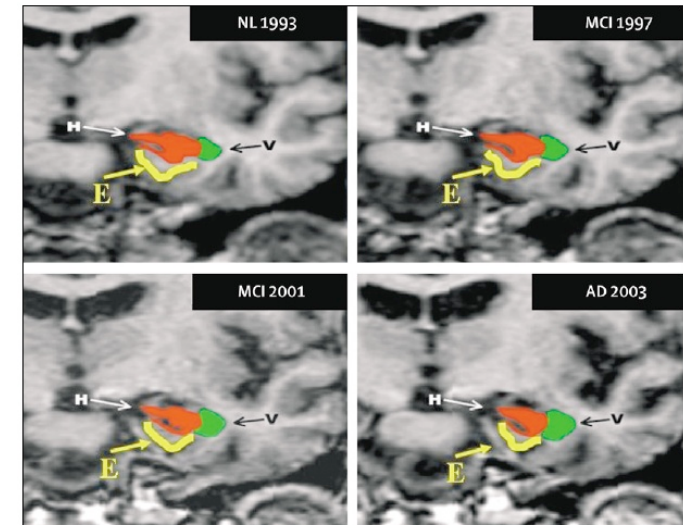
St. I-II
Transentorhinal



St. III-IV
Limbique



St. V-VI
Neocortical



Blennow Lancet 2006

Morphométrie de l'hippocampe

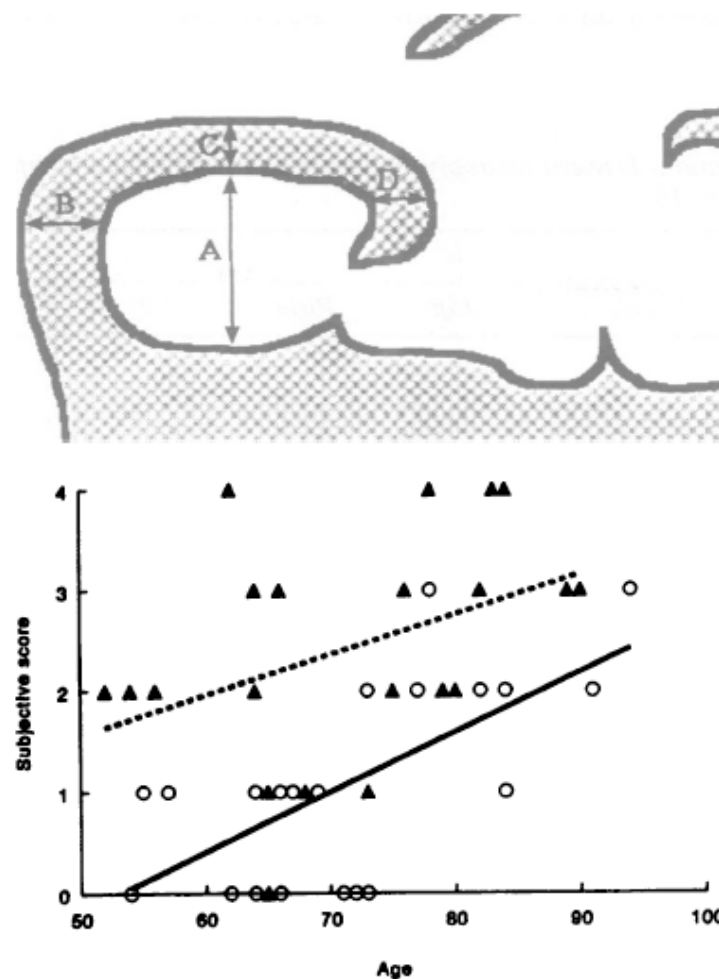
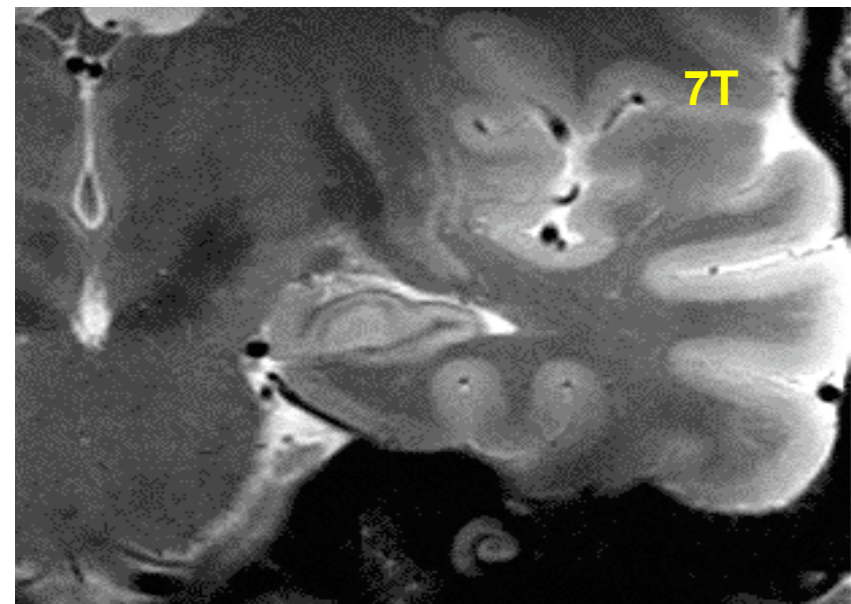


Figure 5. Scatter plot of subjective MTA score versus age in controls (open circles) and Alzheimer's disease patients (closed triangles). Regression lines are drawn in (controls - - - - -; Alzheimer's disease - - - - -).



Norris, Radboud Univ. Nijmegen

Table 1 Visual rating of medial temporal lobe atrophy

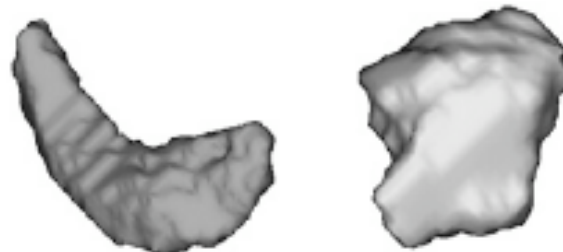
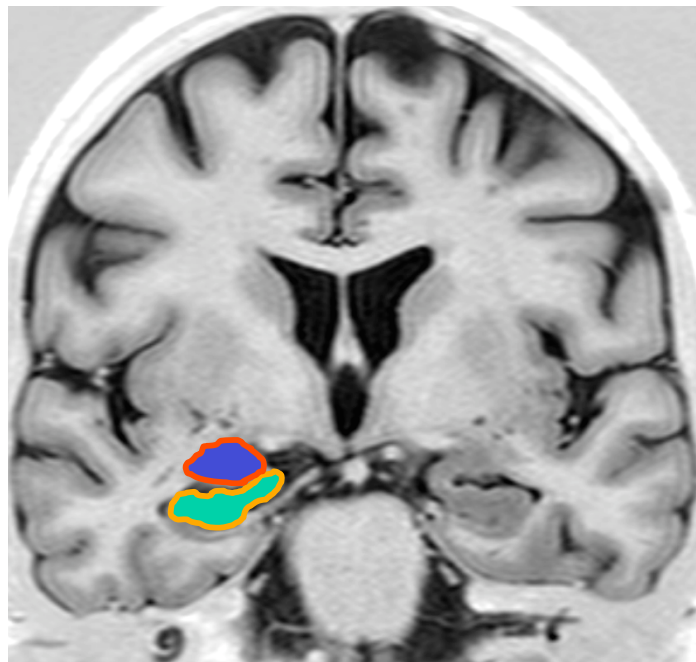
Score	Width of choroid fissure	Width of temporal horn	Height of hippocampal formation
0	N	N	N
1	↑	N	N
2	↑↑	↑	↓
3	↑↑↑	↑↑	↓↓
4	↑↑↑	↑↑↑	↓↓↓

↑ = increase, ↓ = decrease. N = normal.

Scheltens JNNP 1992

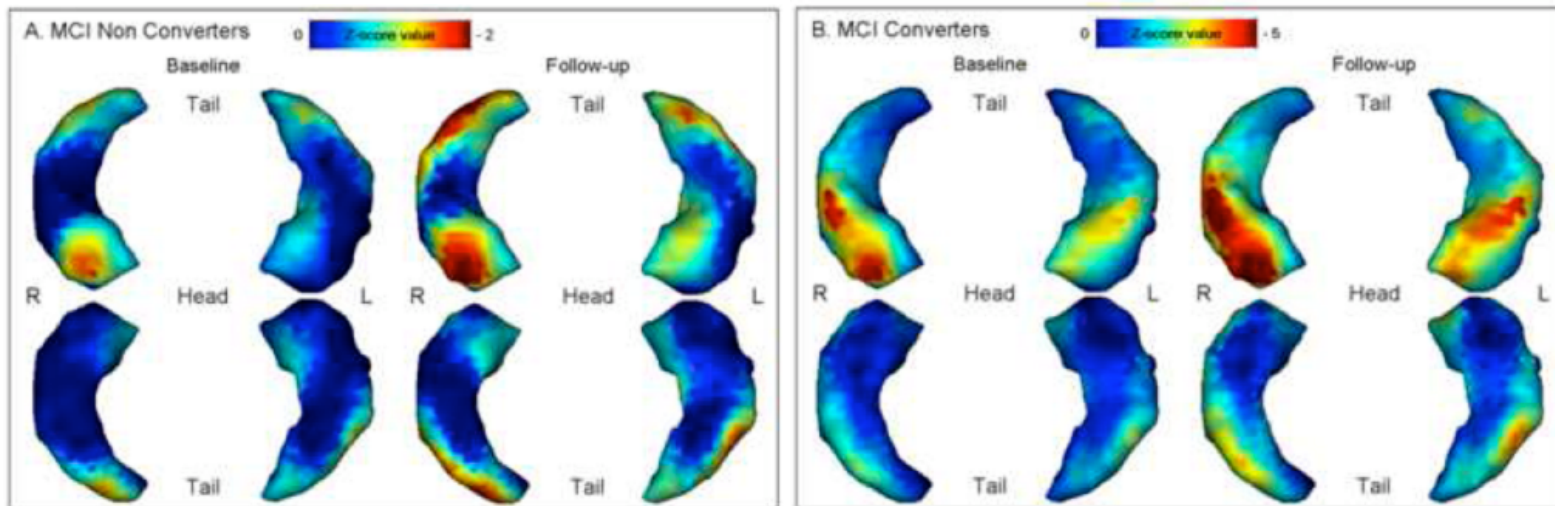
Morphométrie de l'hippocampe

- Subjective → ROI manuelles → Semi-automatique



Chupin, *Neuroimage* 2007

Morphométrie de l'hippocampe



Chetalat *Neuropsychologia* 2008

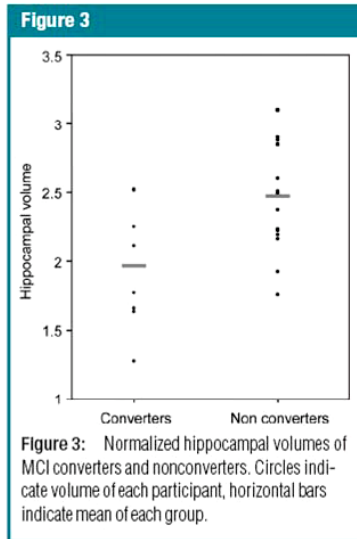


Figure 3: Normalized hippocampal volumes of MCI converters and nonconverters. Circles indicate volume of each participant, horizontal bars indicate mean of each group.

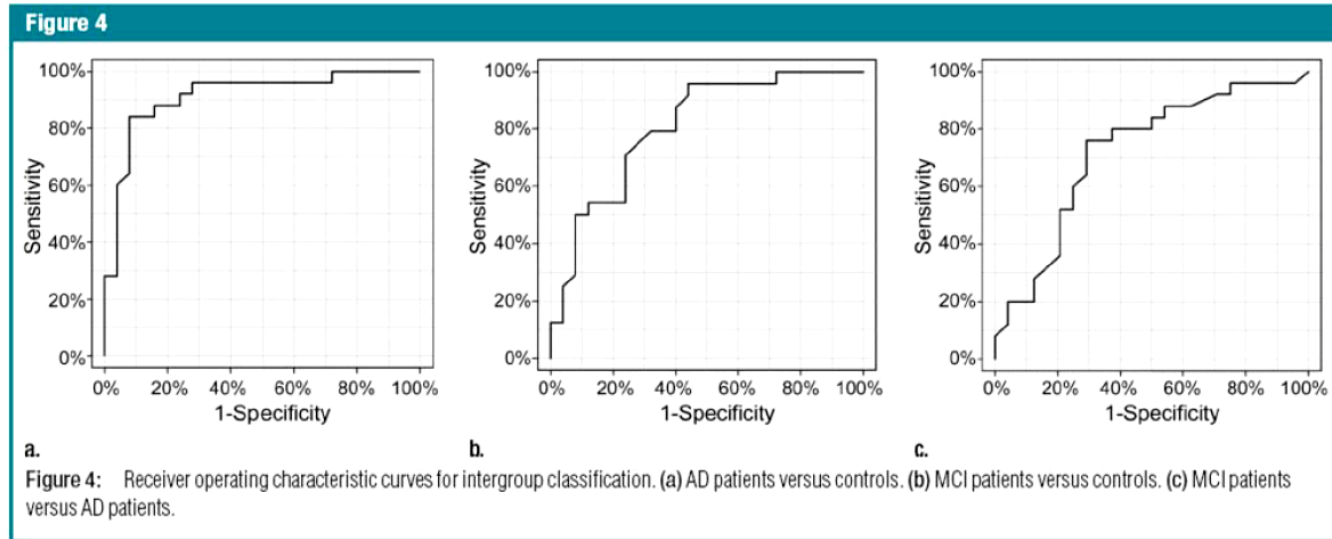
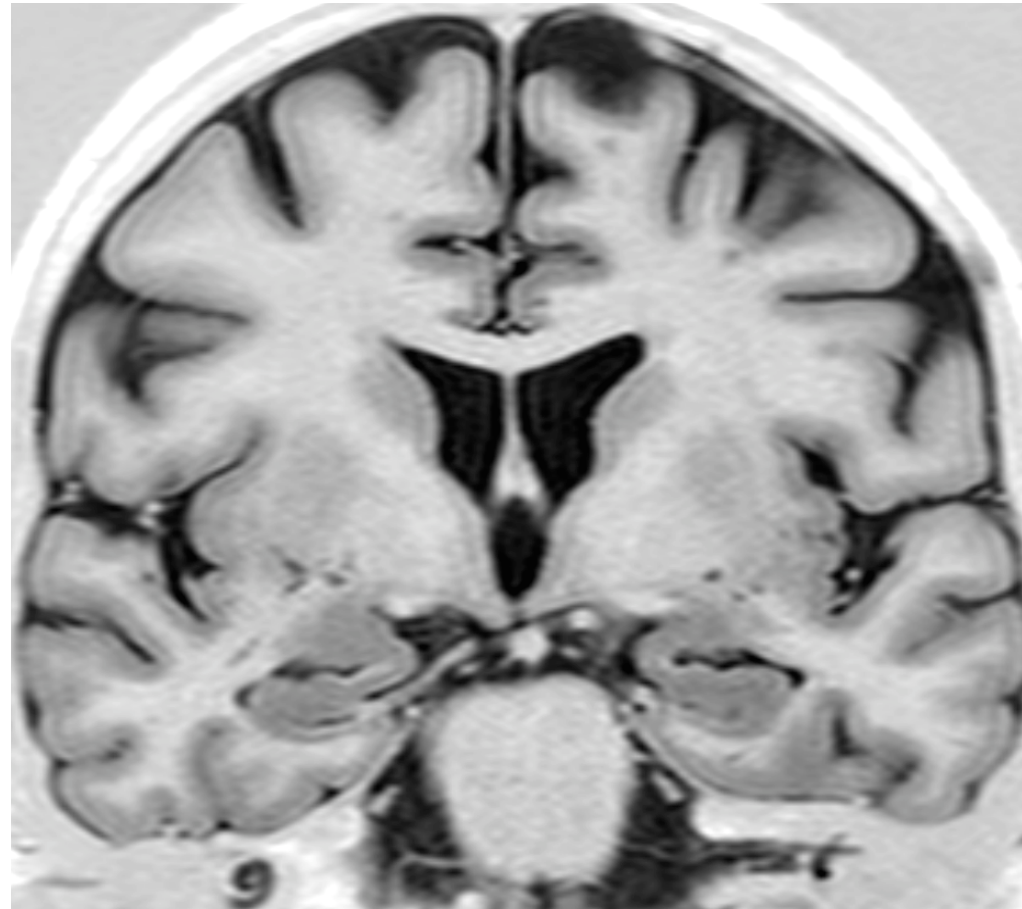


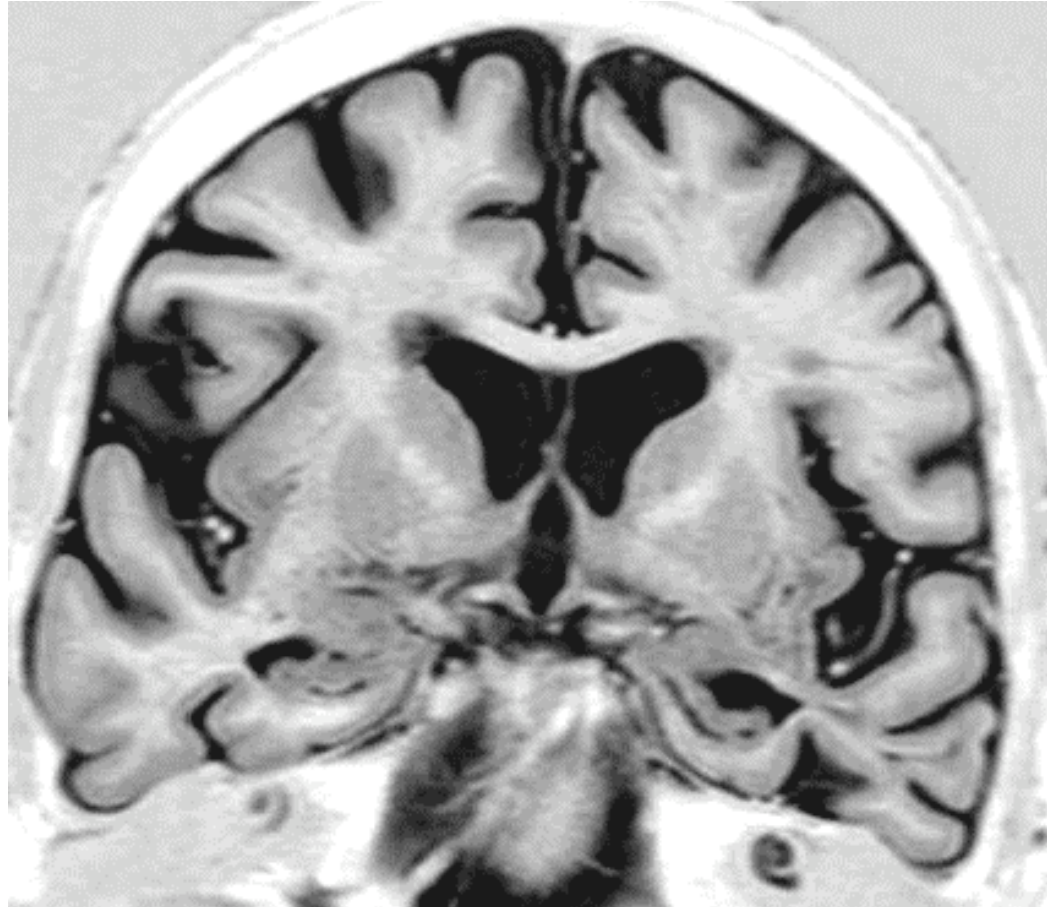
Figure 4: Receiver operating characteristic curves for intergroup classification. (a) AD patients versus controls. (b) MCI patients versus controls. (c) MCI patients versus AD patients.

Colliot *Radiology* 2008

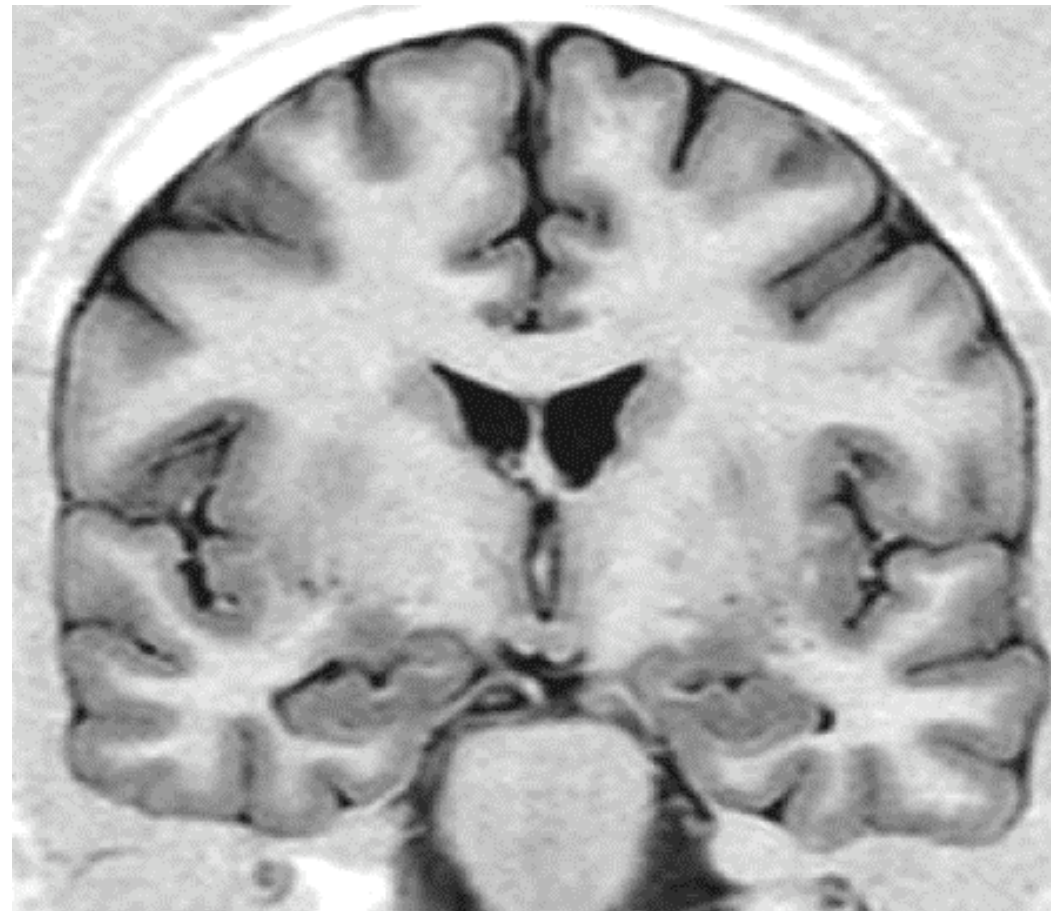
Normal



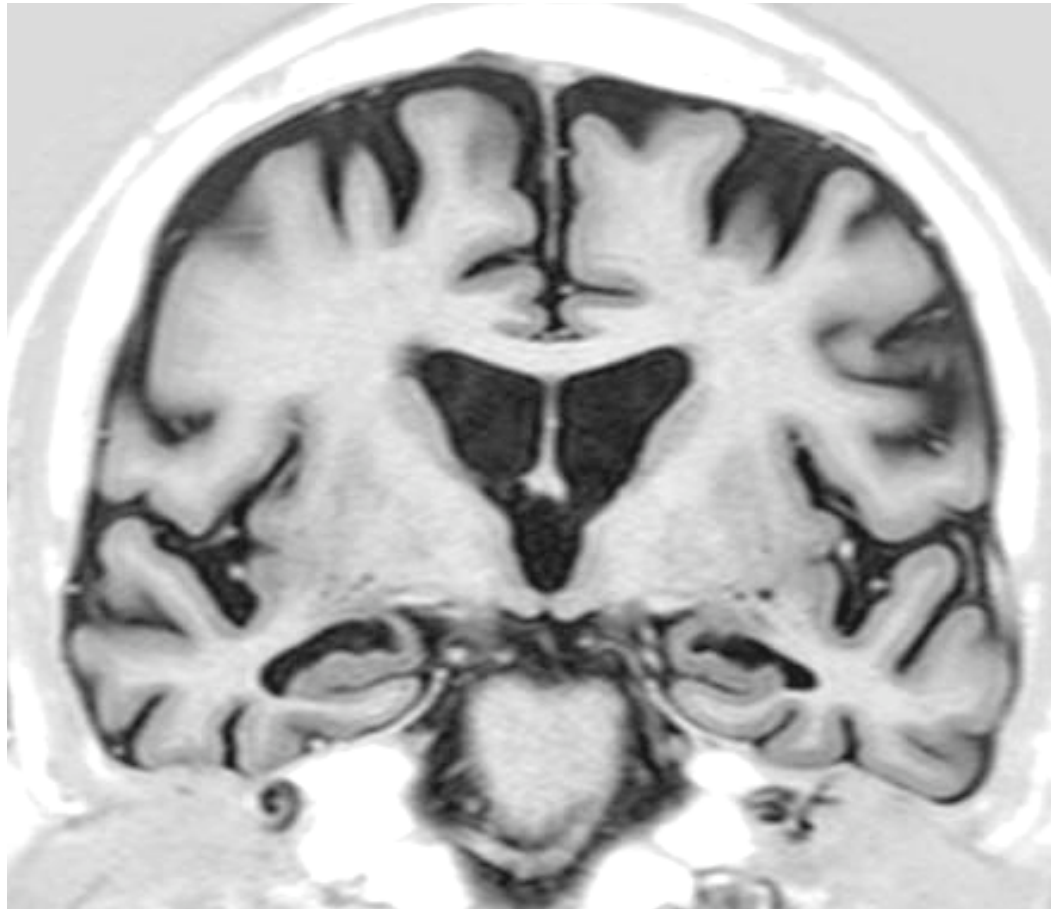
MA



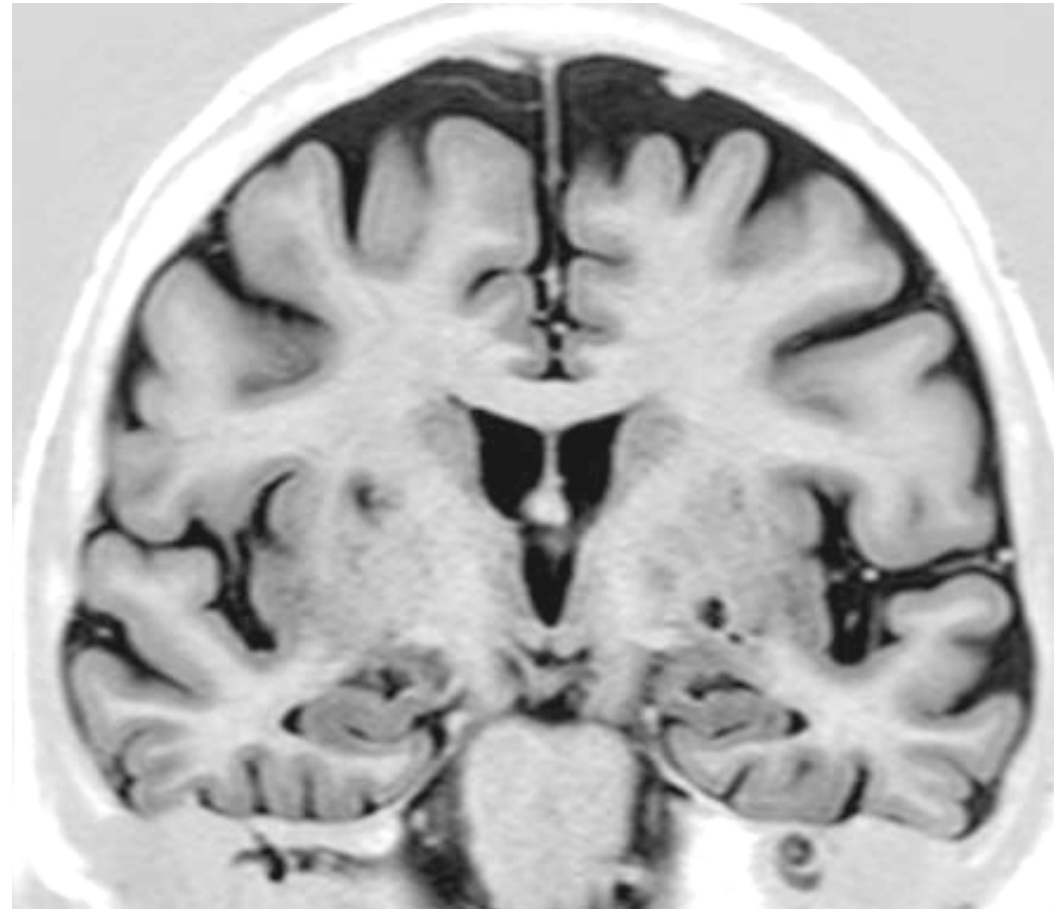
Normal



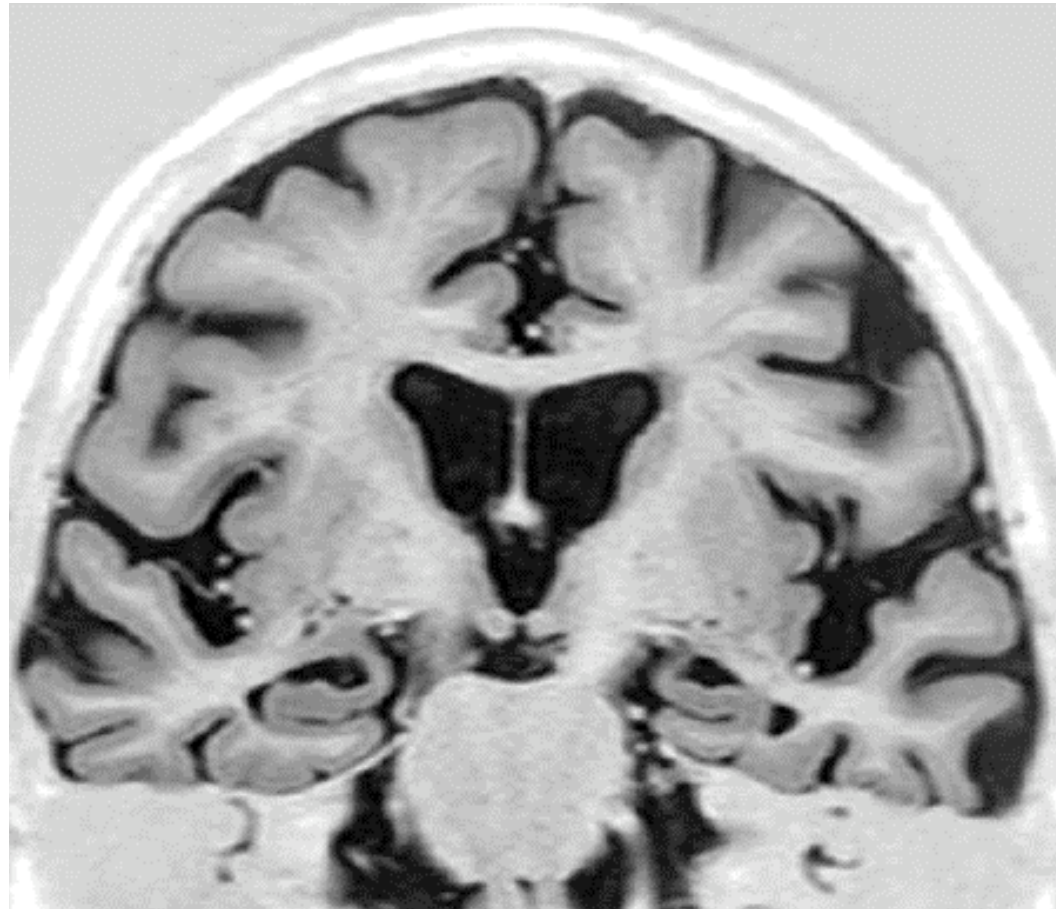
MA



TCL-a



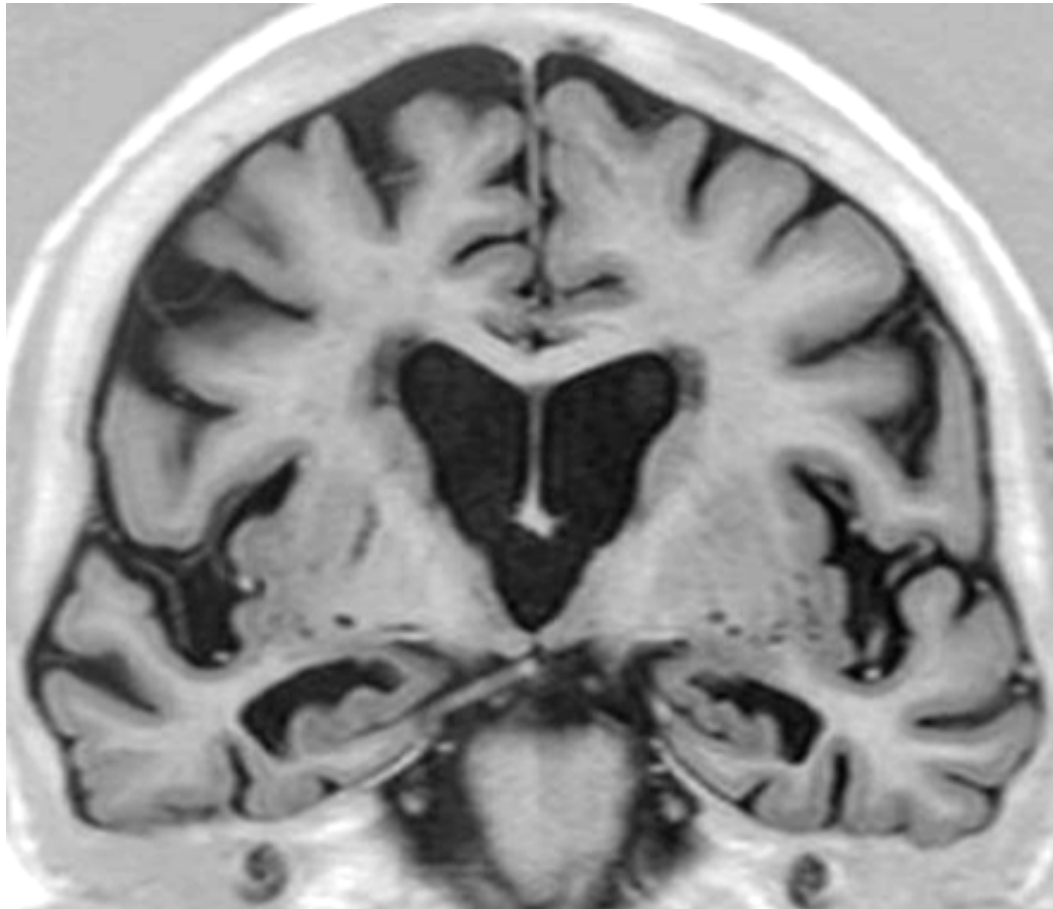
MA



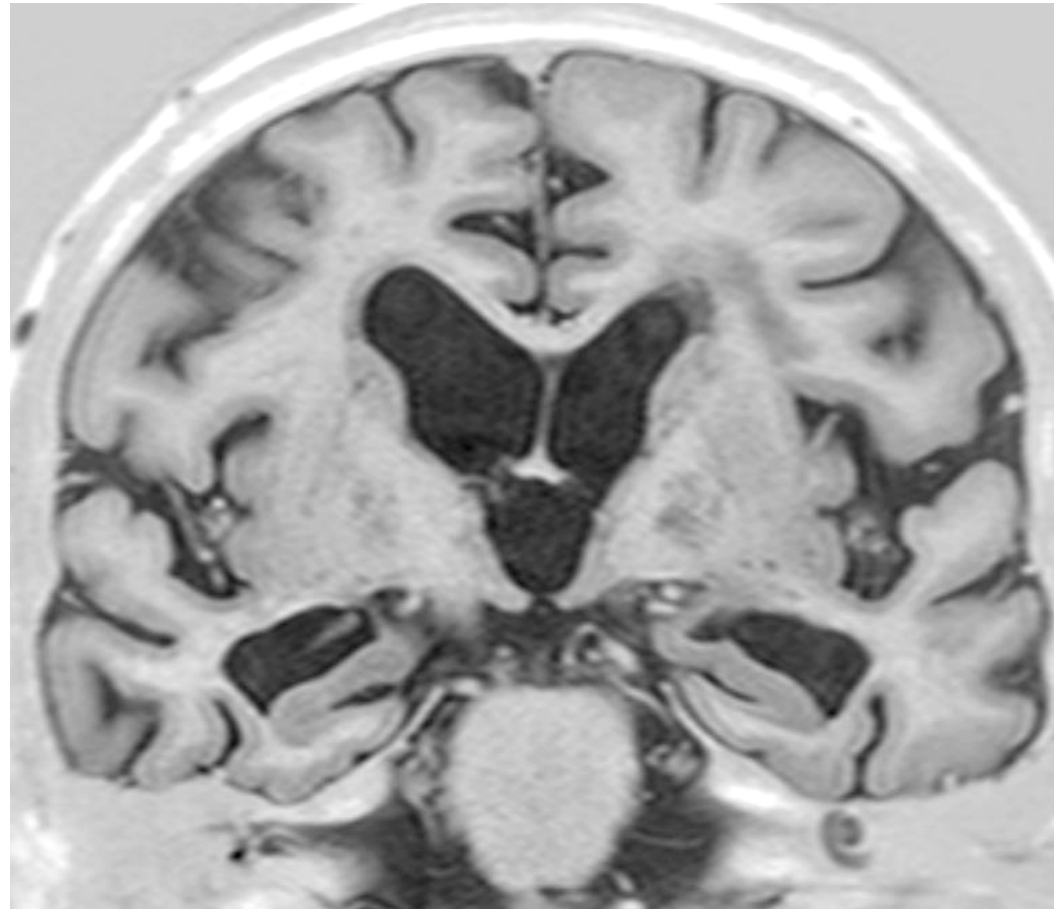
Morphométrie cérébrale

**L'atrophie de l'hippocampe est
une anomalie sensible mais
pas spécifique de la MA**

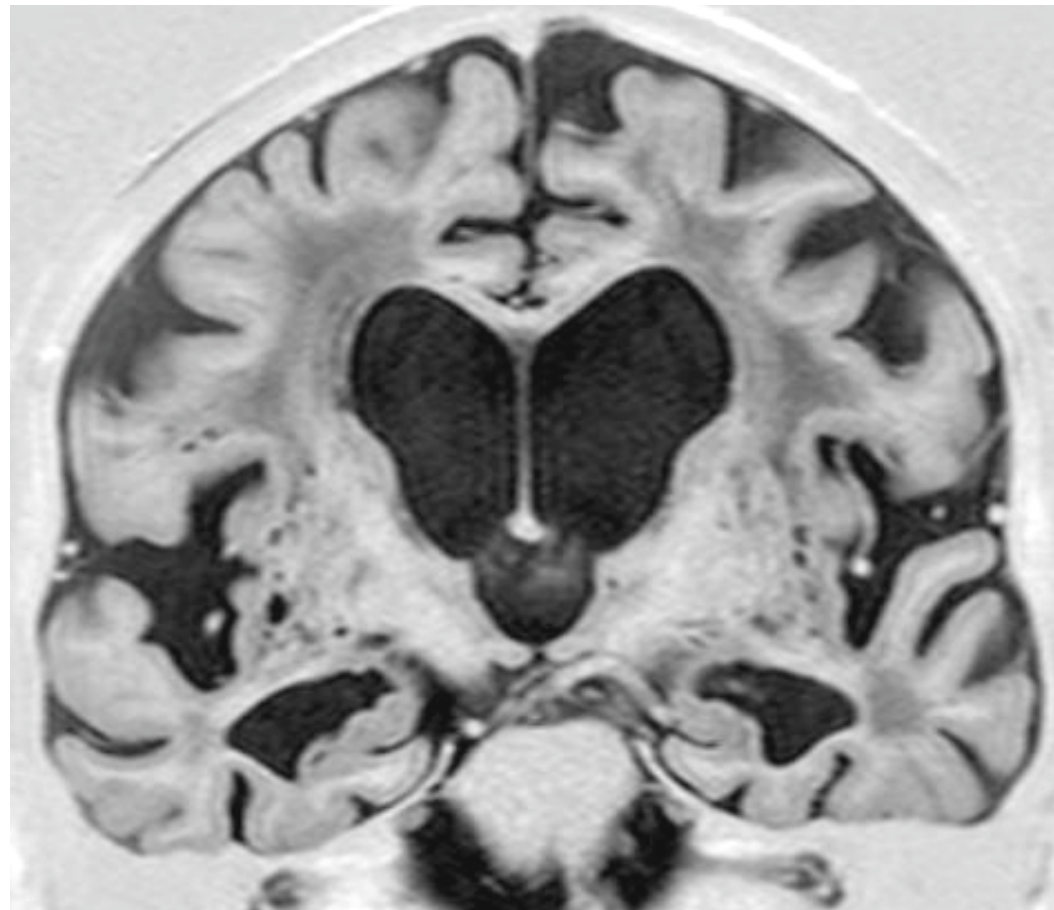
MA



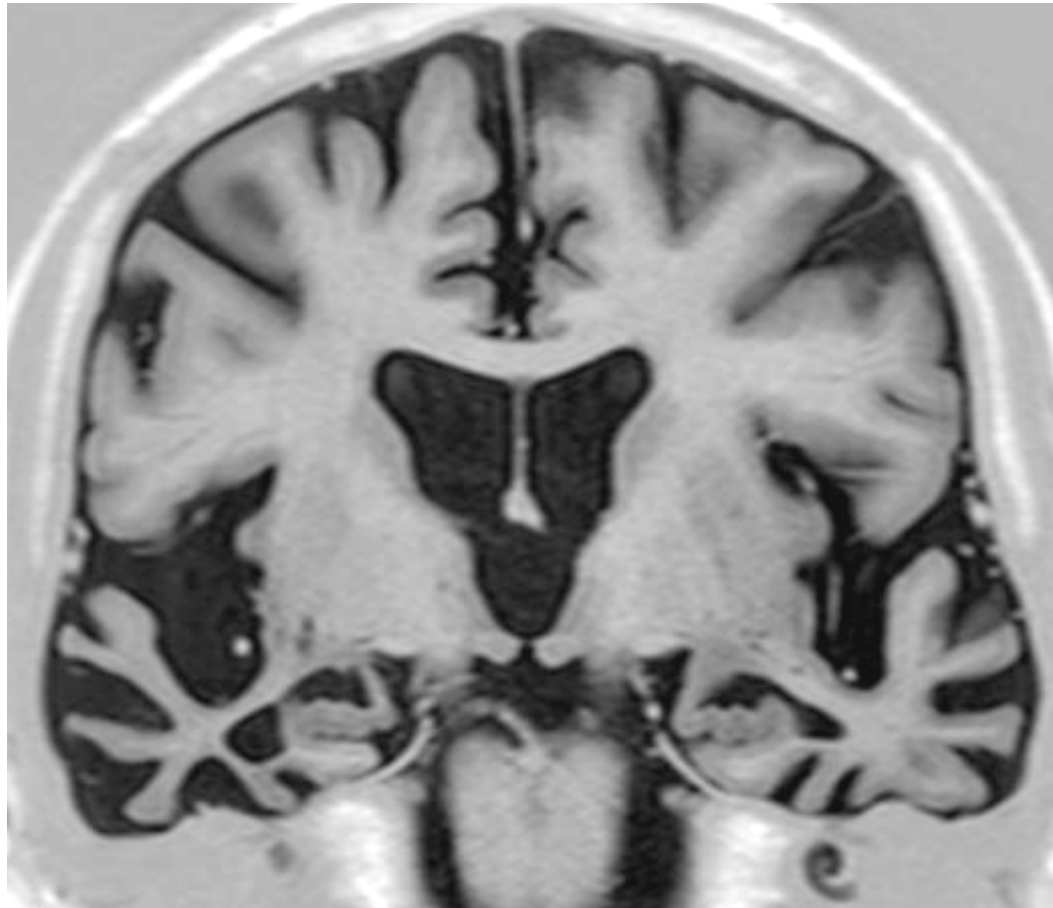
DLFT



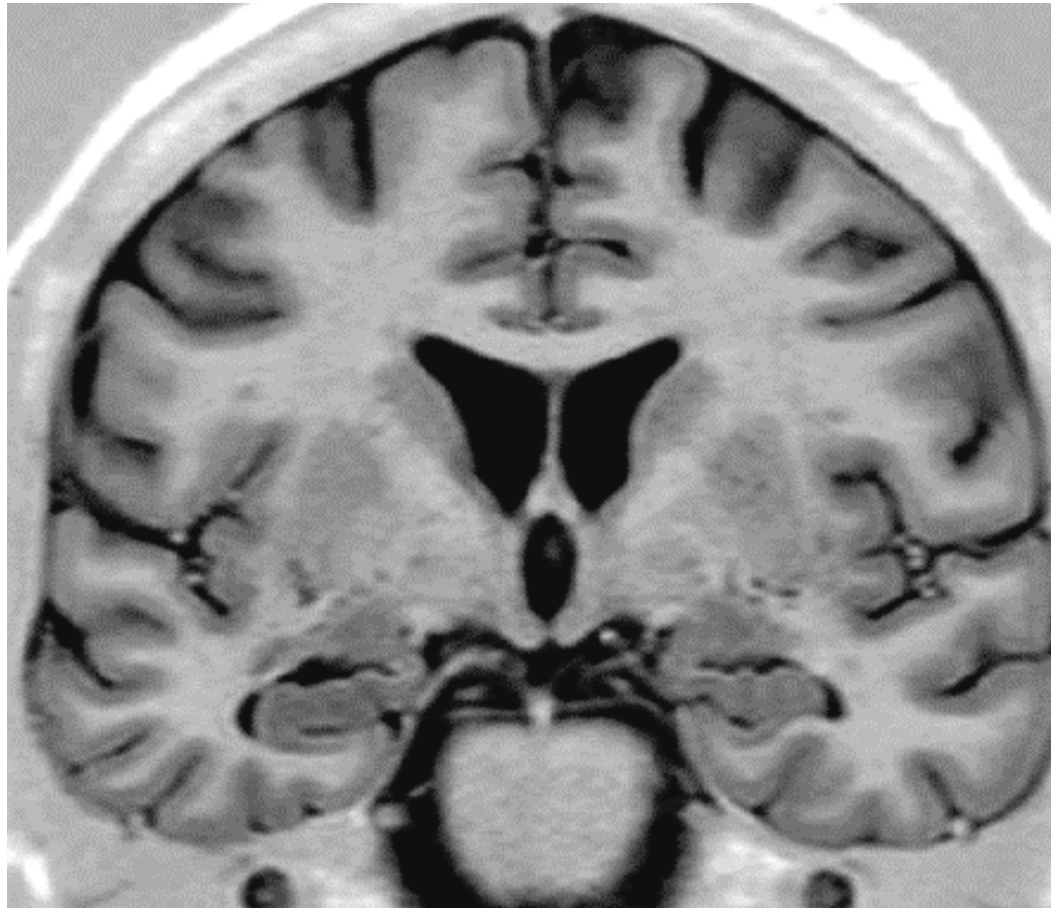
D. Mixte



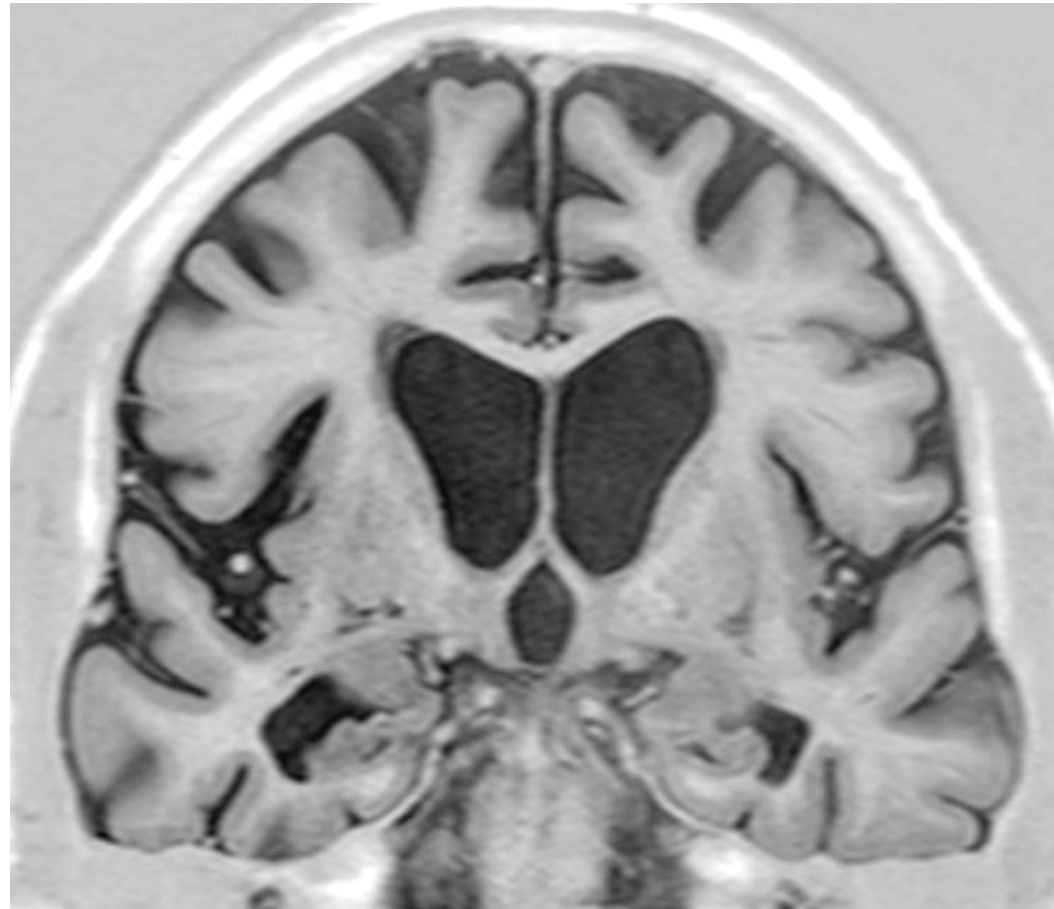
D. Sémantique



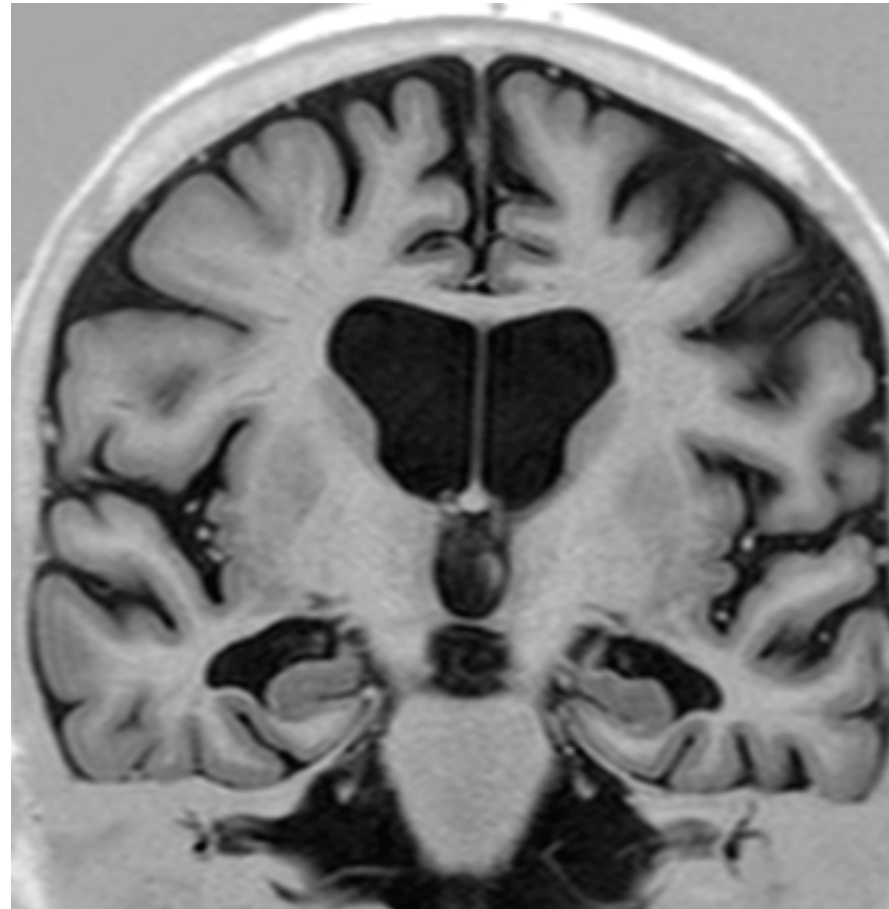
MA



DCL



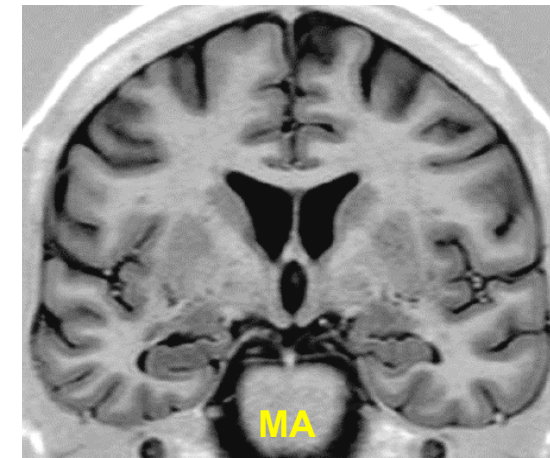
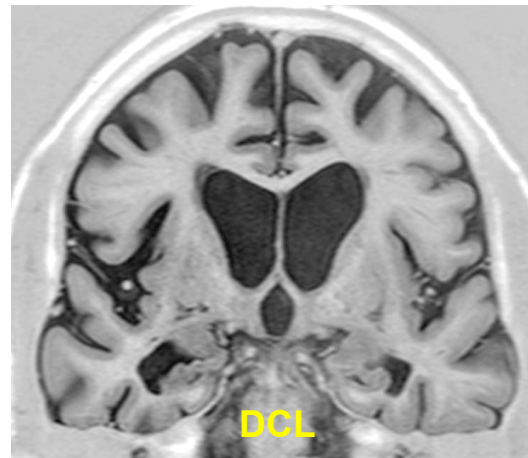
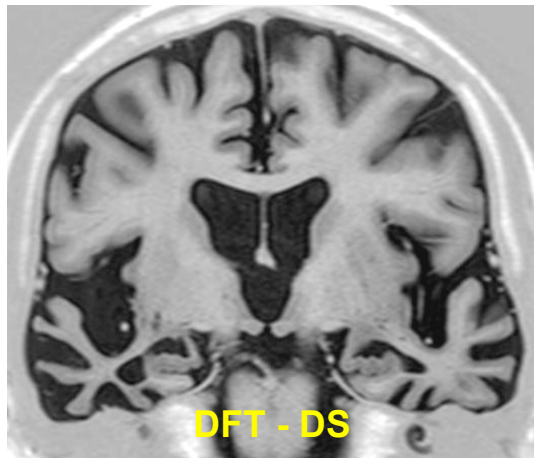
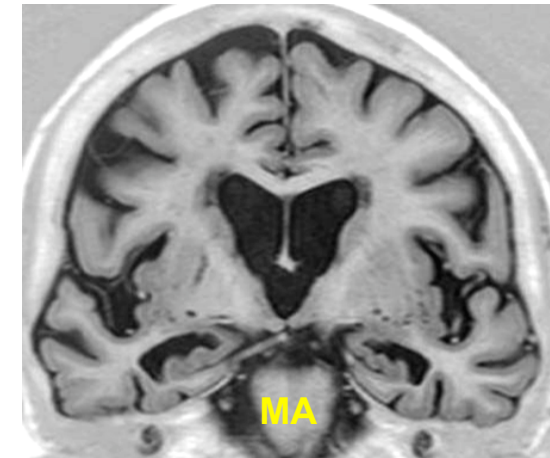
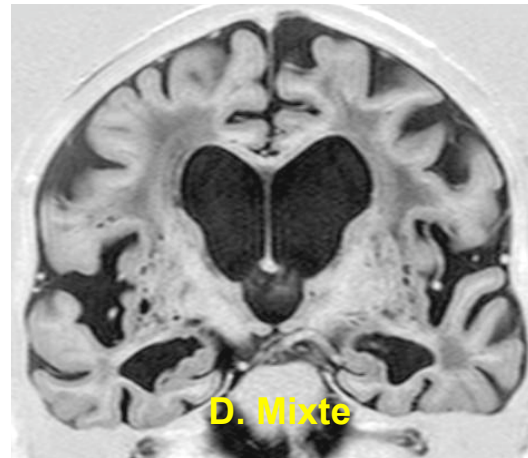
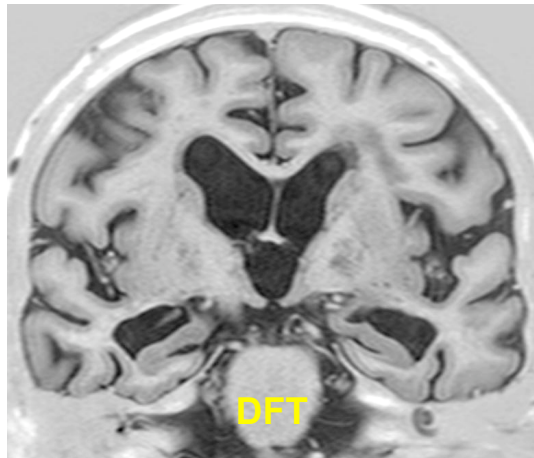
Alcool – Korsakoff



Morphométrie cérébrale

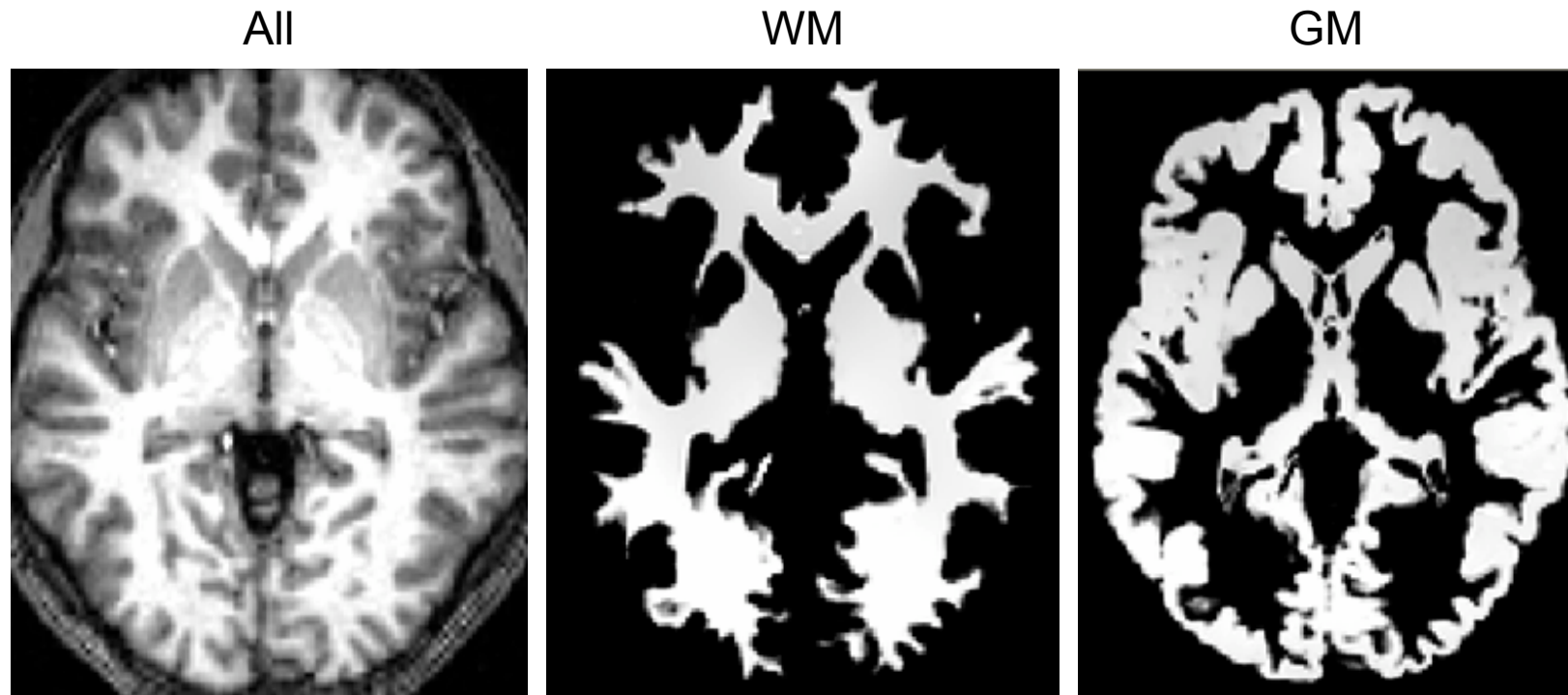
L'atrophie de l'hippocampe n'est pas spécifique de la MA

EC – IRM → valeurs prédictives ?



Morphométrie cérébrale

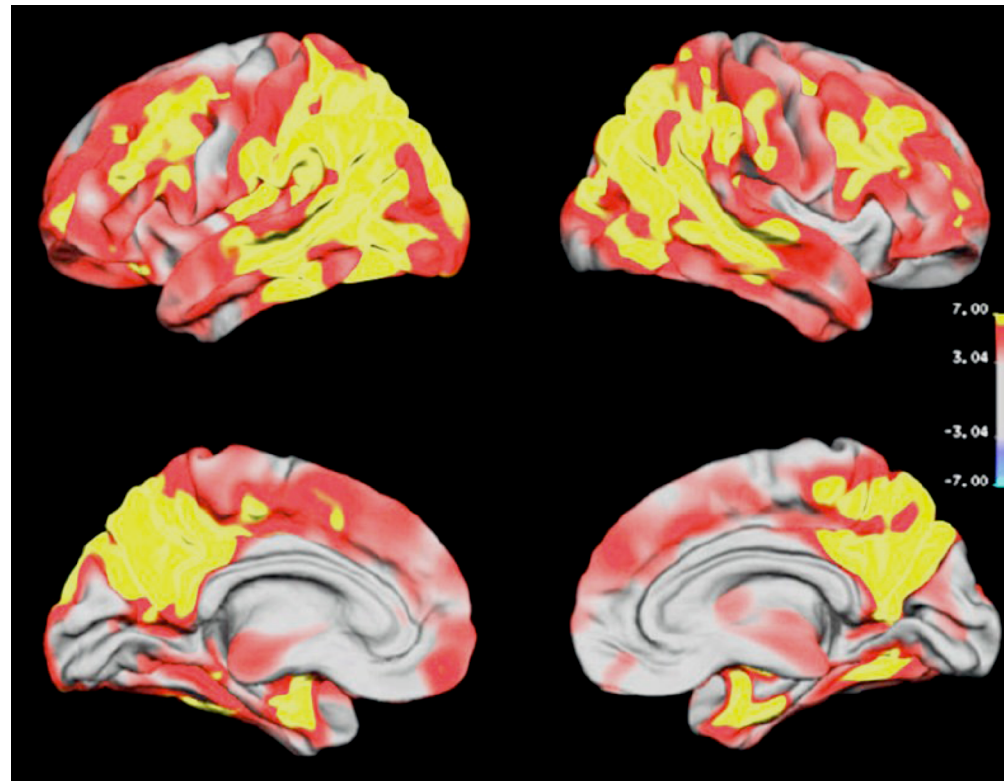
- Subjective → ROI manuelles → Semi-automatique → Automatique (VBM)



Morphométrie cérébrale

- Subjective → ROI manuelles → Semi-automatique → Automatique (VBM)

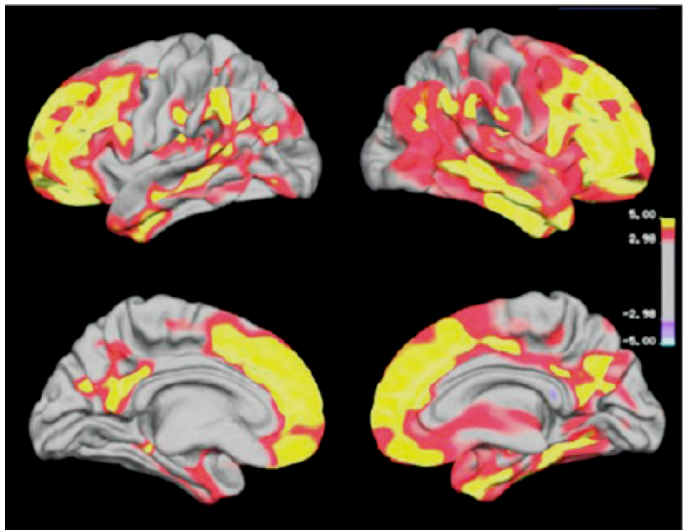
ALZ
vs
Sains



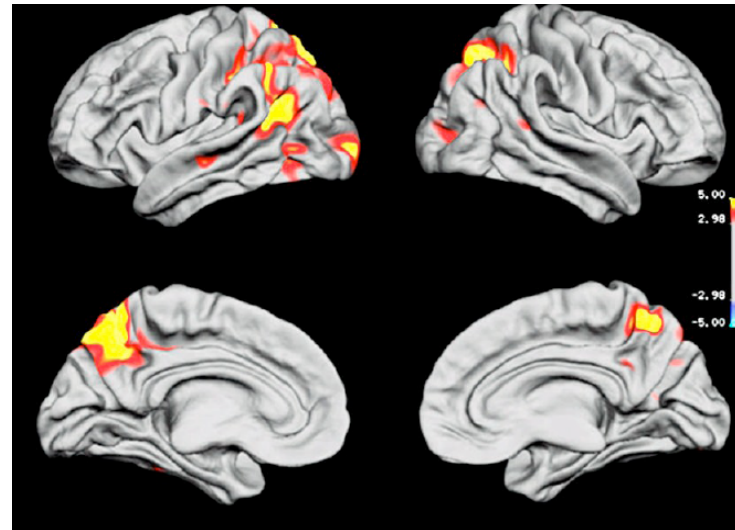
Du, *Brain* 2007

Morphométrie cérébrale

DFT vs Normal

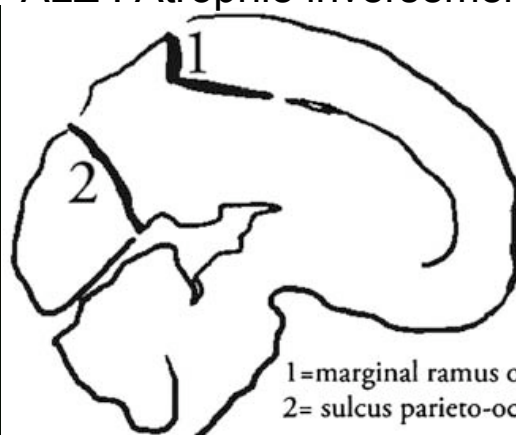
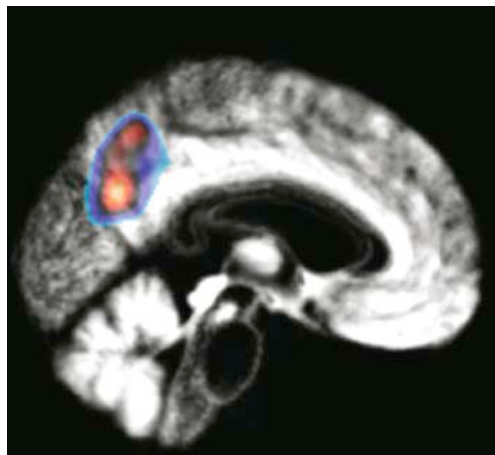


ALZ vs DFT

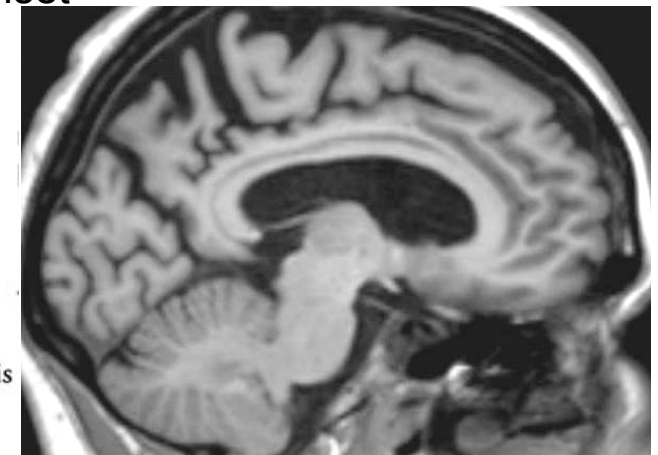


Du Brain 2007

ALZ : Atrophie inversement liée à l'onset



1=marginal ramus of sulcus cingulatus
2=sulcus parieto-occipitalis

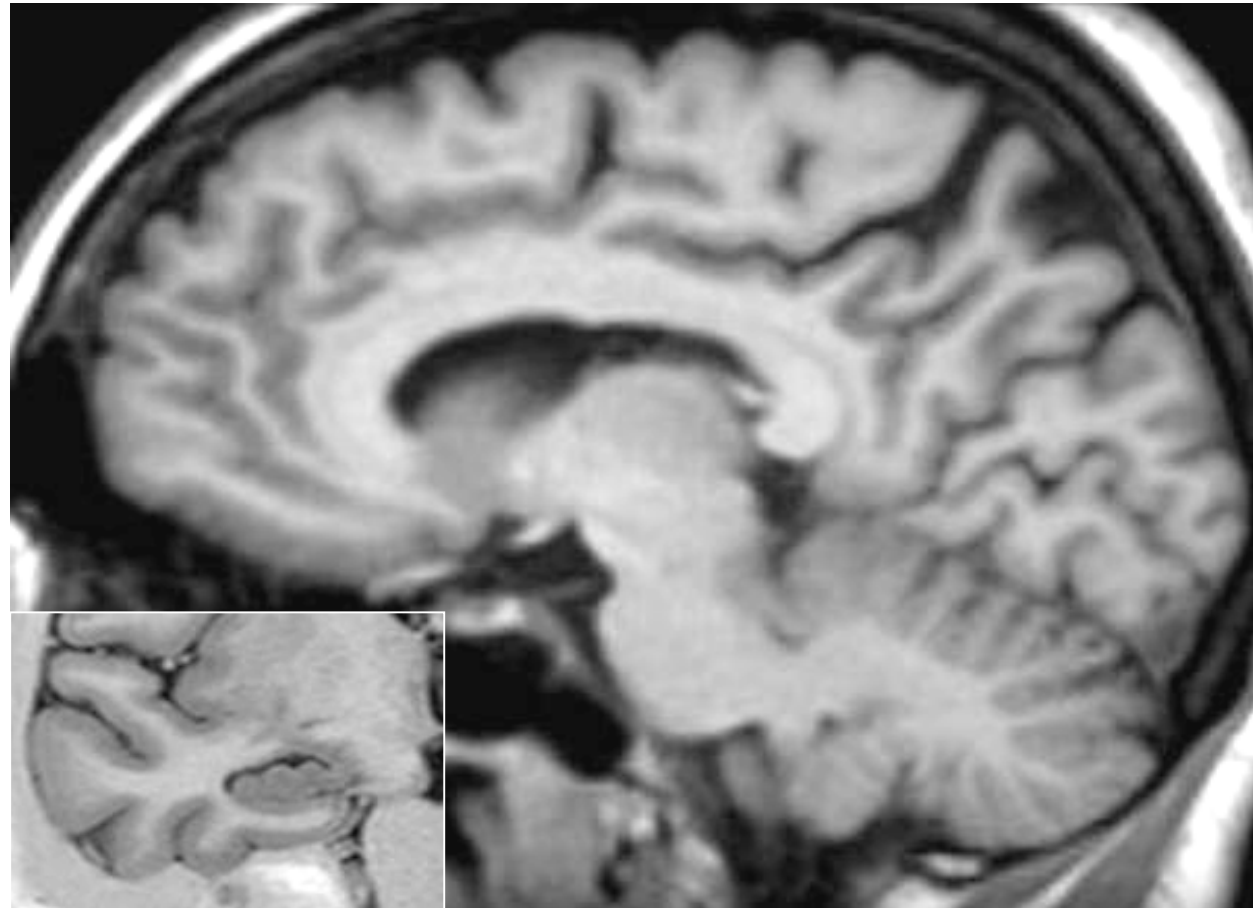


Kakas Neuroradiology 2007

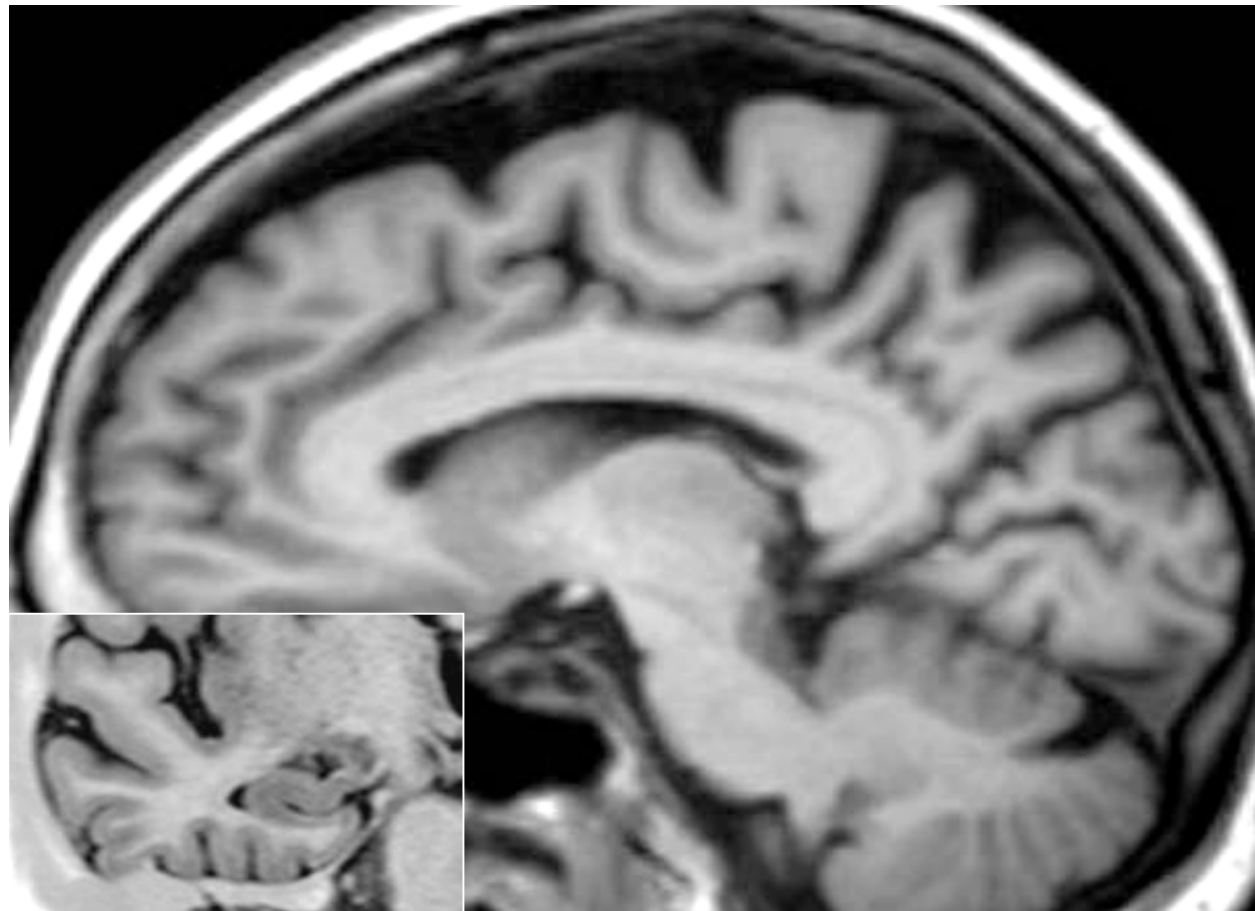
Normal



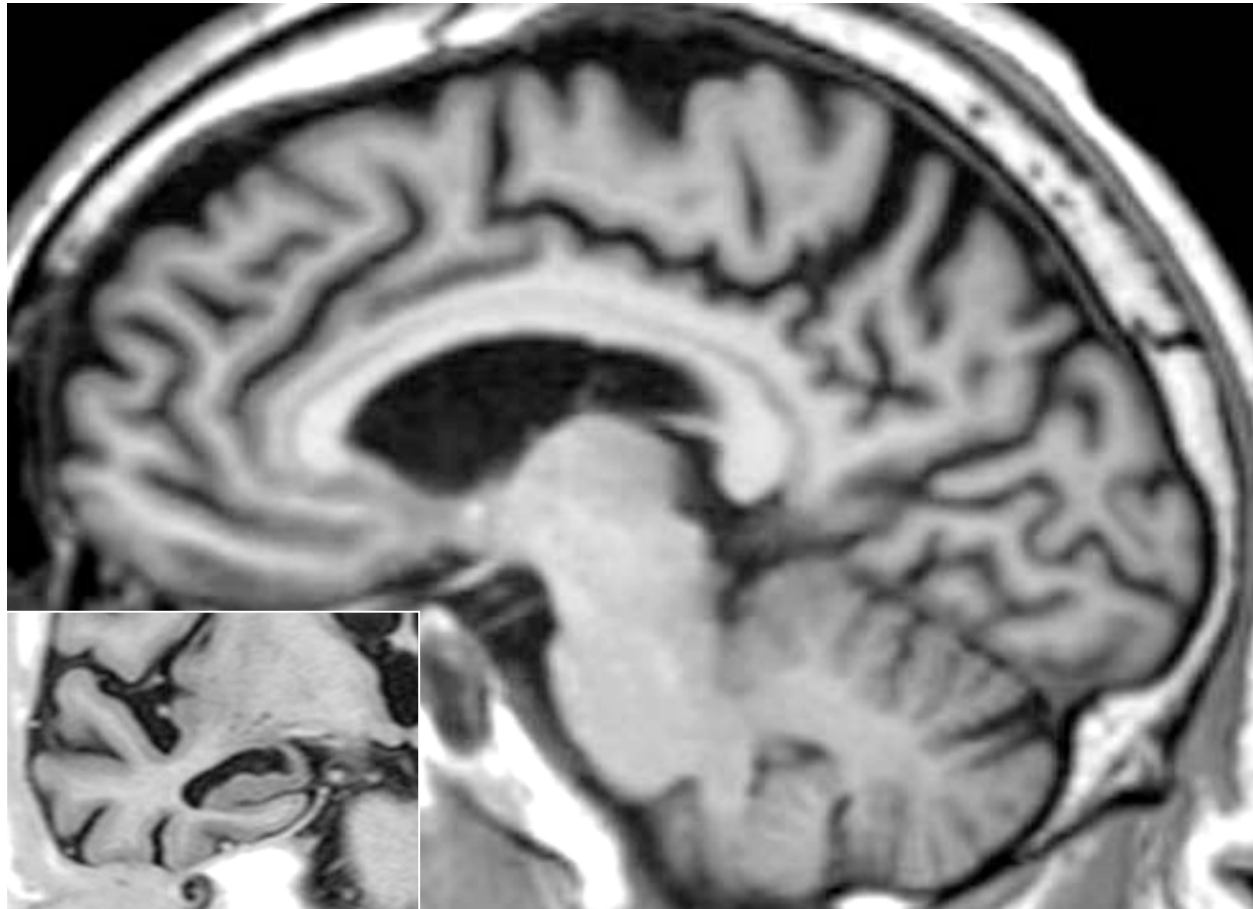
TCL-a



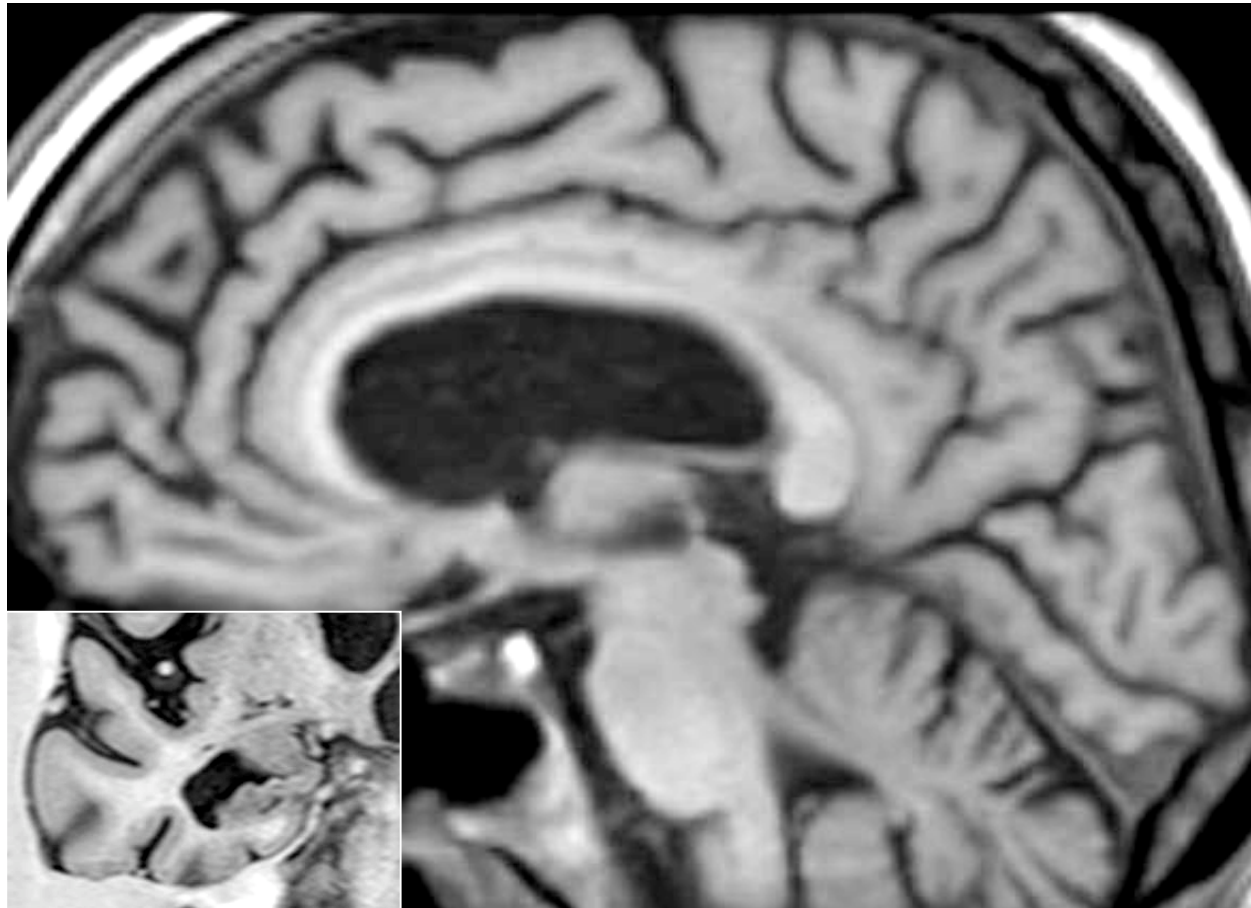
MA



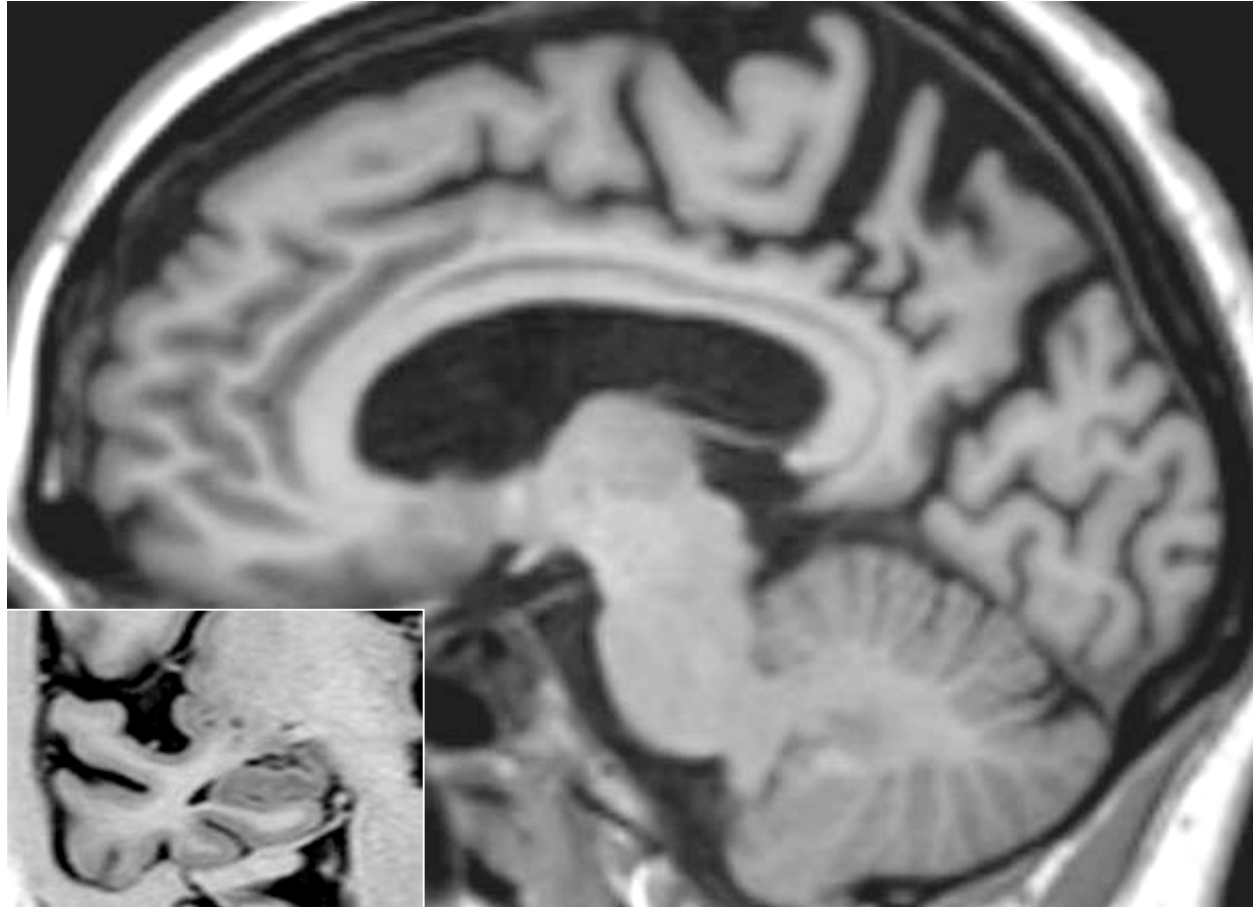
MA



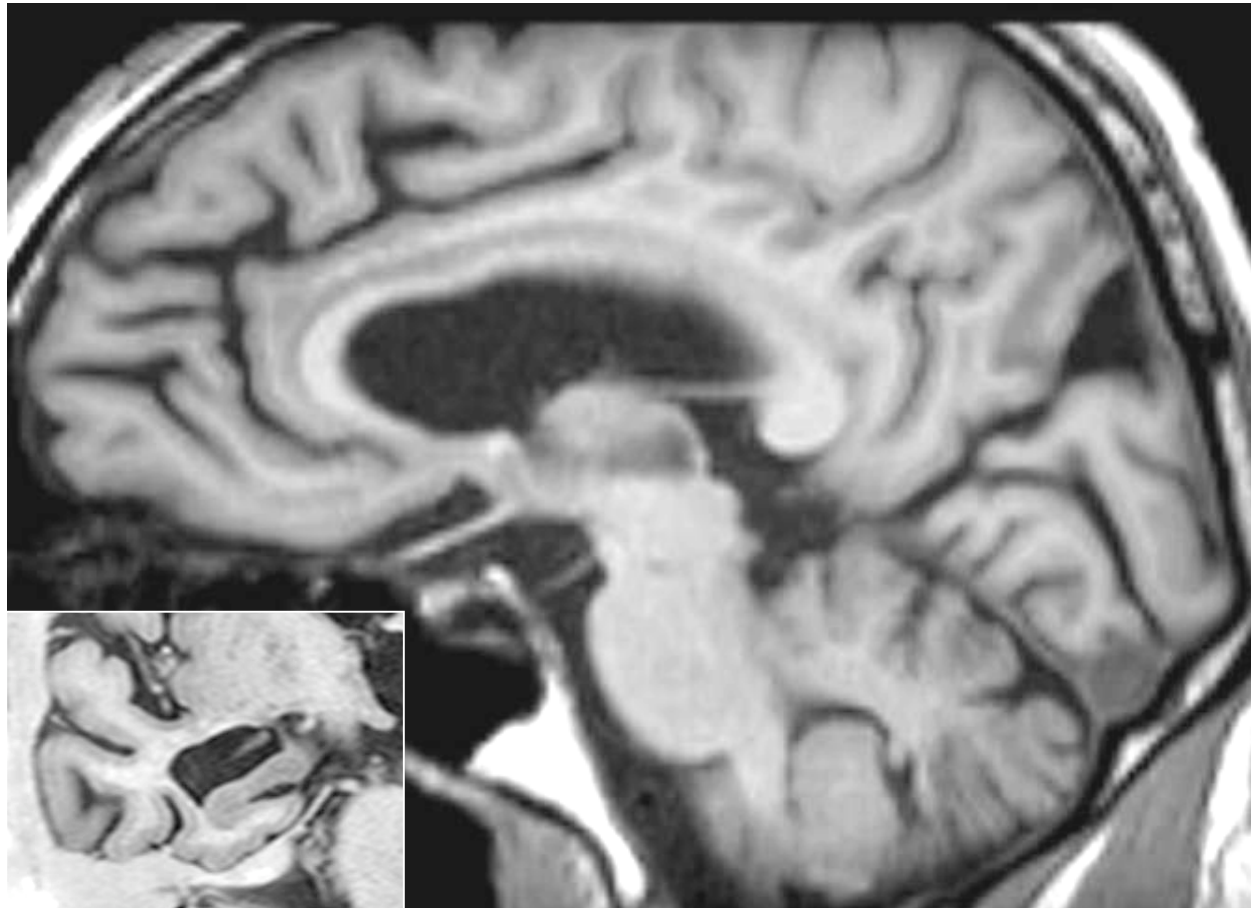
DLFT



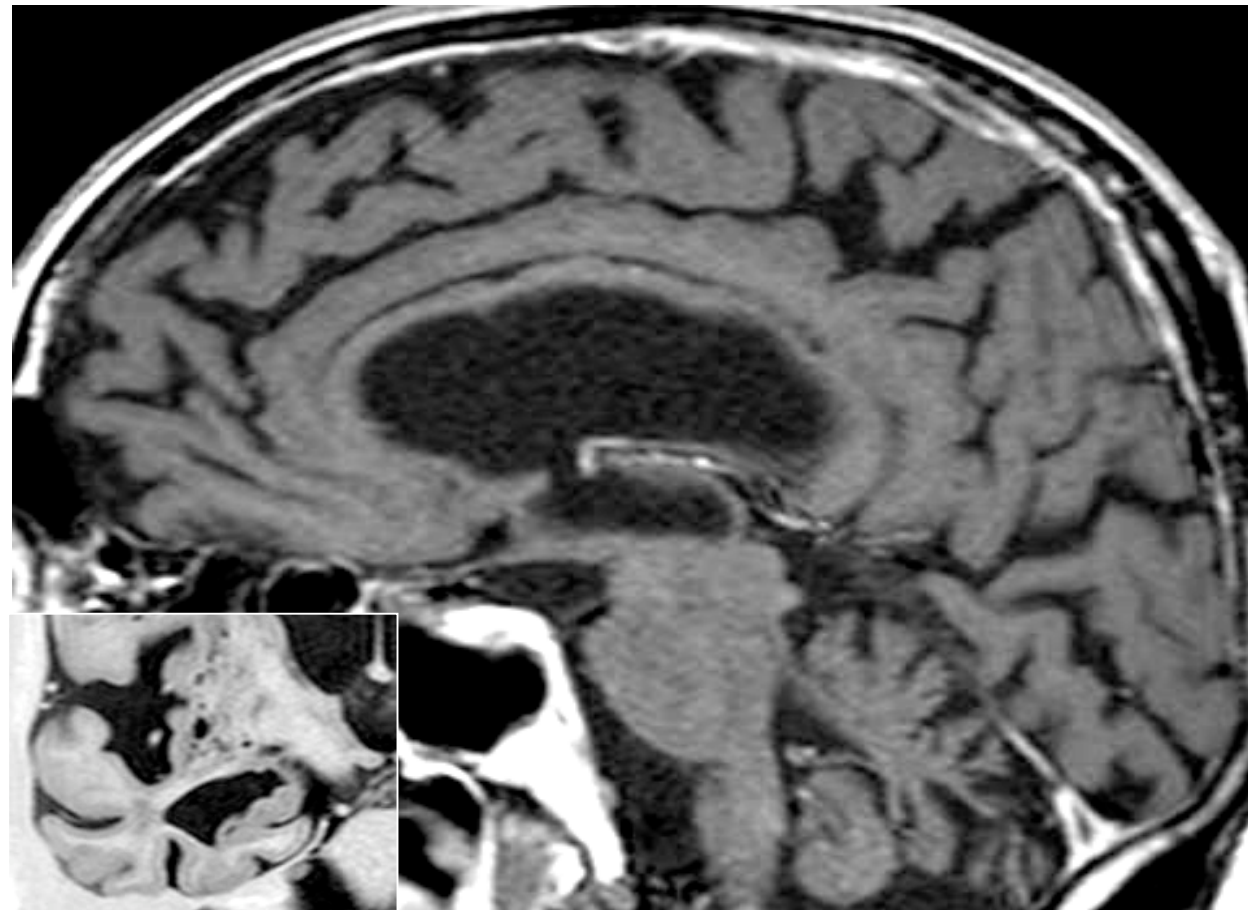
MA



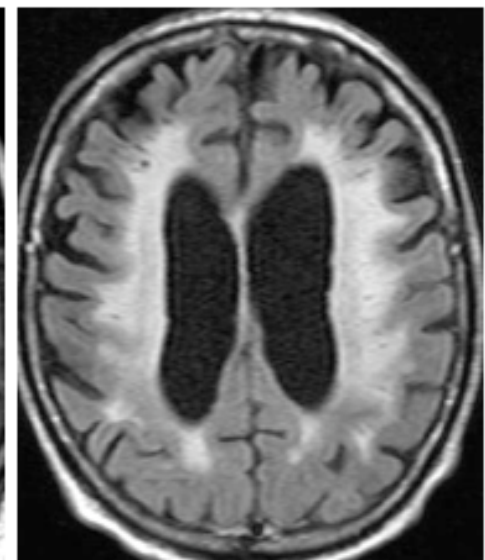
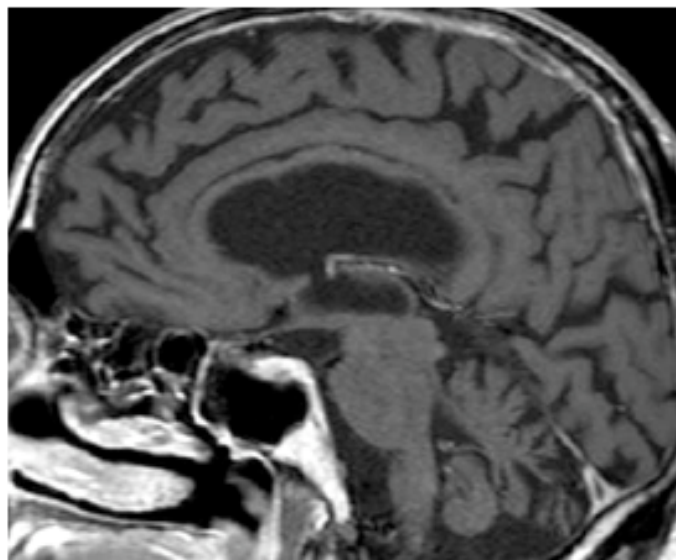
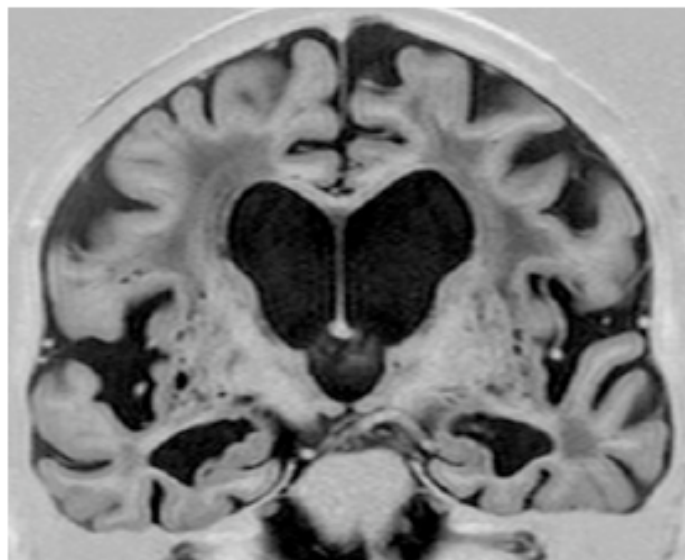
DLFT



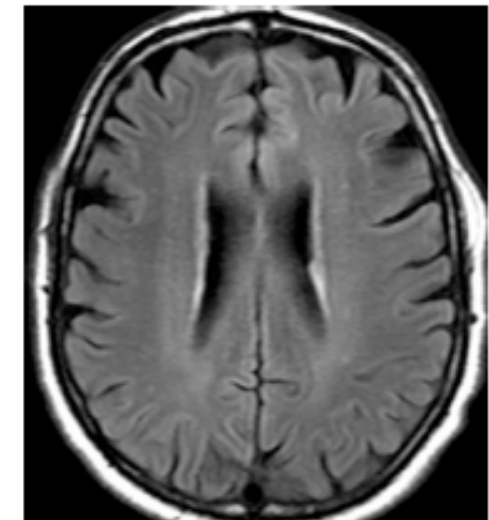
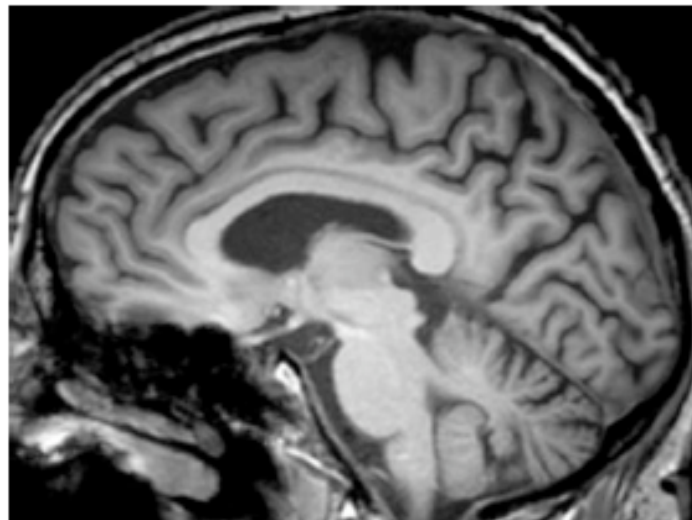
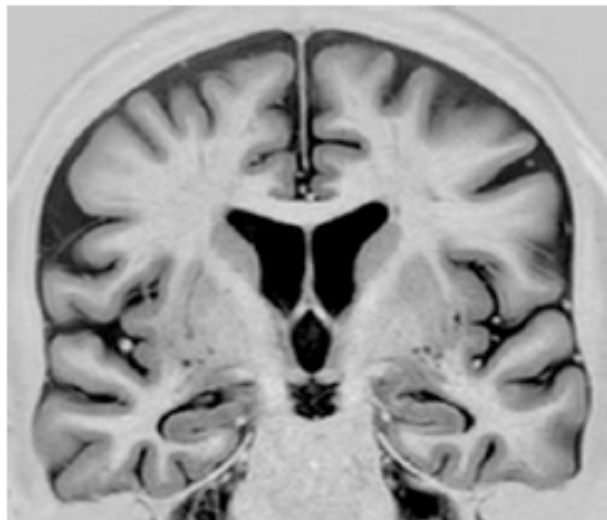
D. mixte



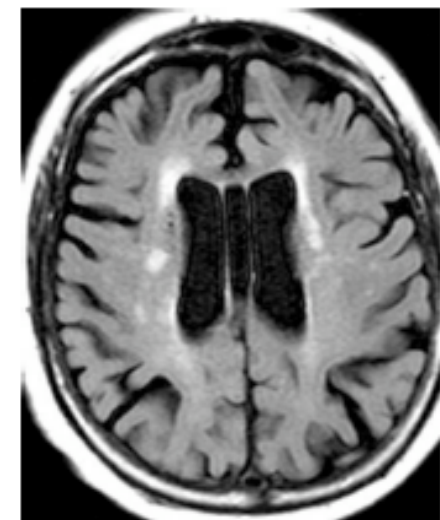
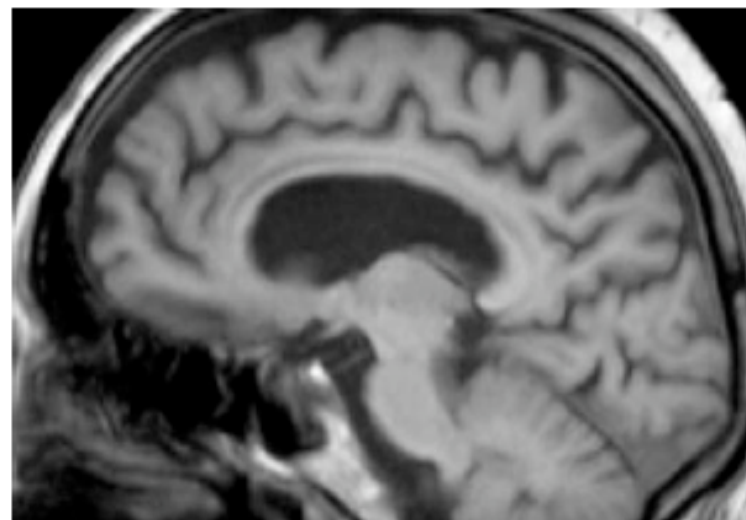
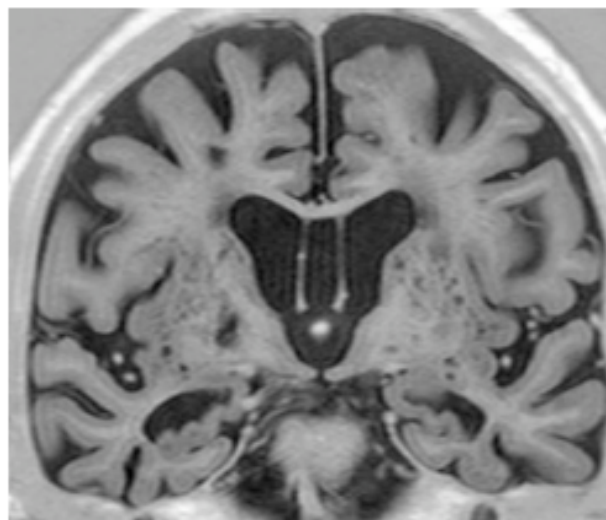
D. mixte



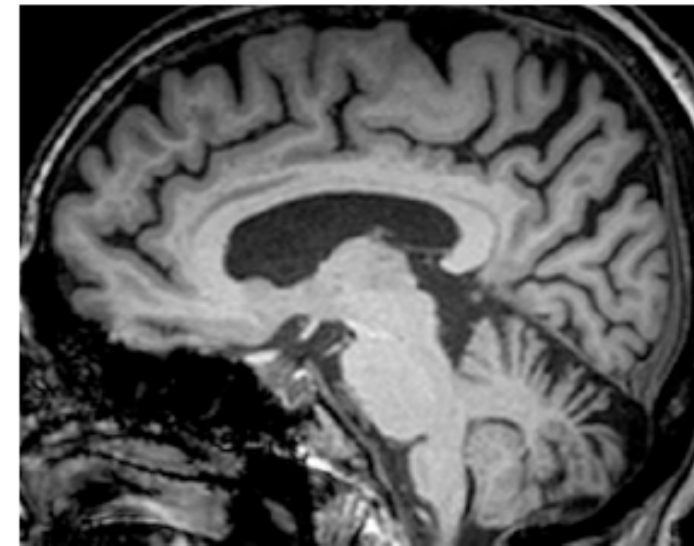
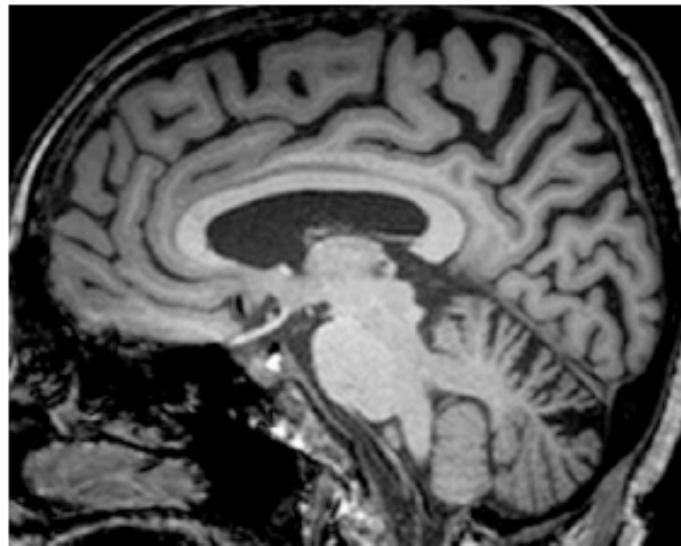
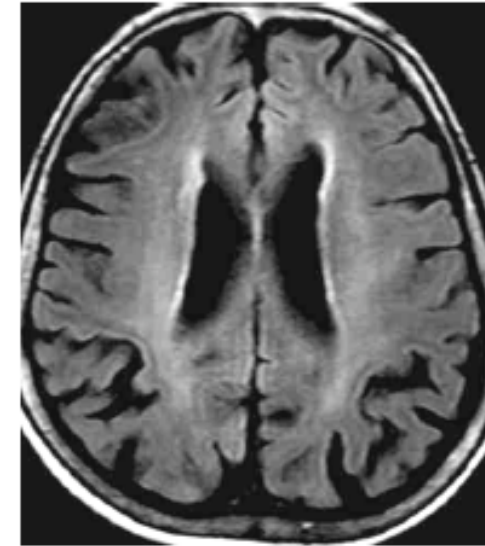
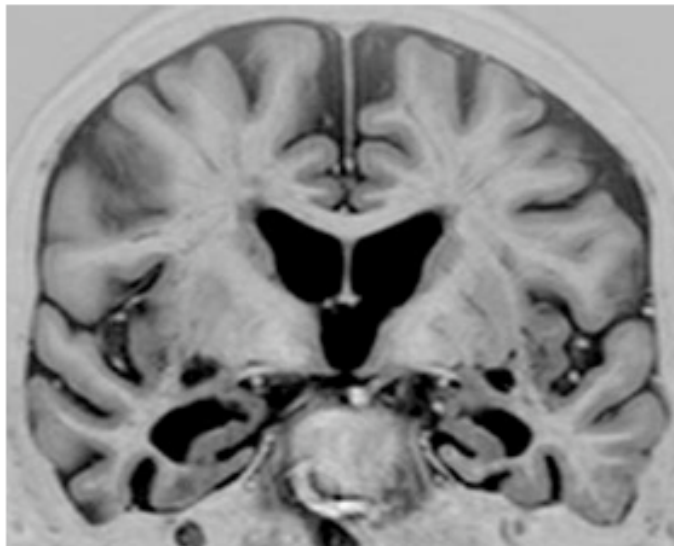
MA



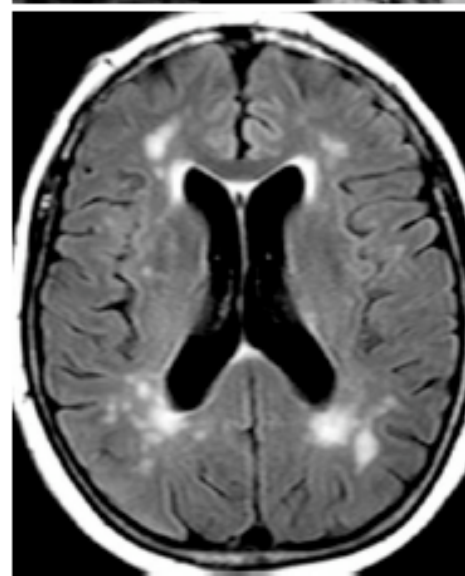
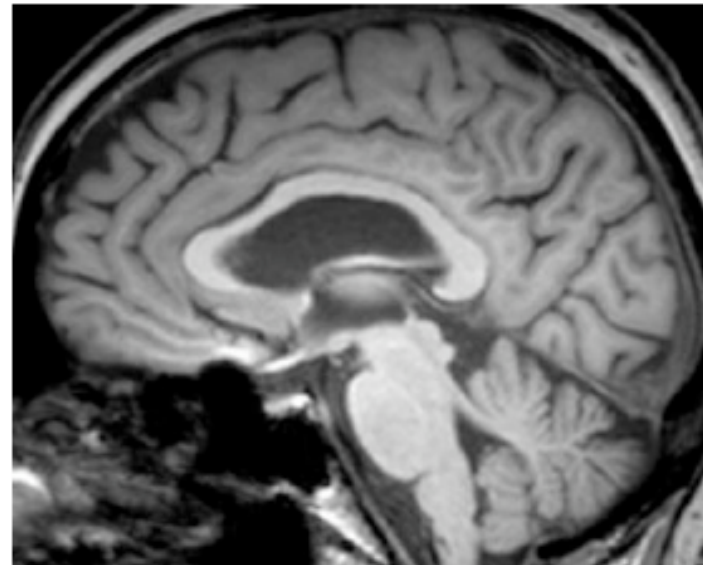
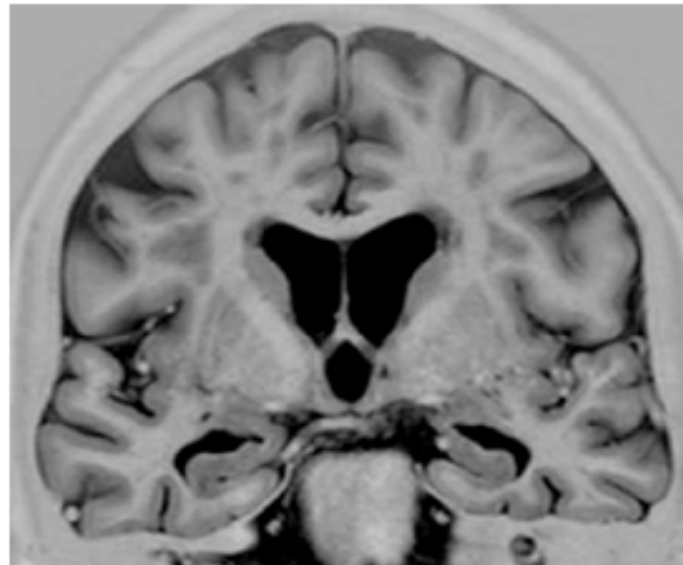
D. mixte



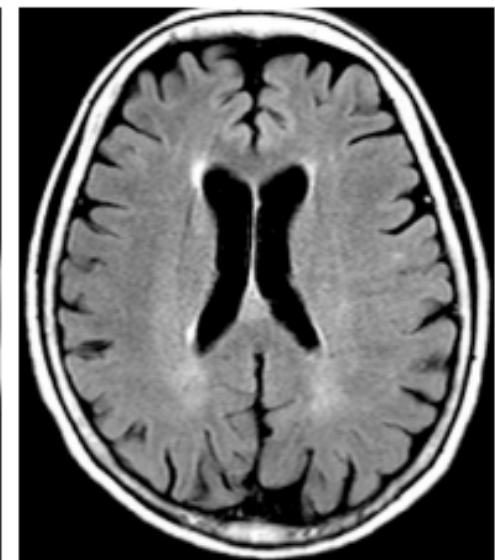
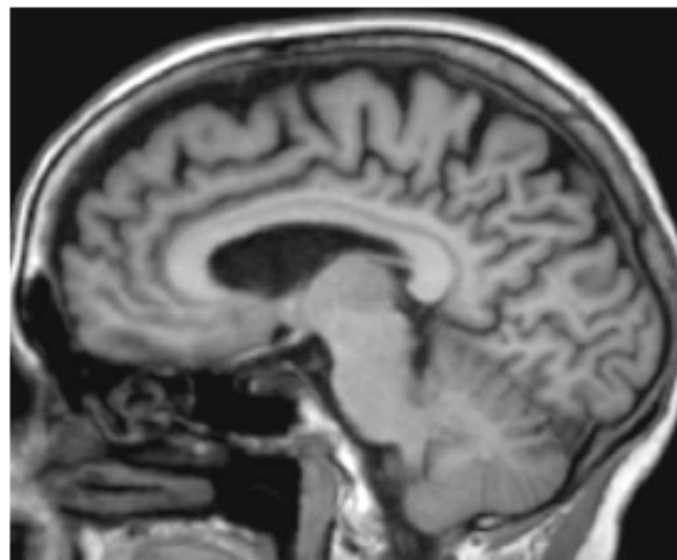
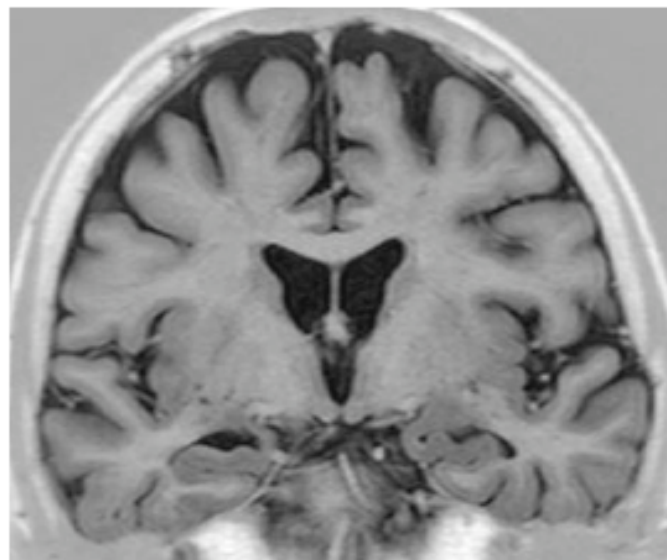
MA



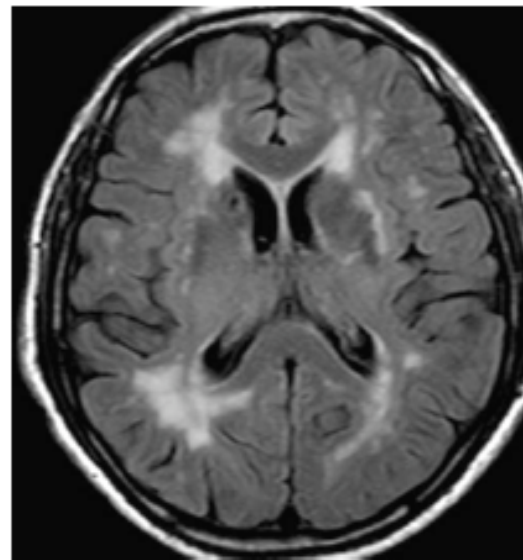
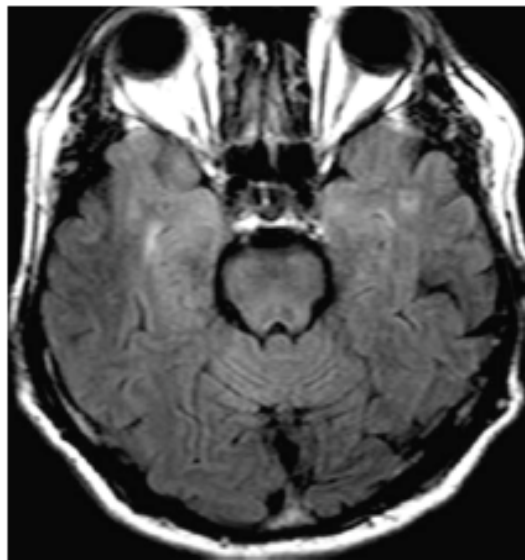
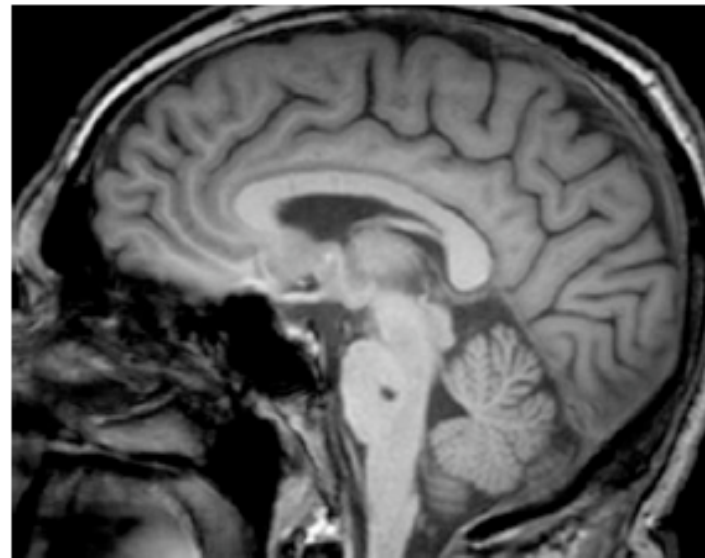
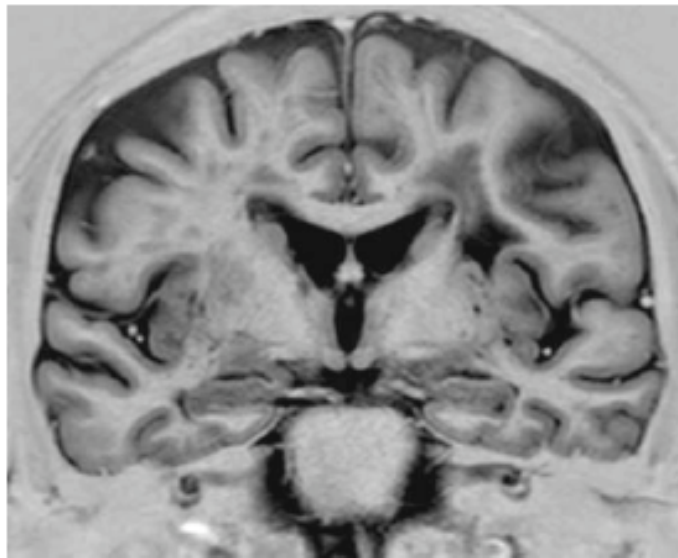
D. mixte



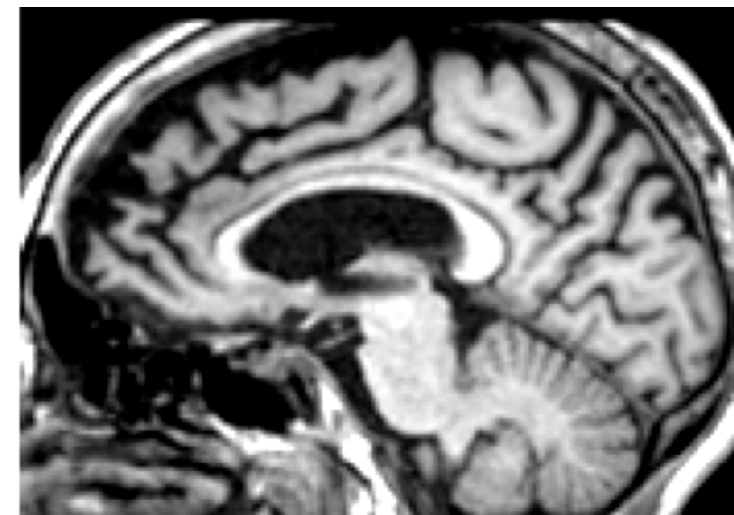
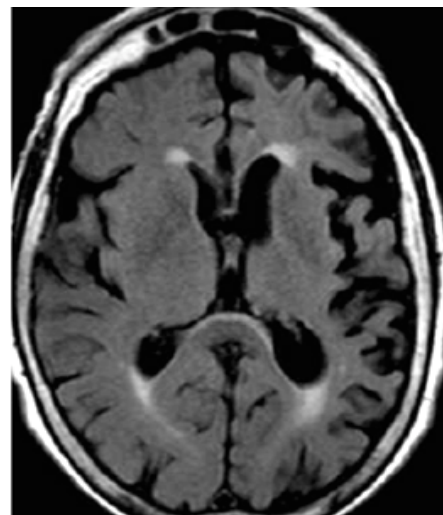
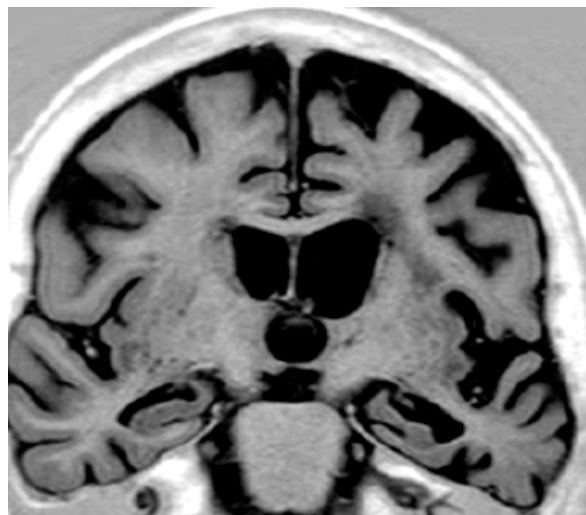
TCL-a



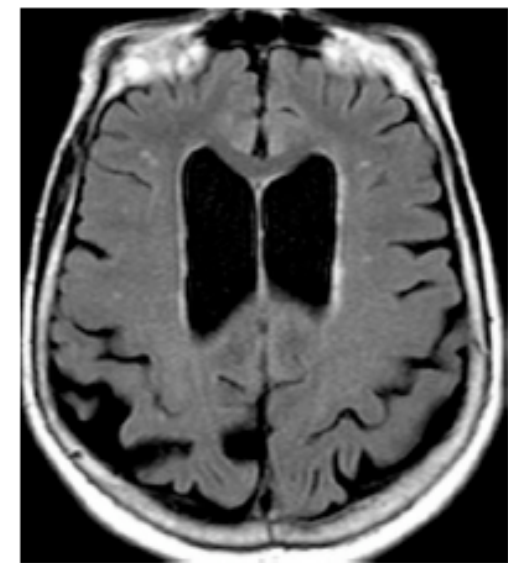
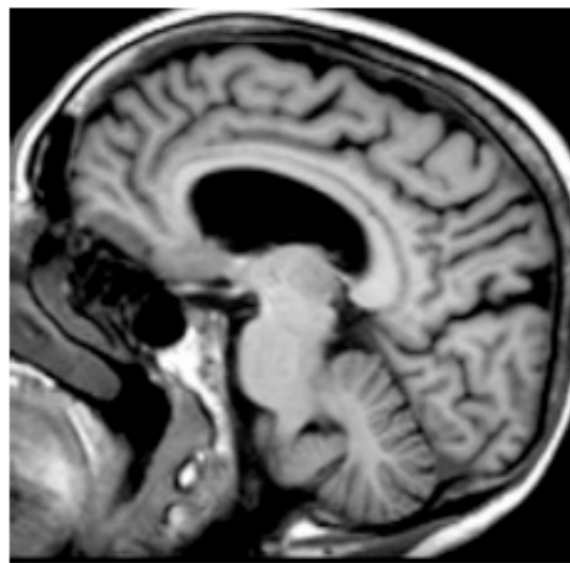
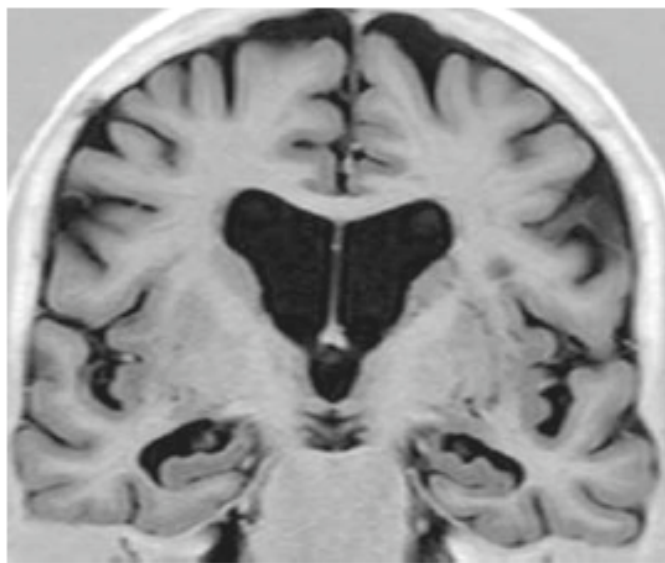
CADASIL



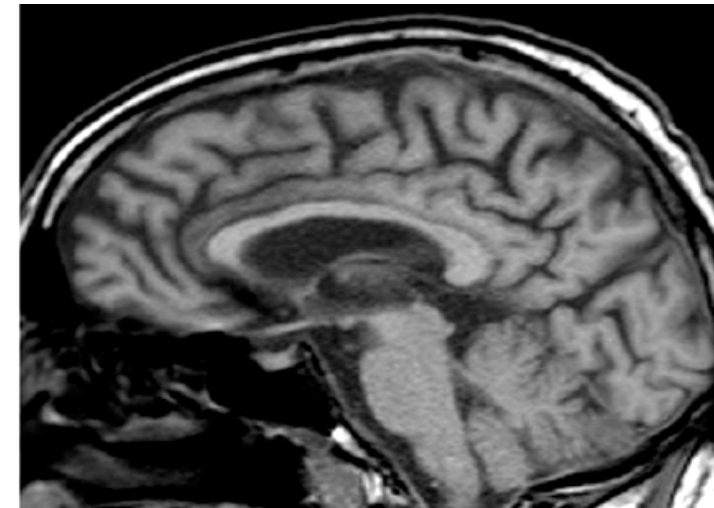
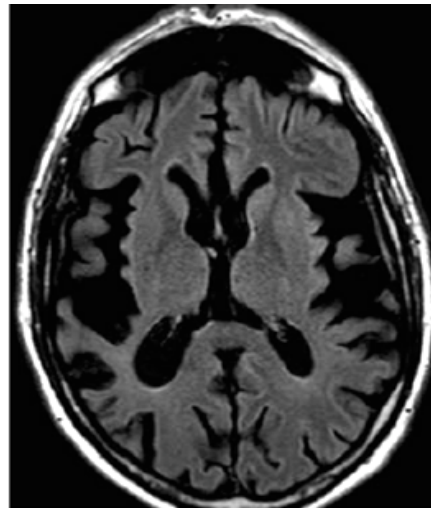
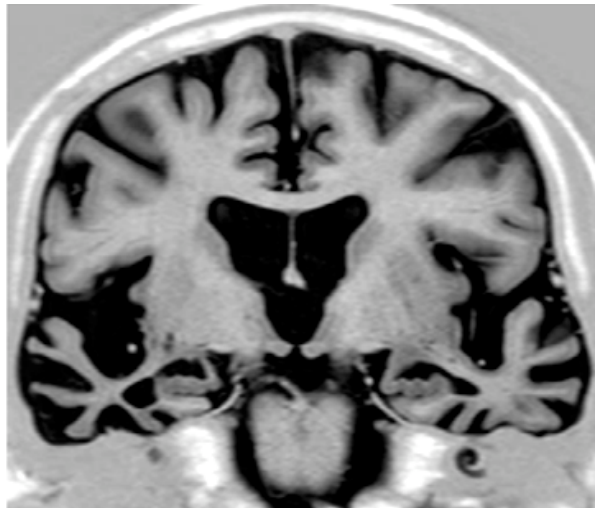
DLFT – APP



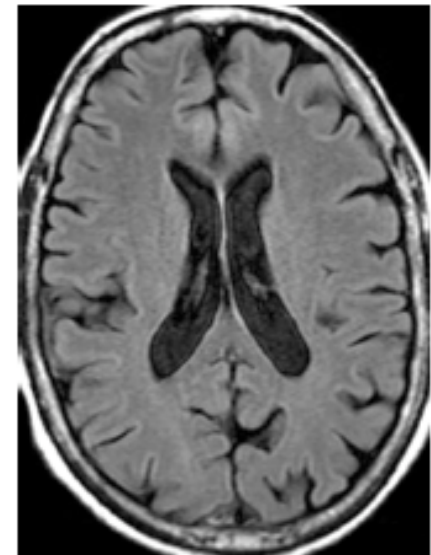
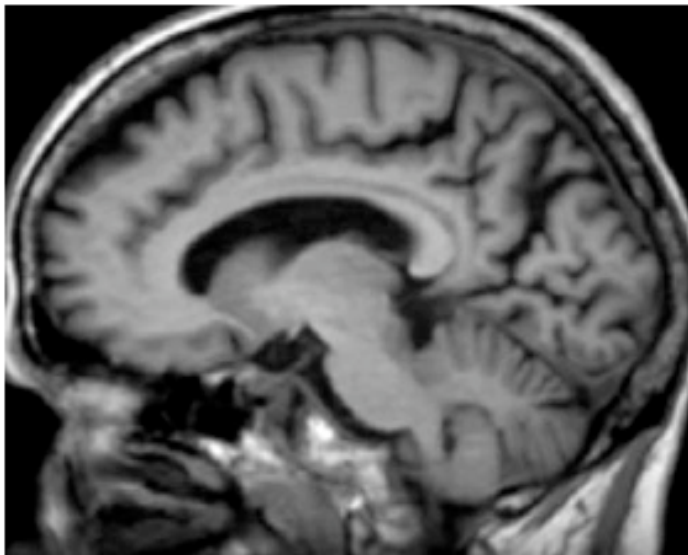
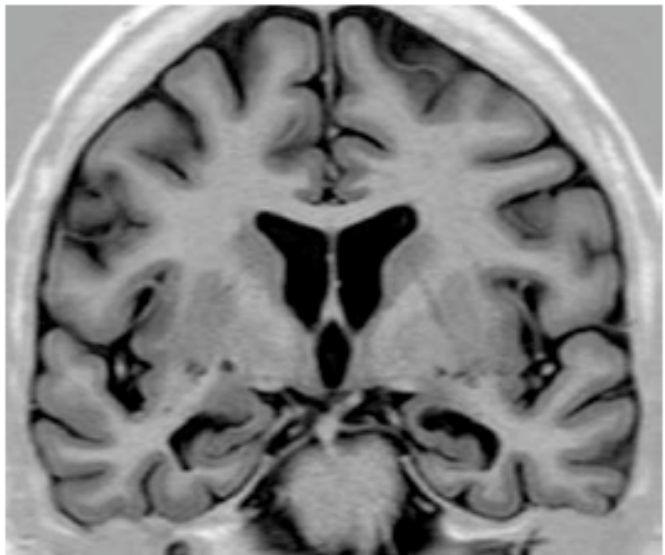
MA



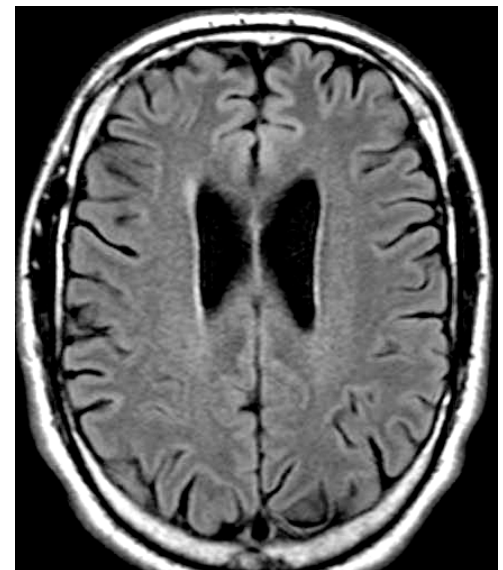
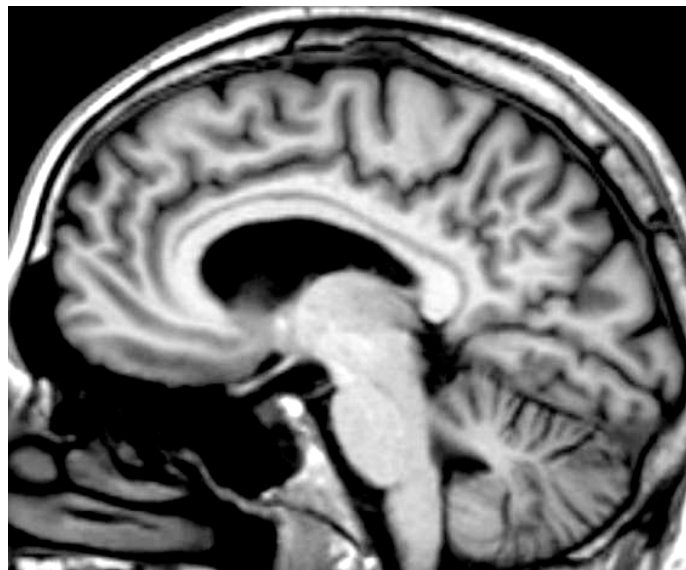
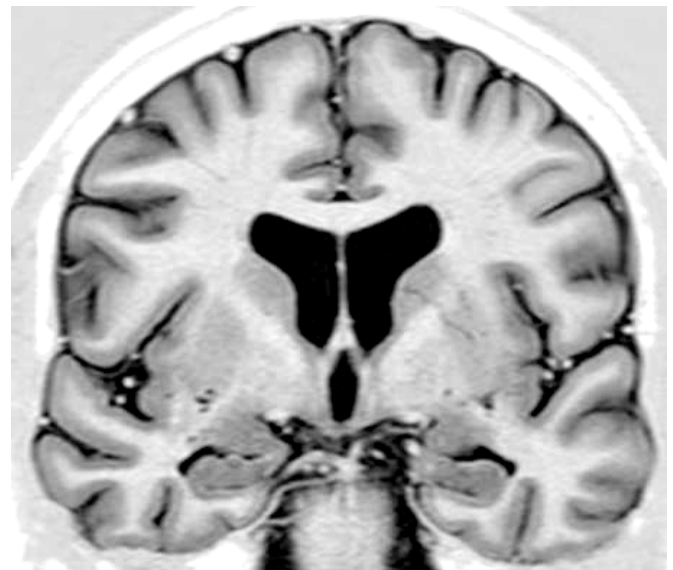
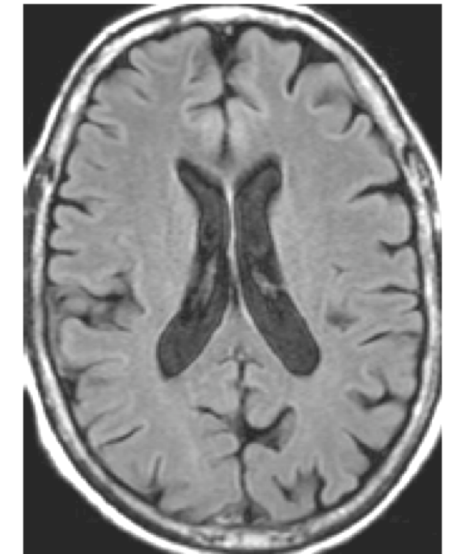
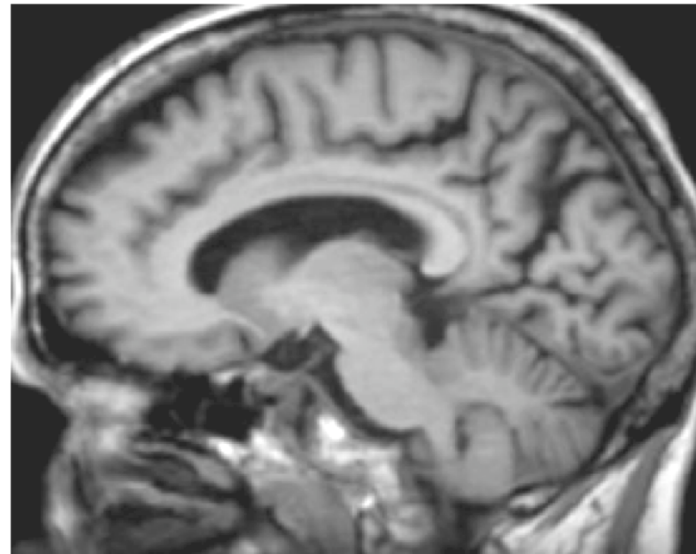
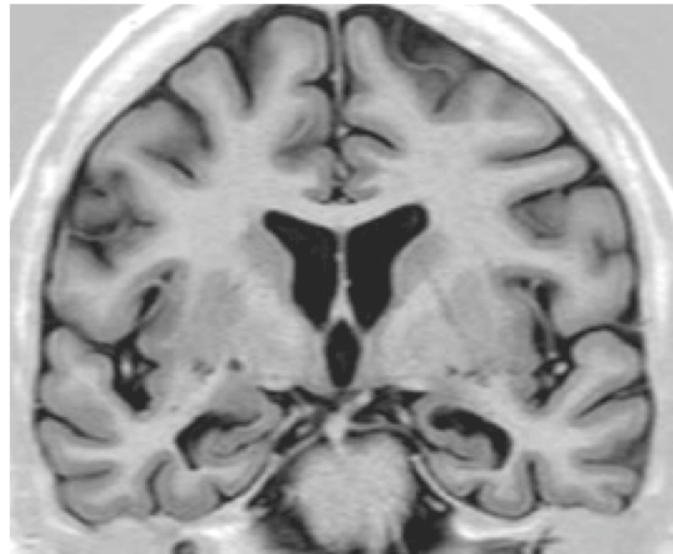
DLFT – D. Sémantique



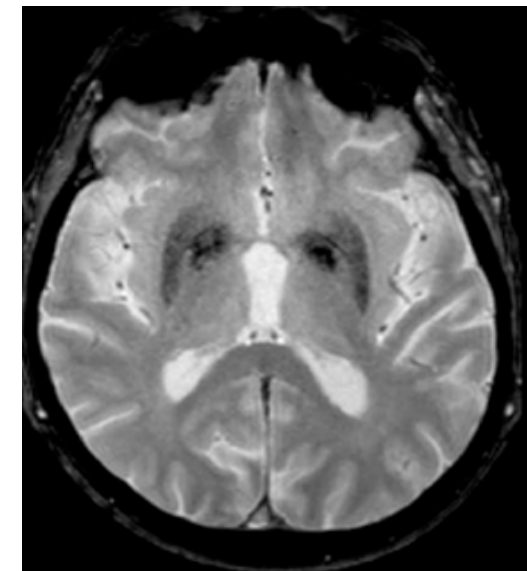
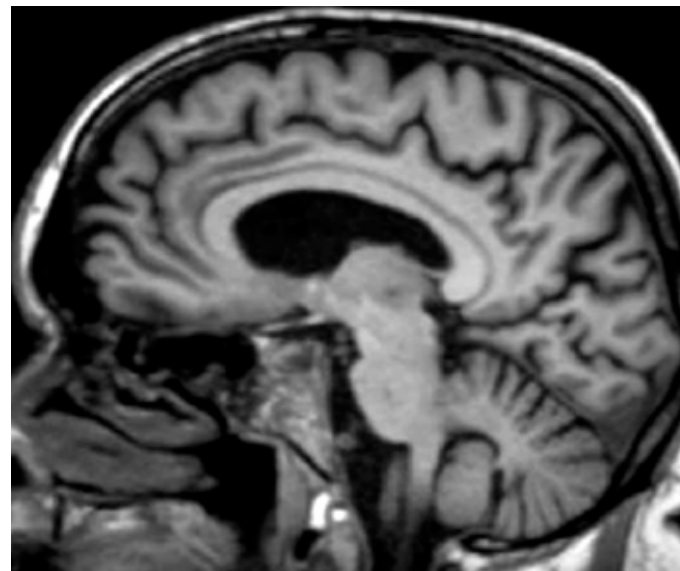
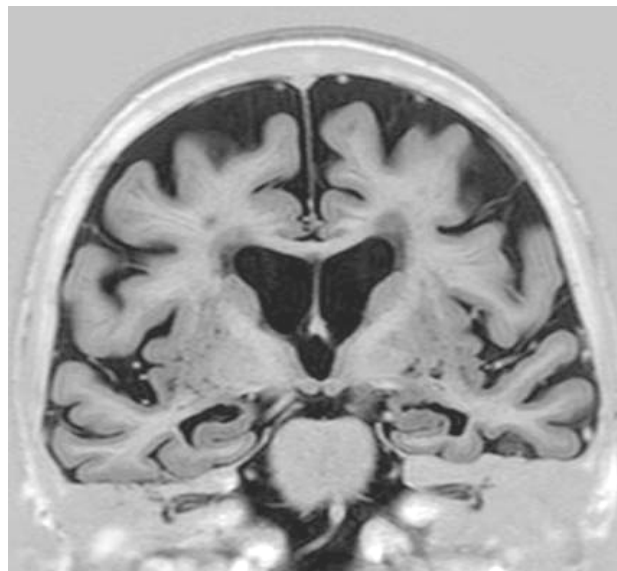
MA



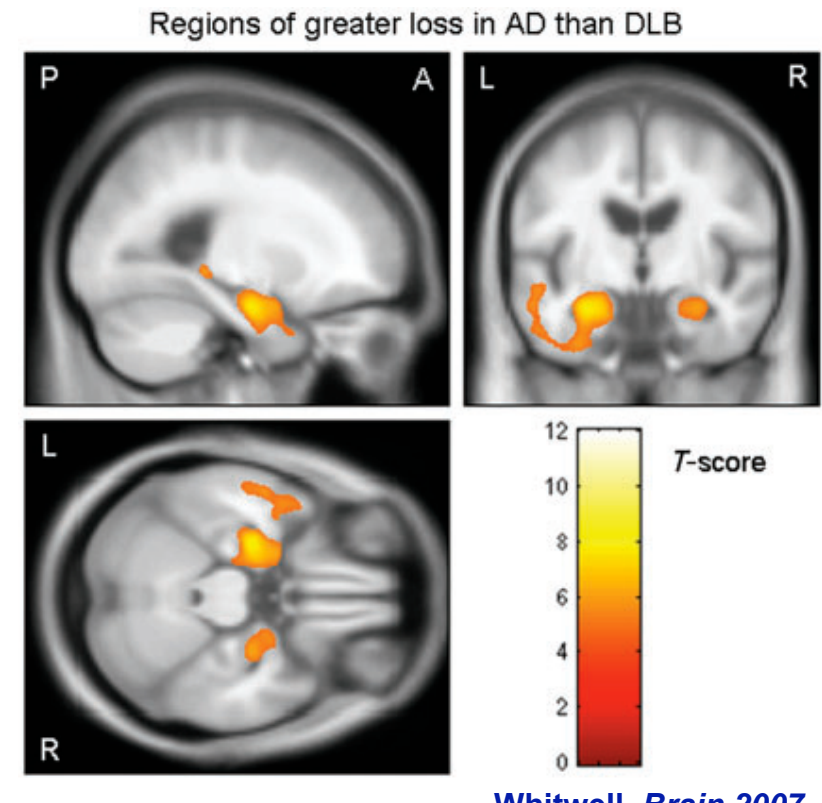
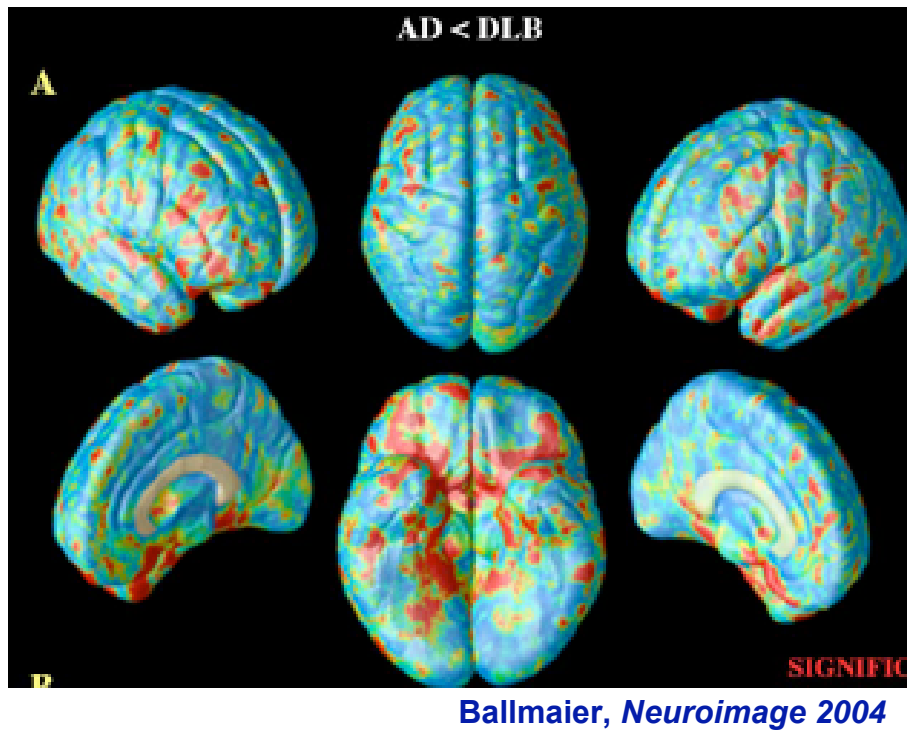
MA ?



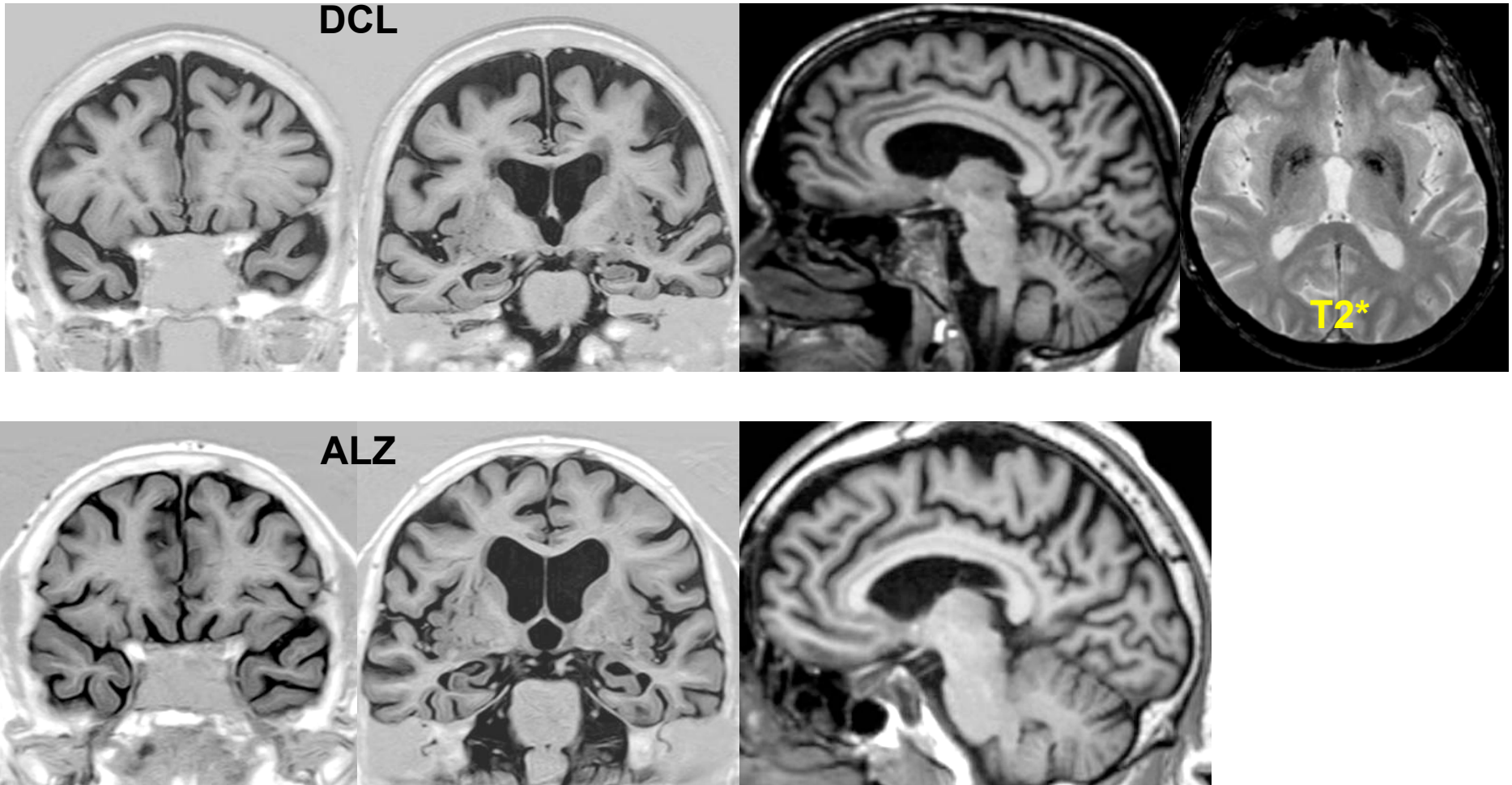
DCL



DCL

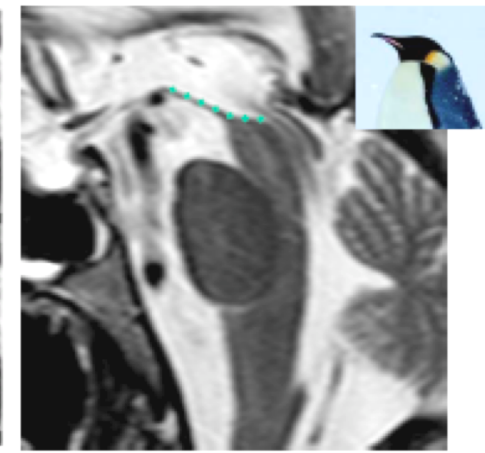
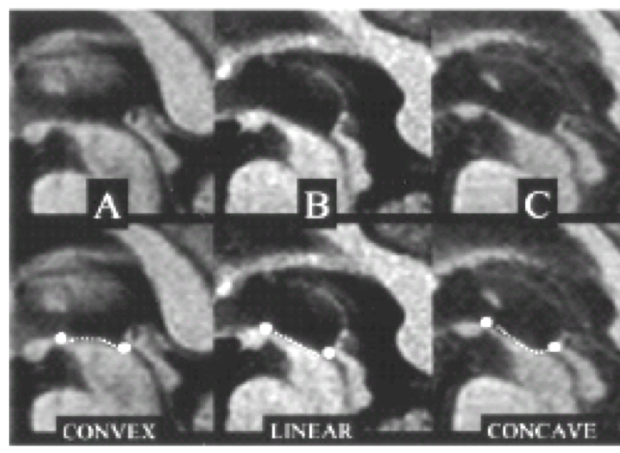
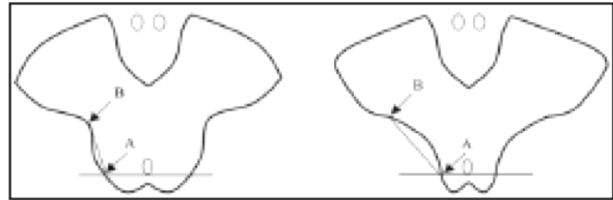
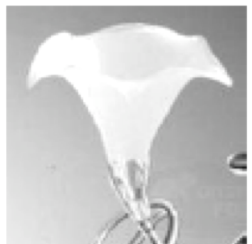
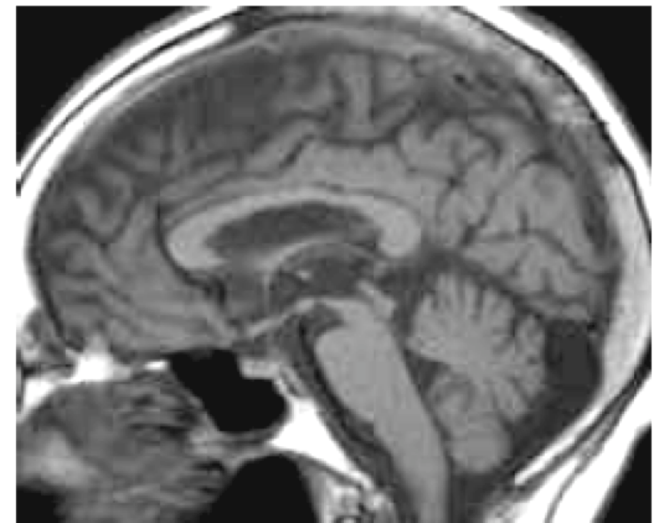
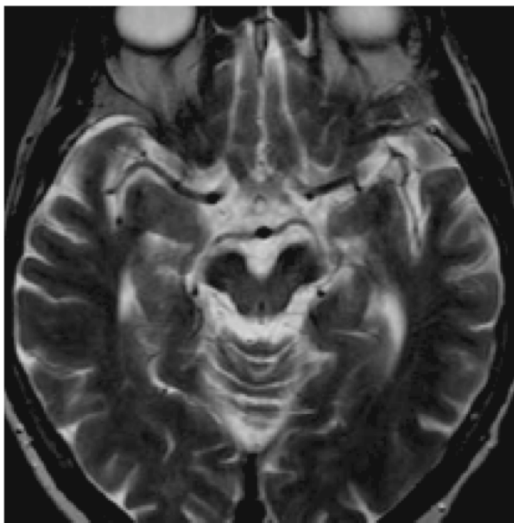
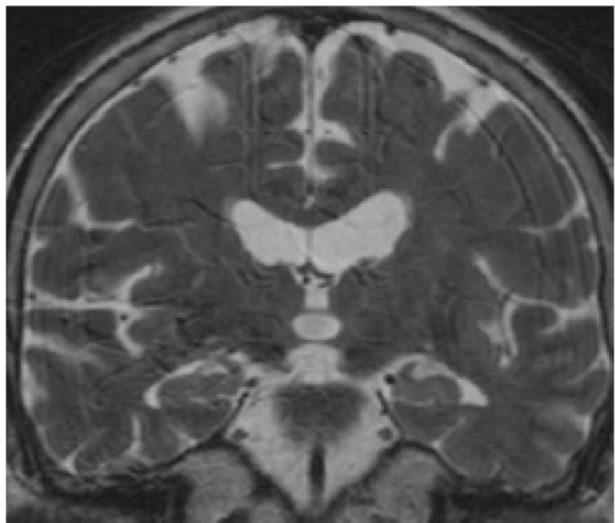


DCL vs ALZ

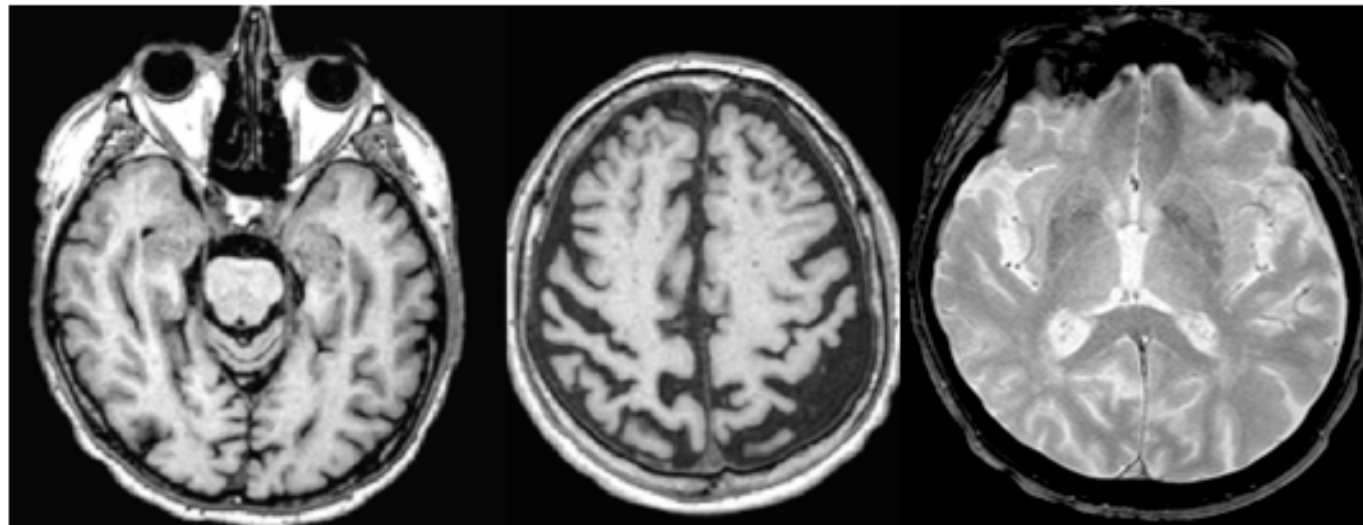


→ DATscan®, PIB1,...?

Paralysie supra-nucléaire progressive



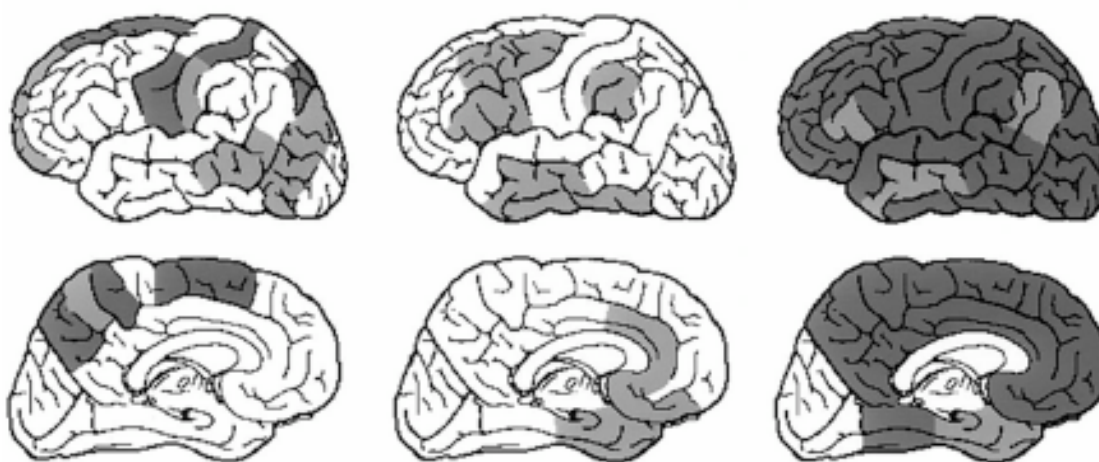
Dégénérescence cortico-basale



CBD vs AD

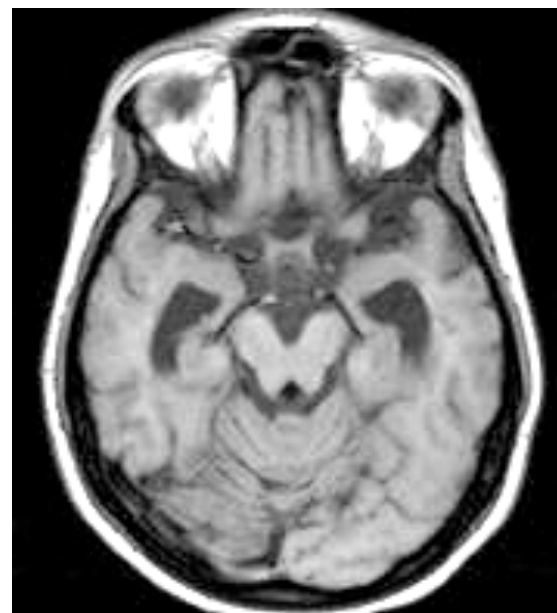
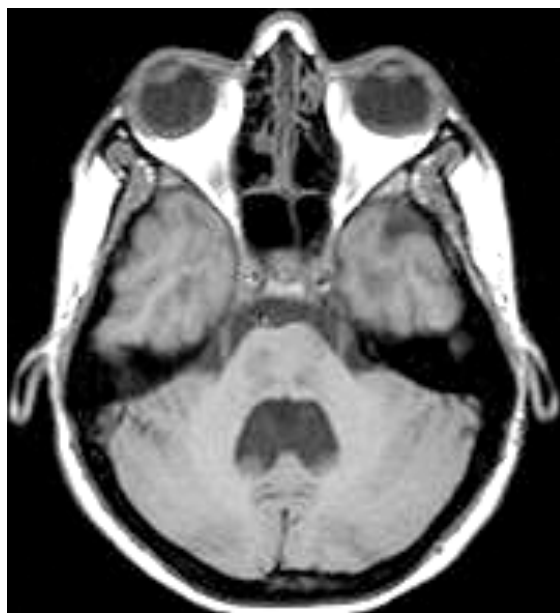
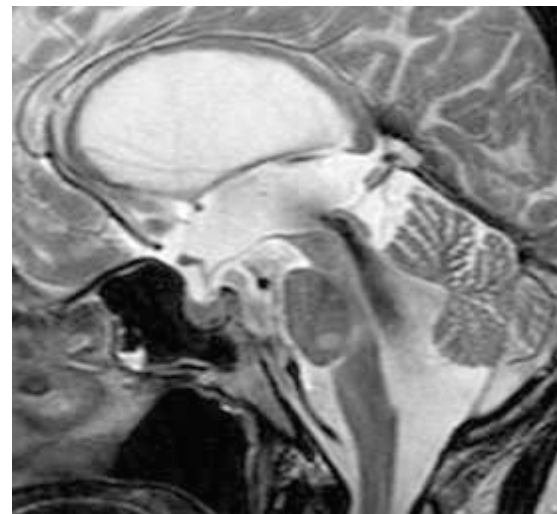
AD vs NC

CBD vs NC

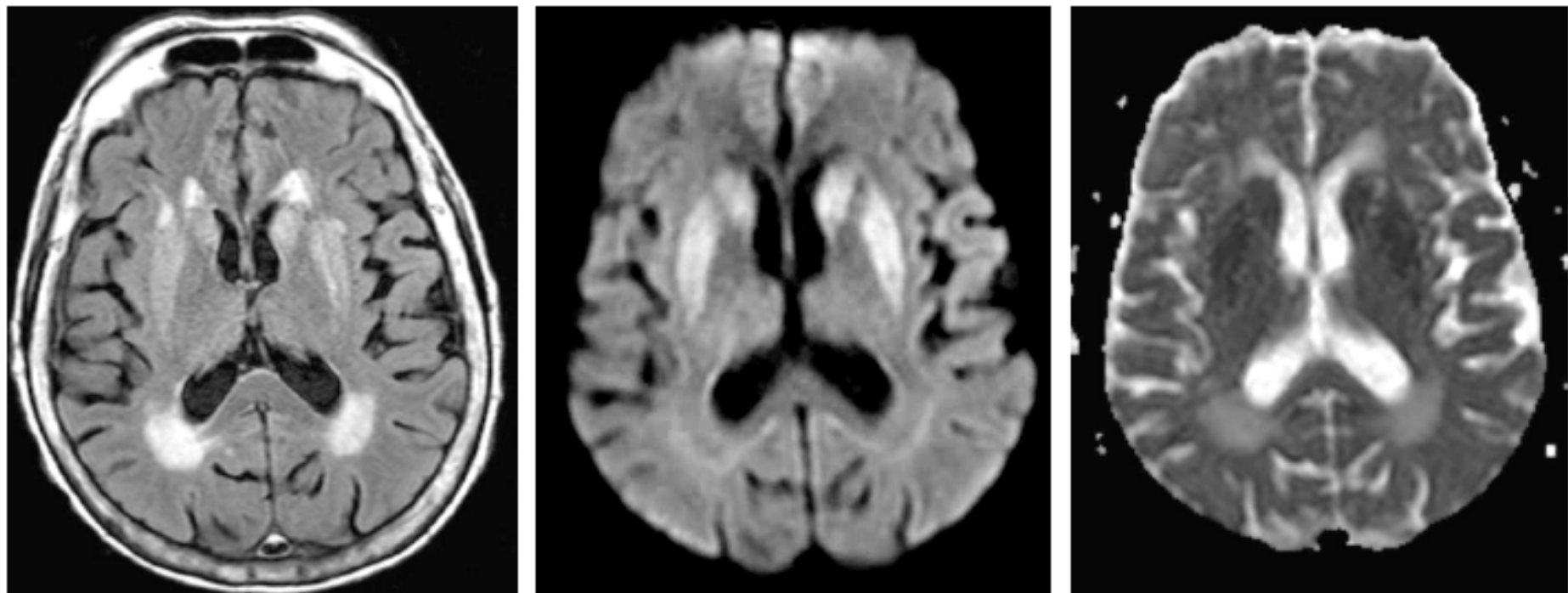


Kitagaki, Radiology 2000

Hydrocéphalie chronique de l'adulte

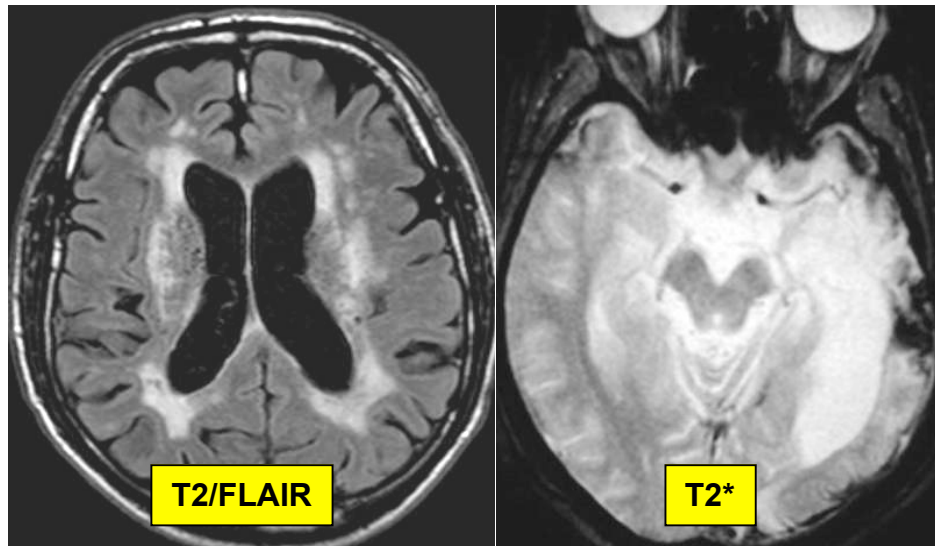


M. Creutzfeld-Jacob

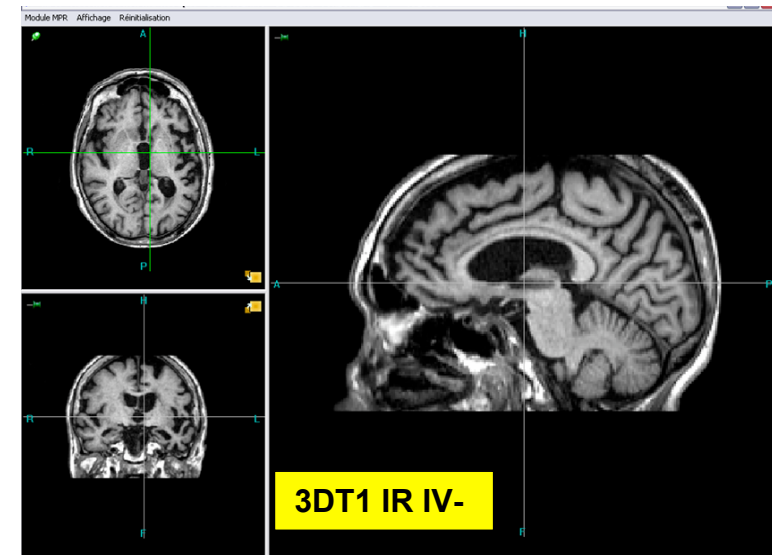


Acquisition IRM : recommandations

Éliminer les autres causes de démences et voir les lésions vasculaires

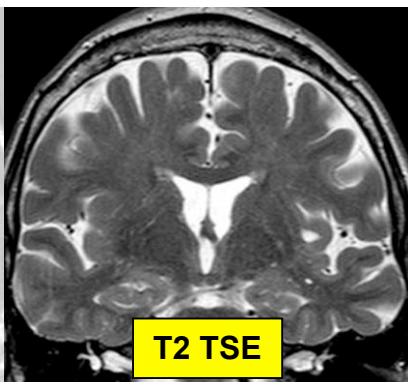
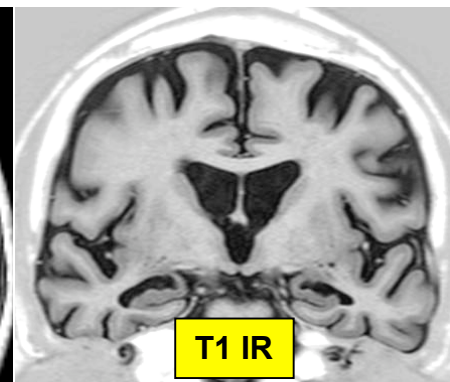
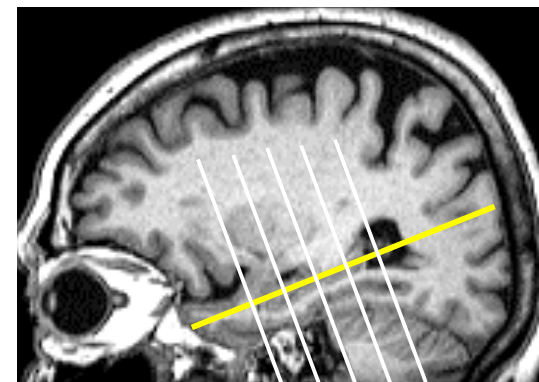


Volumétrie cérébrale



Voir les hippocampes

± DWI



Neuro-imagerie et MAMA

- Démarche diagnostique
 - Cause « chirurgicale » (TDM)
 - Cause « médicale » (IRM)
 - Cause « neurodégénérative » (IRM)
- Recommandations IRM
 - T2 (TSE / FLAIR), T2* (EG)
 - Frontal hippocampe, 3D (T1 ou T2)
 - DWI...
- Avantages
 - Morphométrie reproductible
 - Atrophie de l'hippocampe
 - Gradient d'atrophie fronto-pariétaire...
 - Accessibilité, non-invasivité, coût
- Inconvénients
 - « Polymorphisme »
 - Interprétation des données

Perspectives

- → Imagerie multi-modale (techniques avancées et Médecine Nucléaire...)
 - → Analyse multi-paramétrique
- → Nosologie clinique X Nosologie imagerie X Nosologie biologique X Nosologie anatomo-pathologique

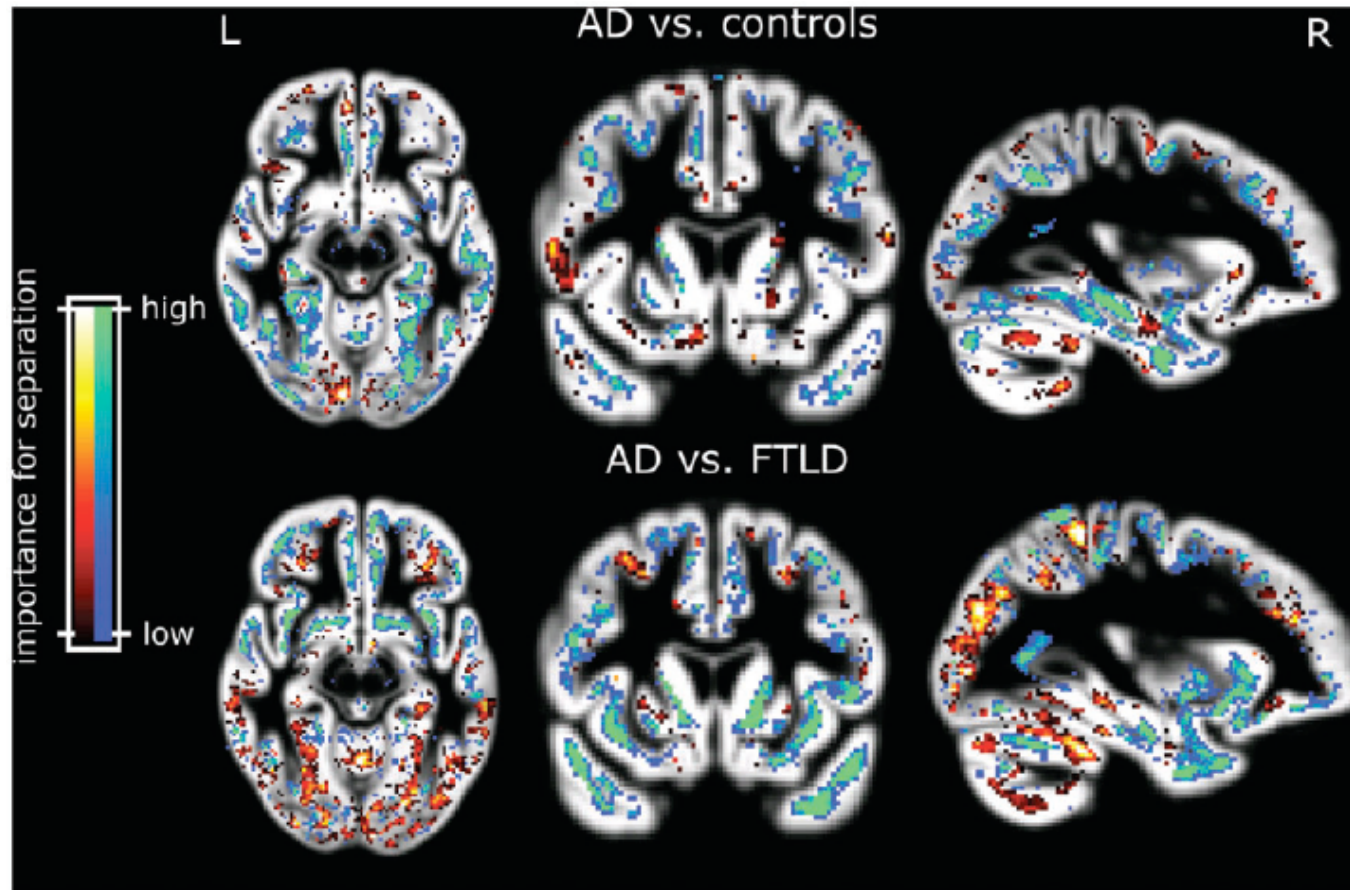
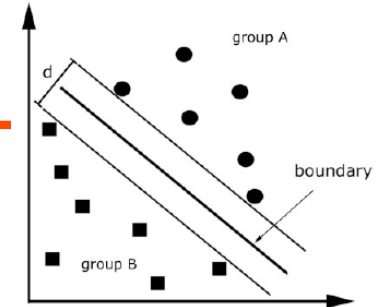
Neuro-imagerie et MAMA

Perspectives

- Morphométrie
- IRM du tenseur de diffusion
- Spectroscopie
- IRM fonctionnelle

Morphométrie : Classificateurs SVM

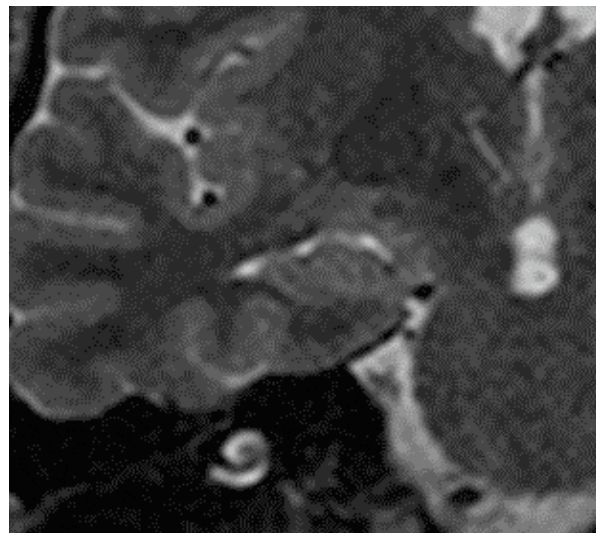
- Catégorisation multi-paramétrique : exactitude >90%



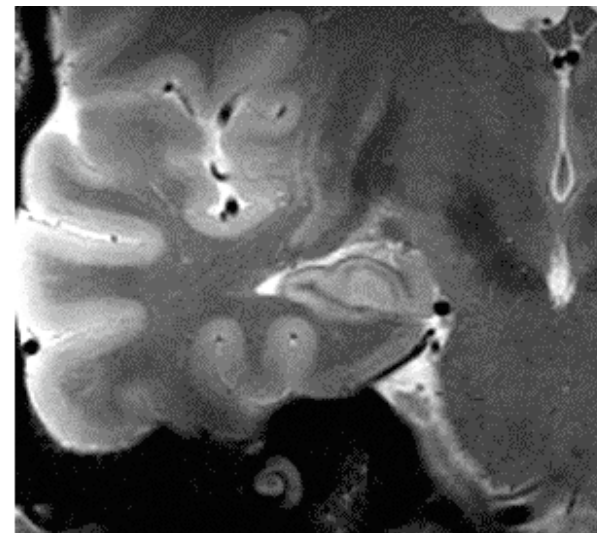
Klöppel, *Brain* 2008

IRM à très haut champ : $\geq 7T$...

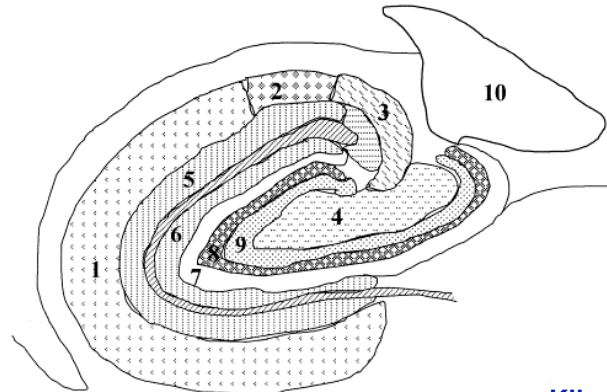
1,5T



7T



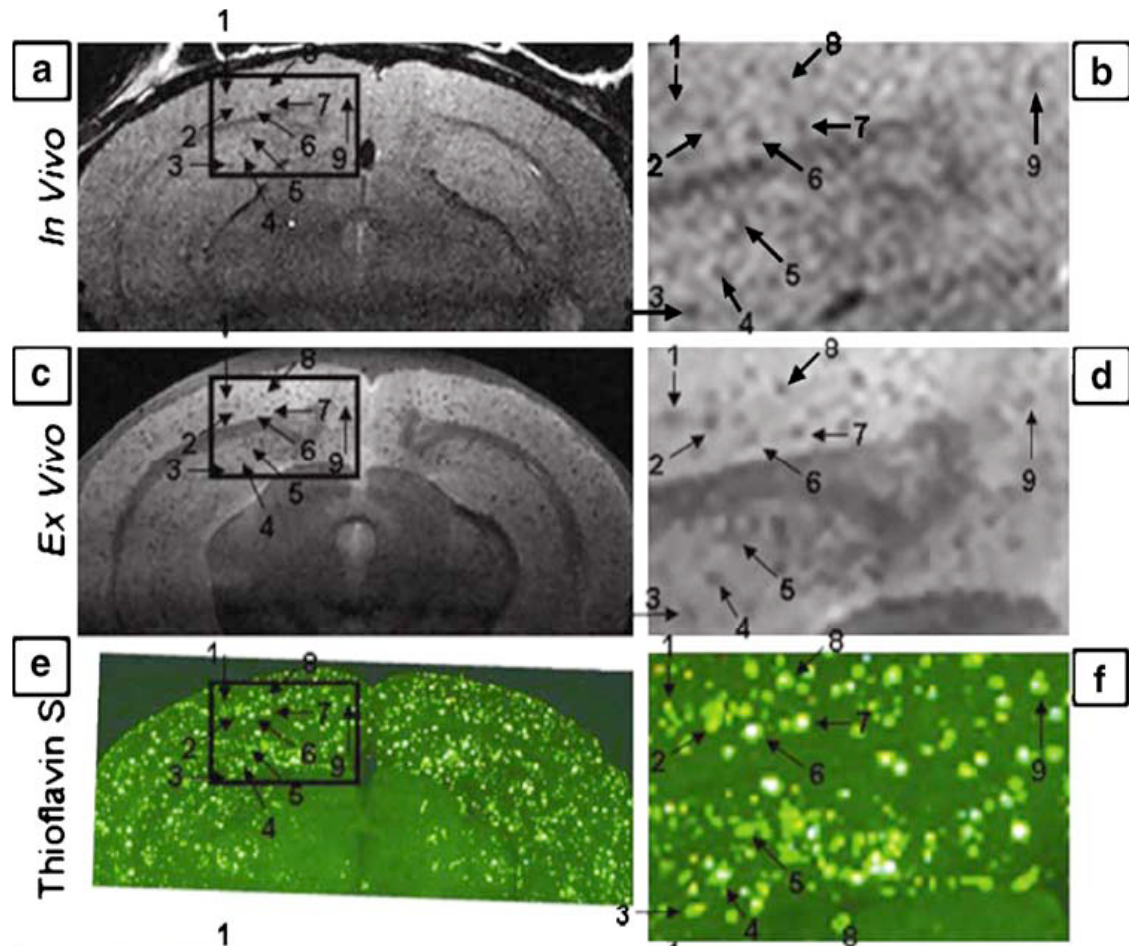
Norris, Radboud Univ. Nijmegen



Klimek Neuropsychopharmacology 1999

Microscopie IRM

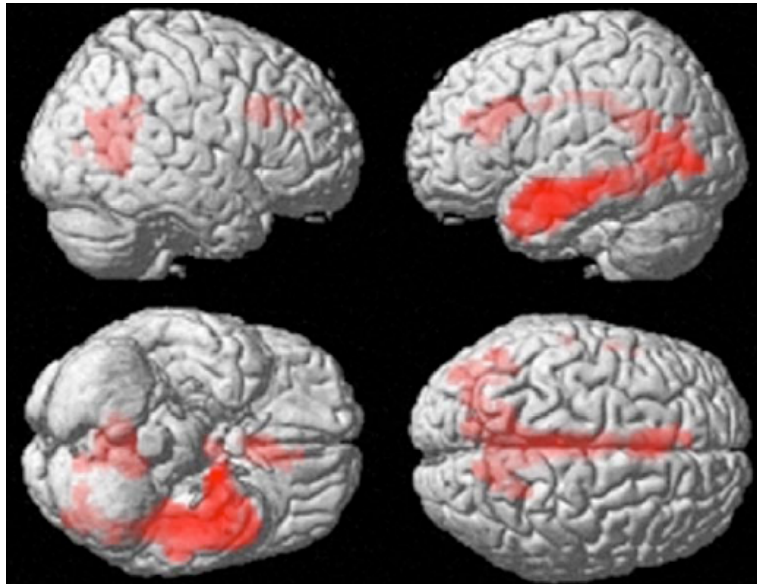
- Plaques A β
 - 2 - 200 μ
- IRM >7T
 - T2* EG
 - Vox=40 μ
 - > 1 heure
- TEP
 - PIB



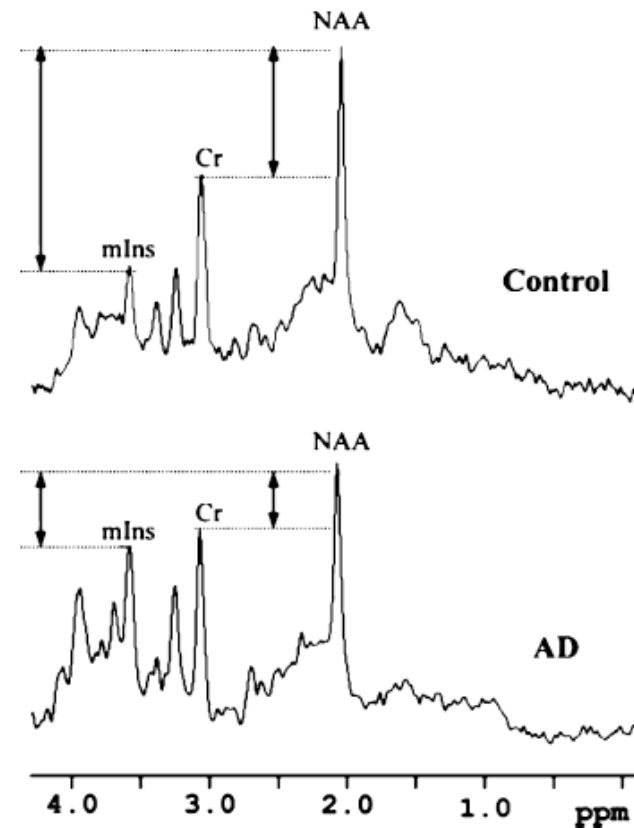
Jack, *J Neurosci* 2005

IRM du tenseur de diffusion - Spectroscopie

VB-DTI (AF) : Alz vs Sain



Posterior cingulum SVI – TE=30ms

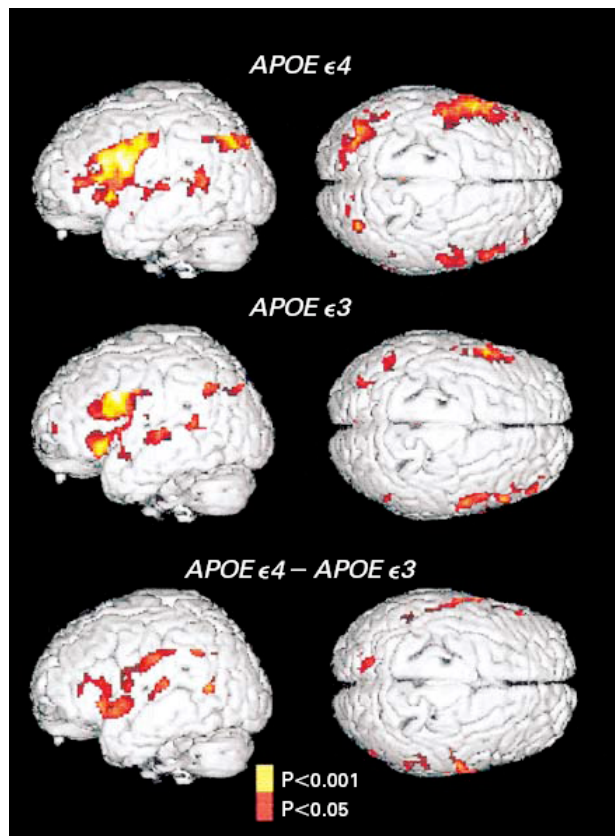


- Validité sur groupe
- Pas de validité individuelle
- Distinction MA - Sain
- Pas de distinction entre MAMA

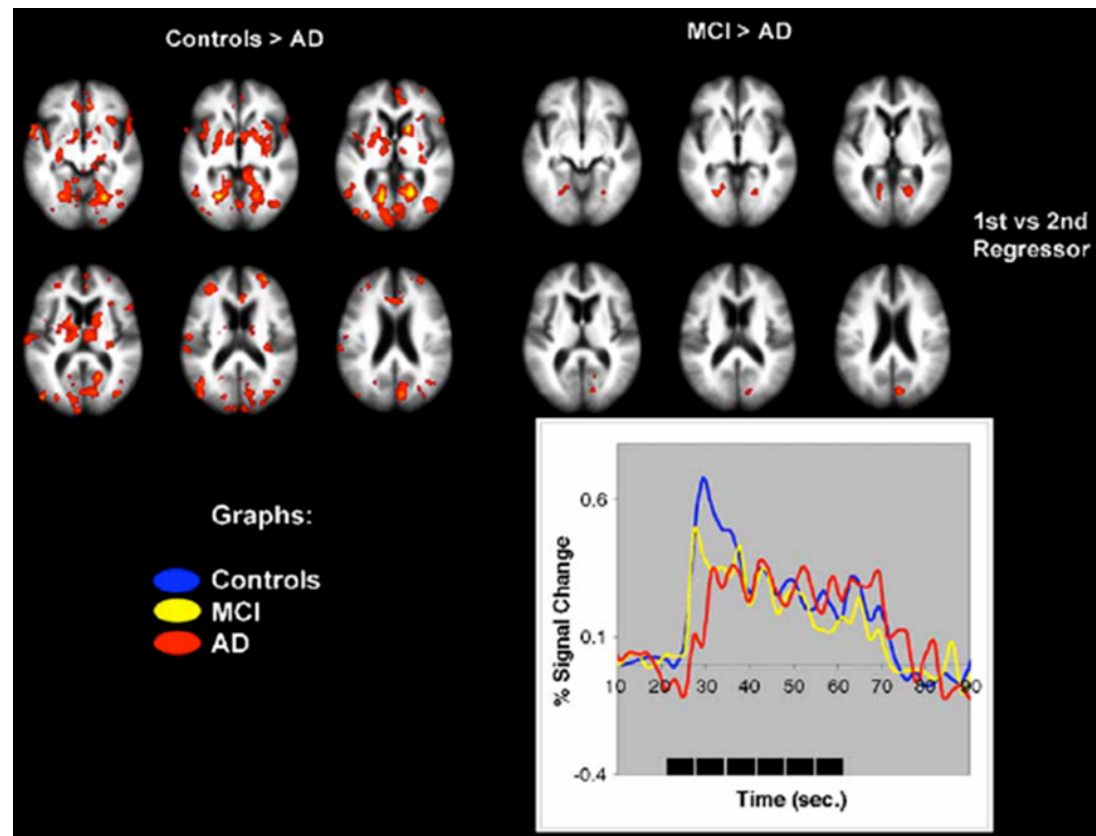
Lehéricy, *Eur Radiol* 2007

IRM fonctionnelle cognitive

- Encodage mnésique visuel



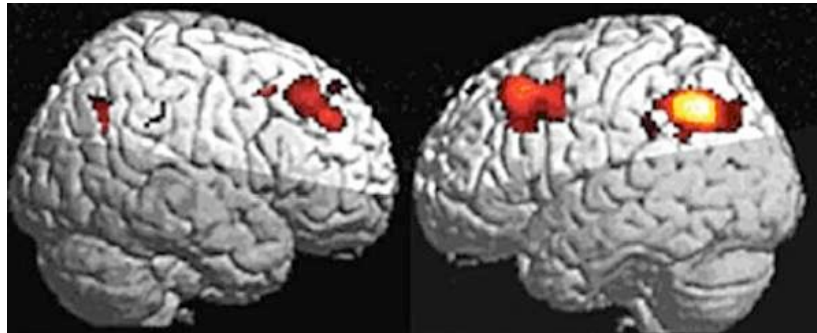
Bookheimer, *NEJM* 2000



Rombouts, *Neuroimage* 2005

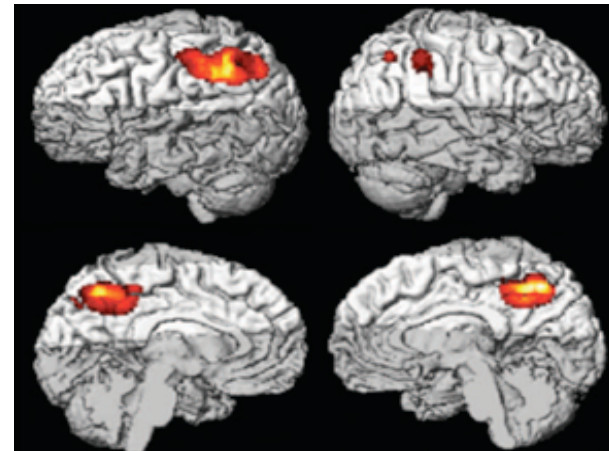
IRM fonctionnelle perfusion

Perfusion basale ASL
Sain vs ALZ



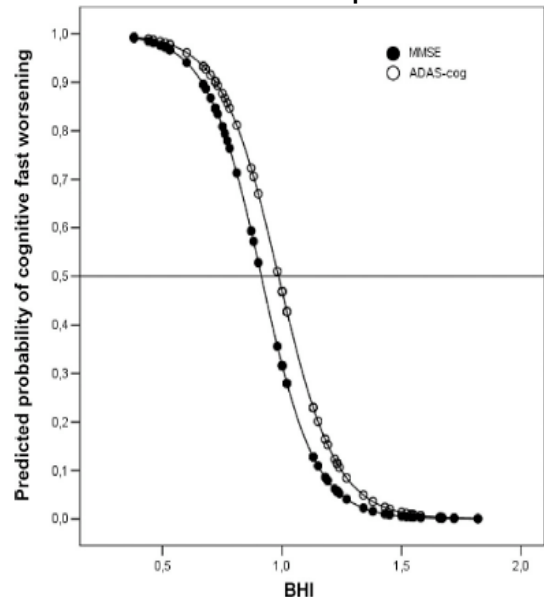
Johnson, *Radiology* 2005

Perfusion basale ASL
DFT vs ALZ



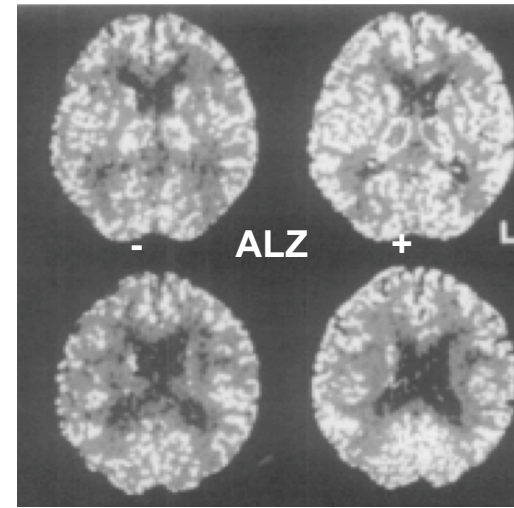
Du, *Neurology* 2006

TCD - Apnea



Silvestrini, *Stroke* 2006

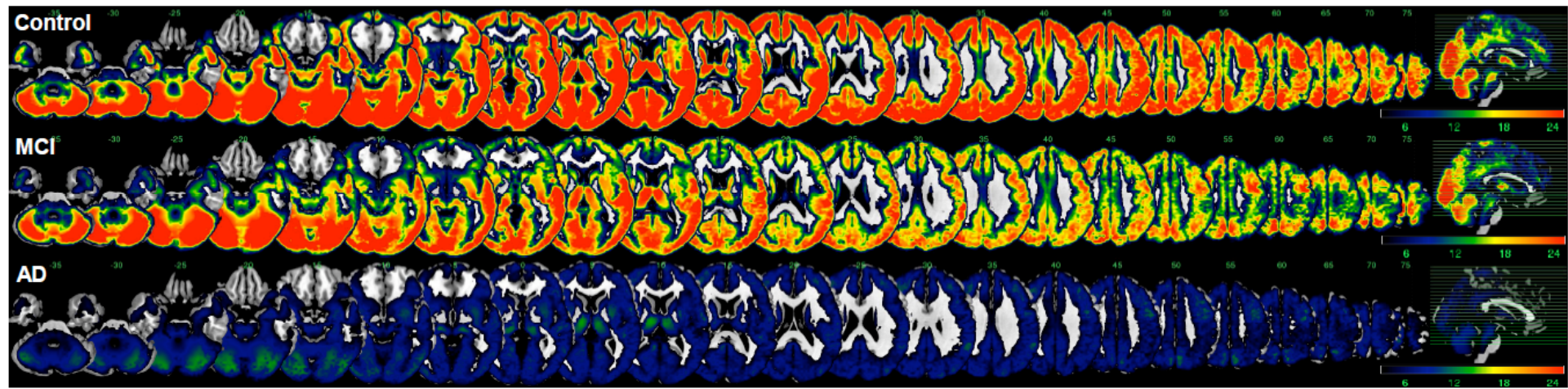
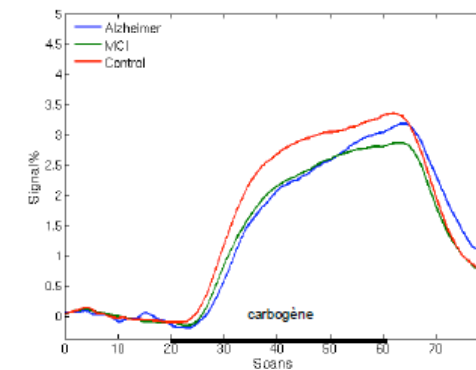
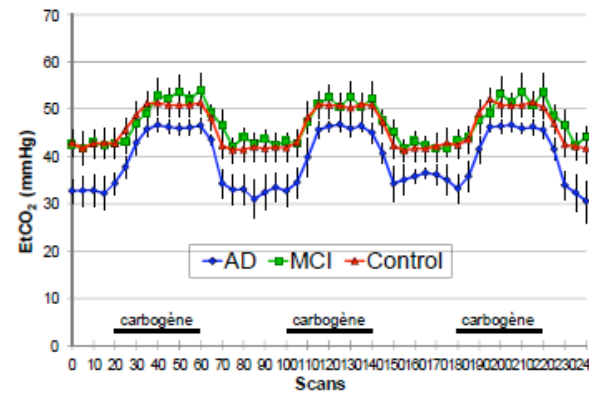
CT Xenon – ACZ



Oishi, *J Clin Neurosci* 1999

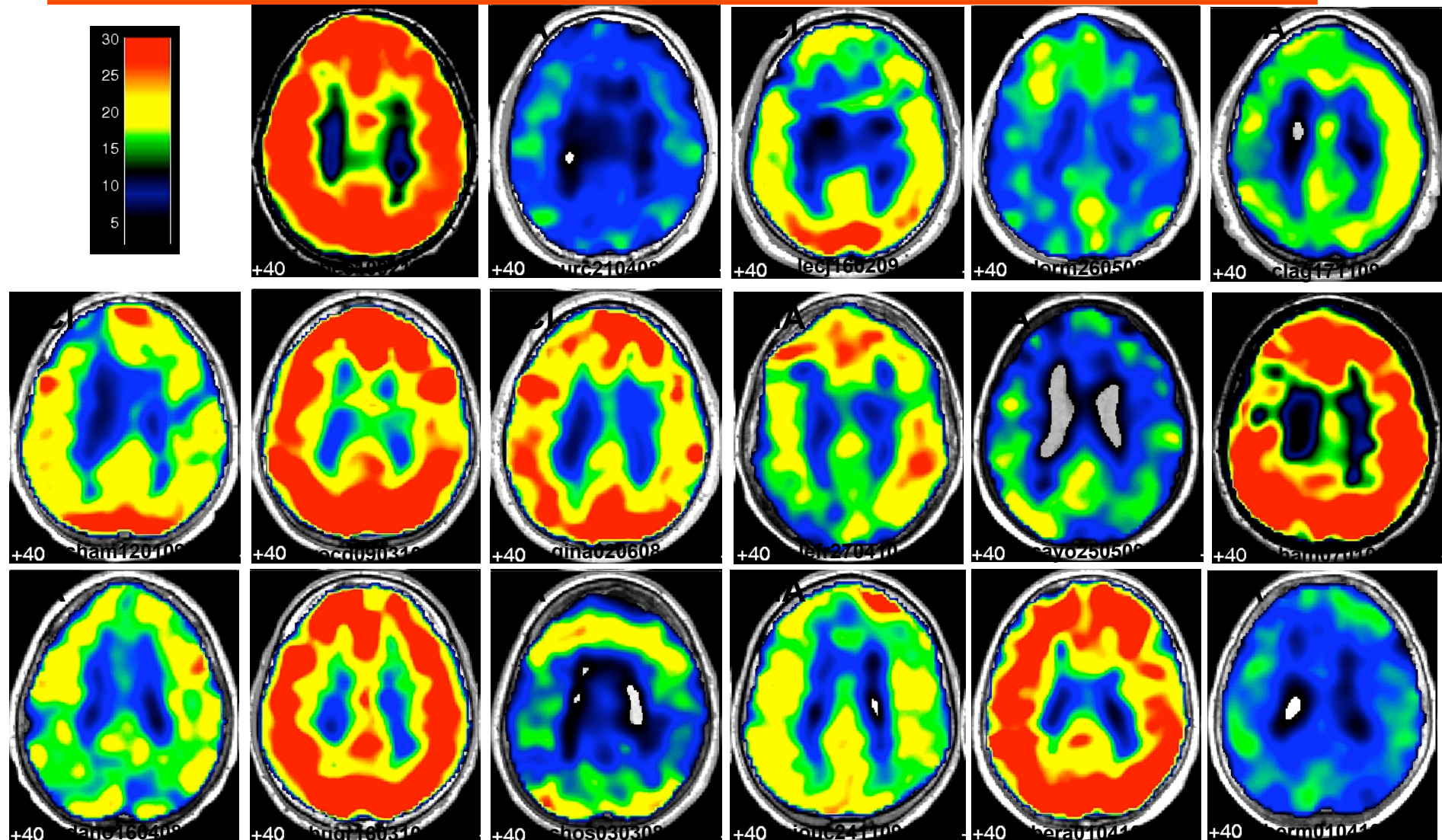
CEVASAL – Preliminary results PHRC 2007

- BOLD fMRI – Carbogen inhalation (CO_2 7% - O_2 93%)
- Control (n=10): 64yo; MMSE=29
- MCI (n=8): 67yo; MMSE=26
- ALZ (n=8): 72yo; MMSE=22



Krainik et al. ICVD Barcelona 2009

Vasoréactivité Alzheimer FAZEKAS ≤1 BOLD CO₂ 7% / O₂ 93%



$$3^{17} = 129 \ 140 \ 163$$

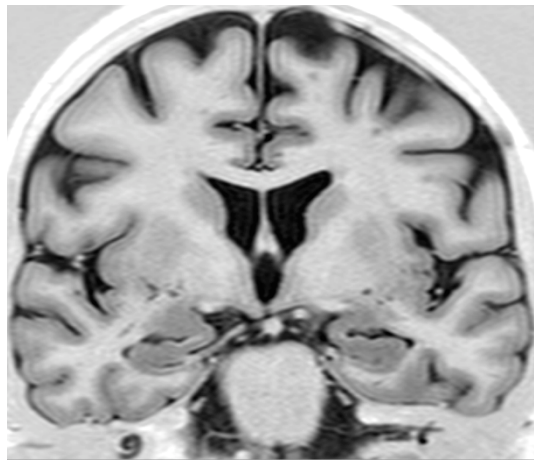
Remerciements



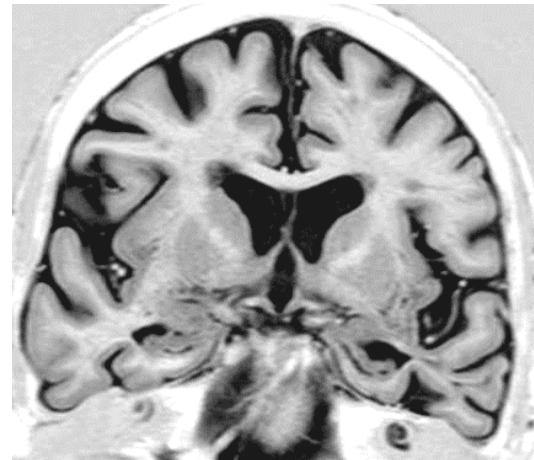
- Pr Jean-François Le Bas, Dr Irène Troprès et toute l'équipe de l'IRM
- Dr Olivier Moreaud, Dr Armelle Memin et toute l'équipe du CMRR
- Pr Pascal Couturier, Pr Alain Franco et toute l'équipe de Gériatrie
- Dr Jan Warnking et toute l'équipe 5 du GIN

Quelques exemples

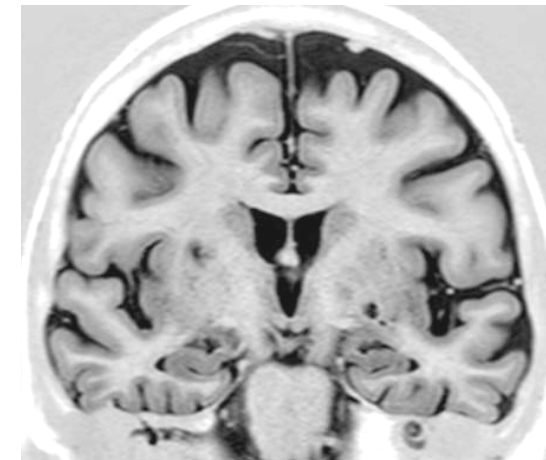
Normal



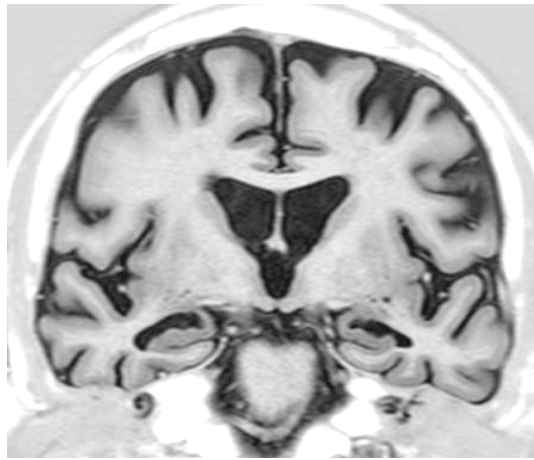
MA



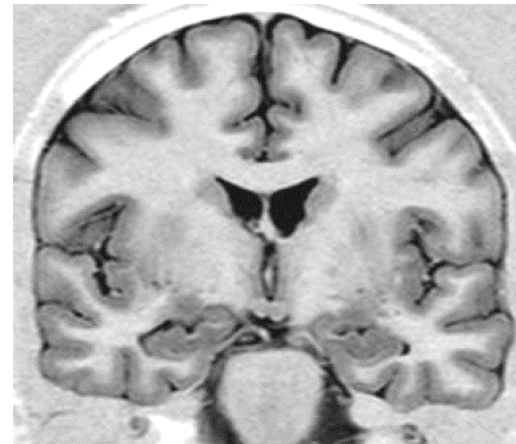
TCL-a



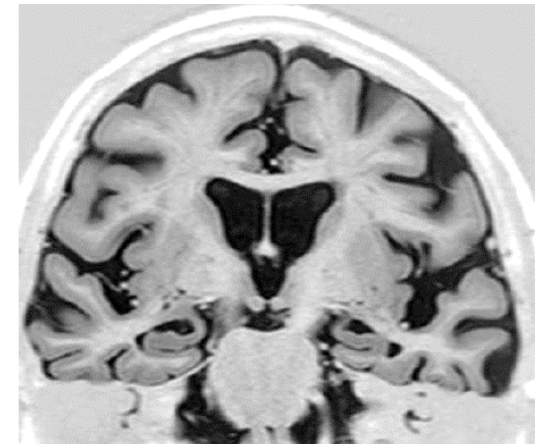
MA



Normal

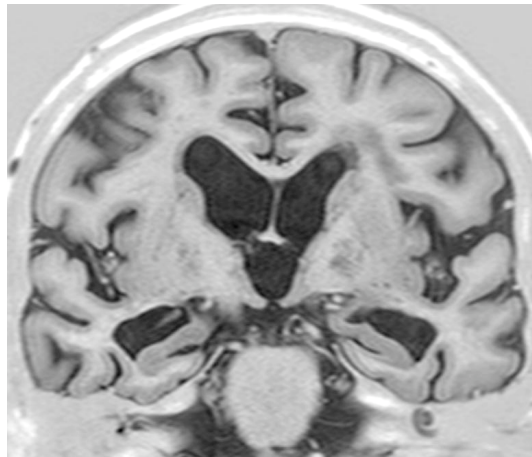


MA

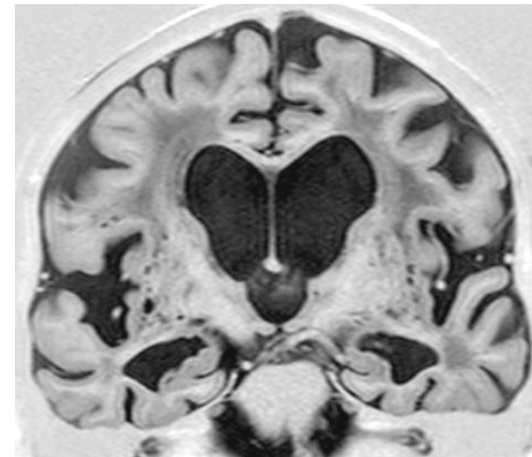


Quelques exemples

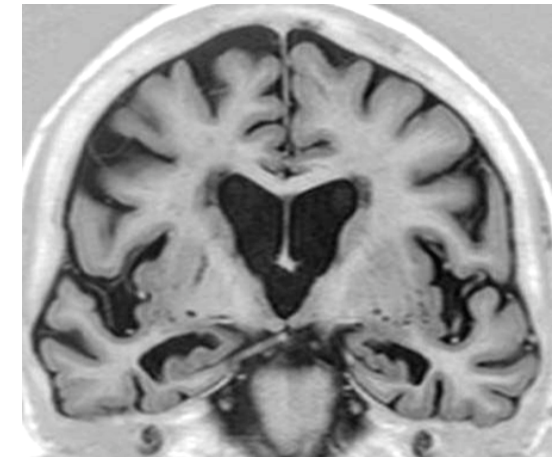
DFT



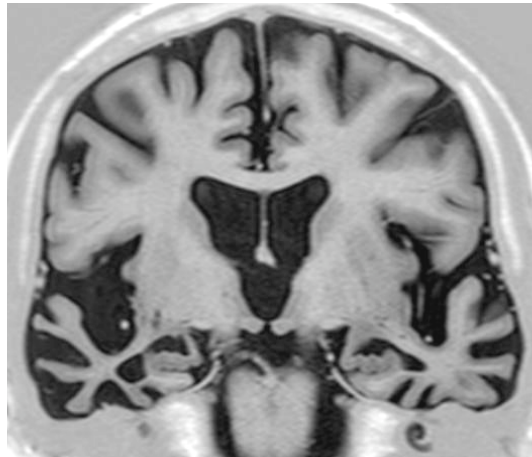
D. Mixte



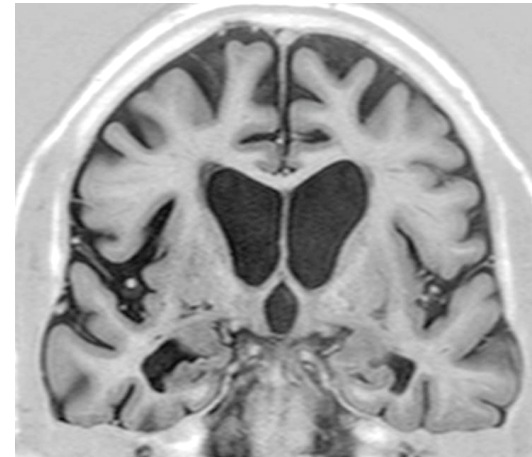
MA



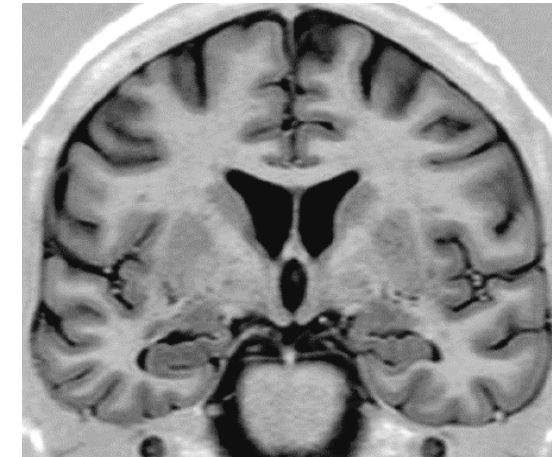
DFT - DS



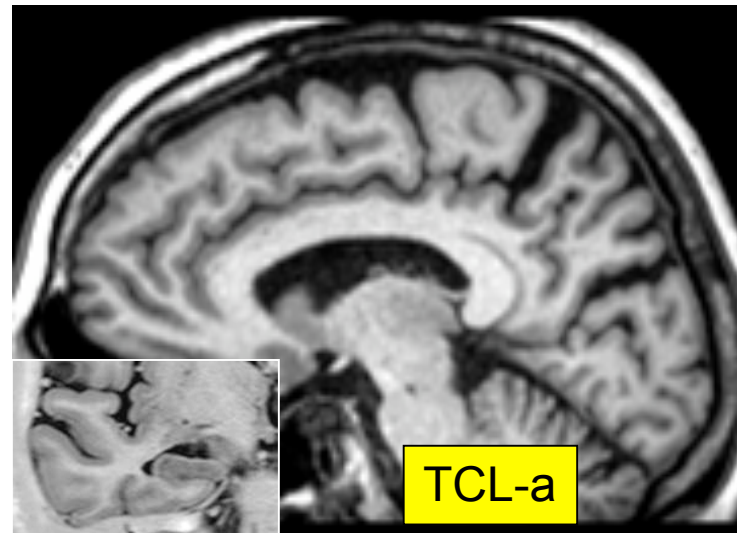
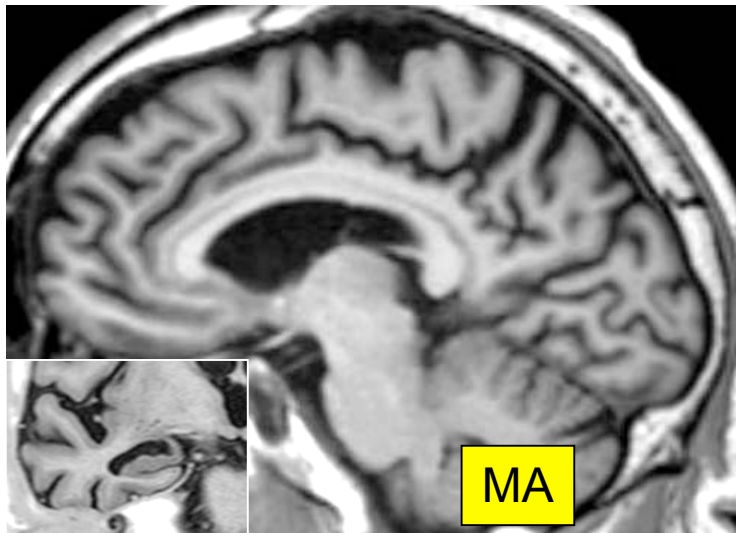
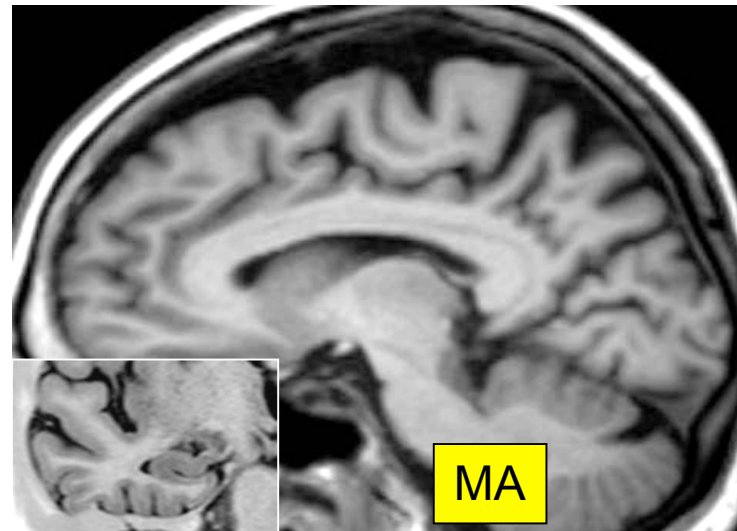
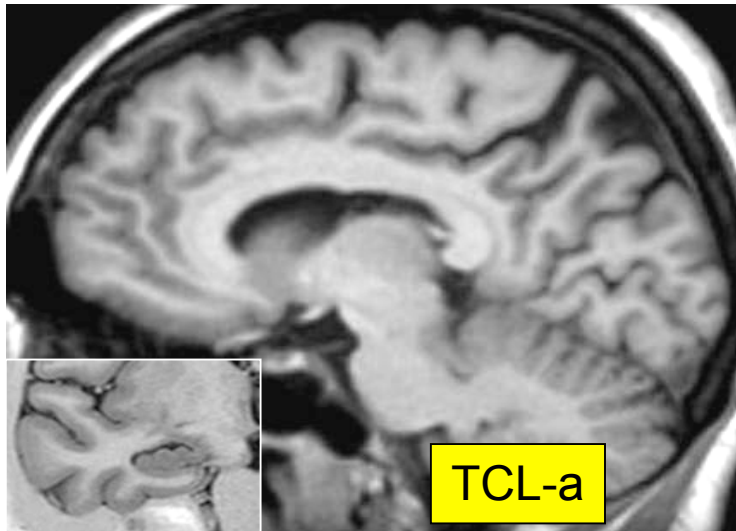
DCL



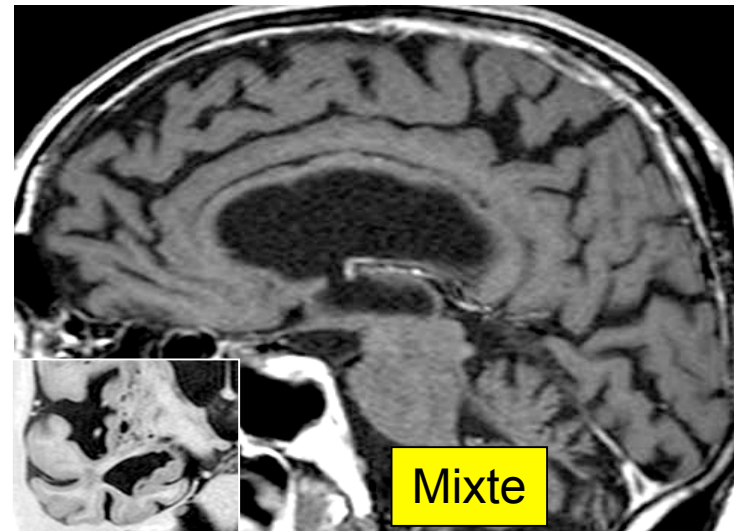
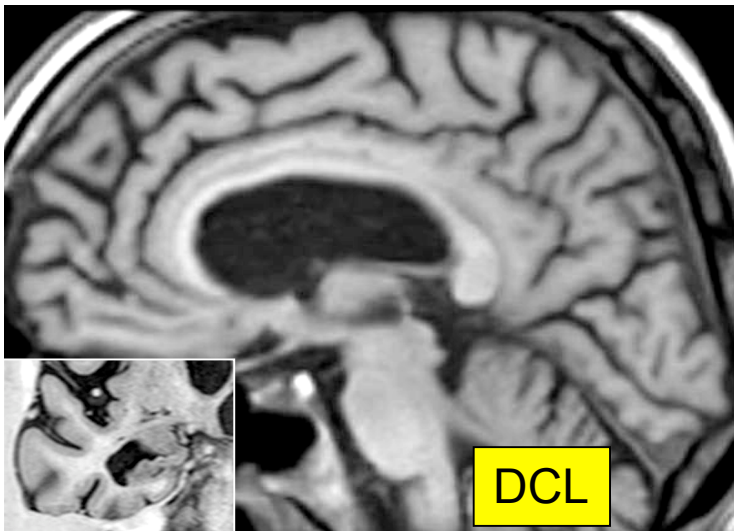
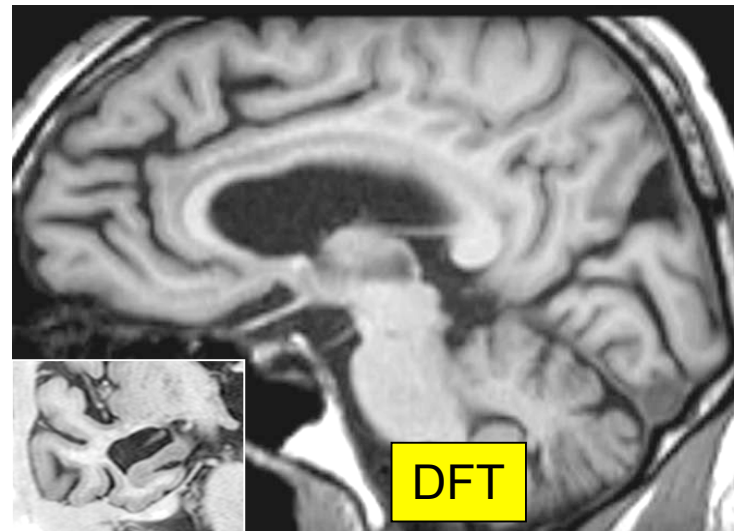
MA



Morphométrie cérébrale

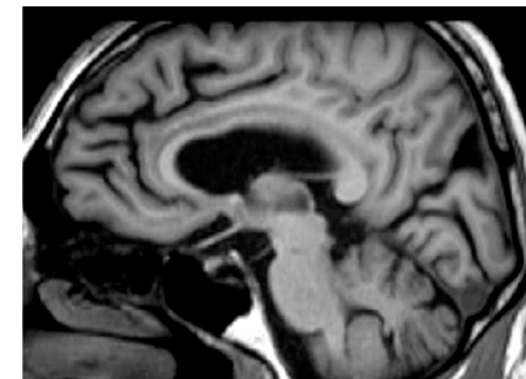
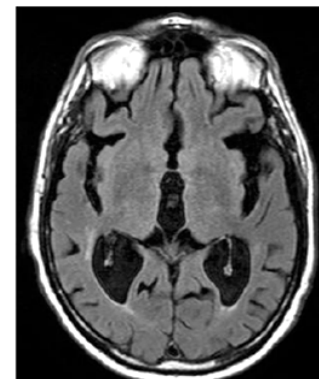
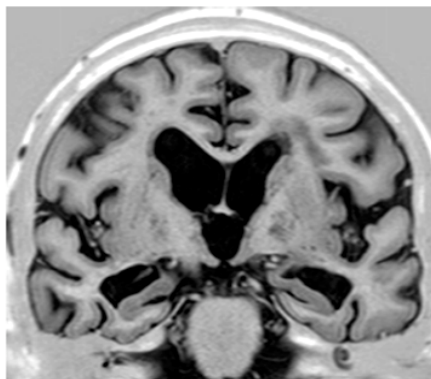


Morphométrie cérébrale

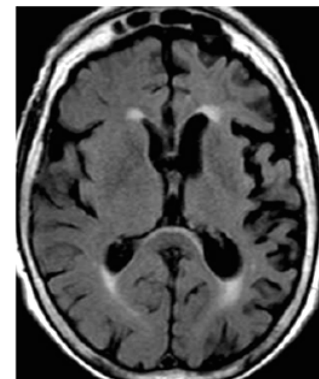
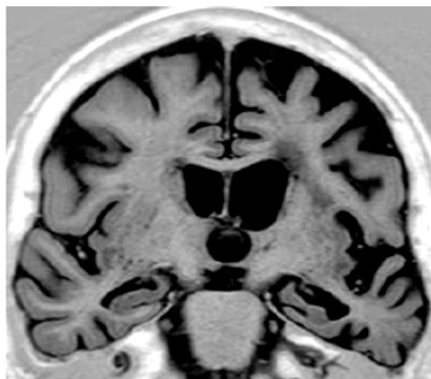


Morphométrie cérébrale

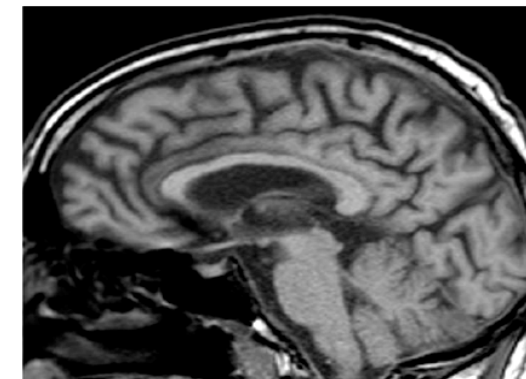
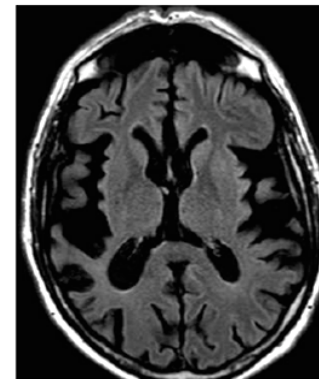
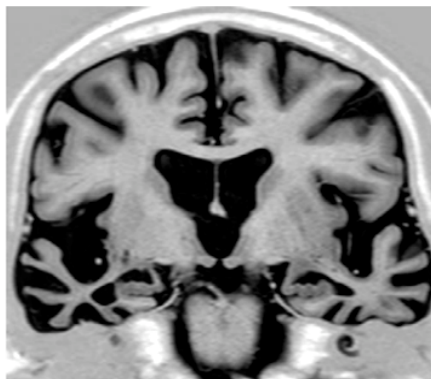
DFT



APP

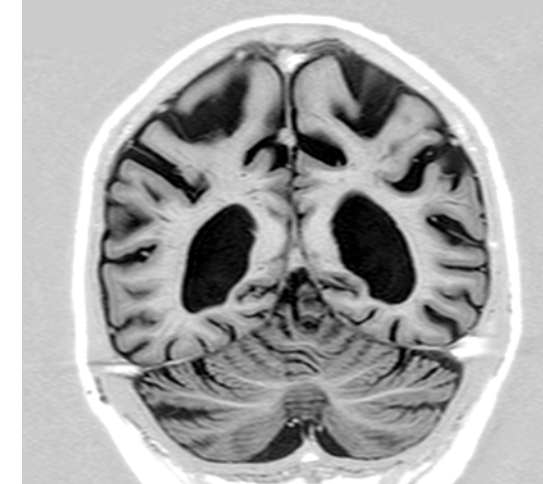
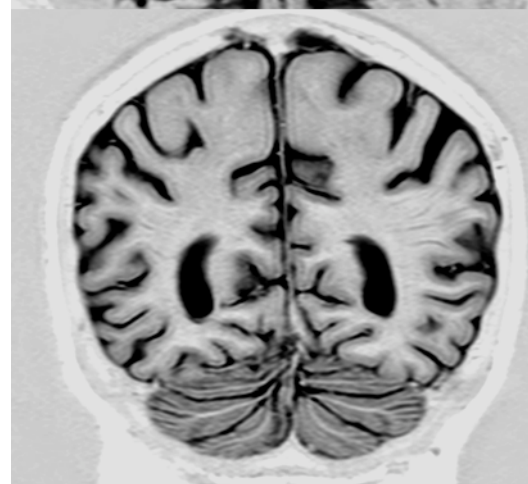
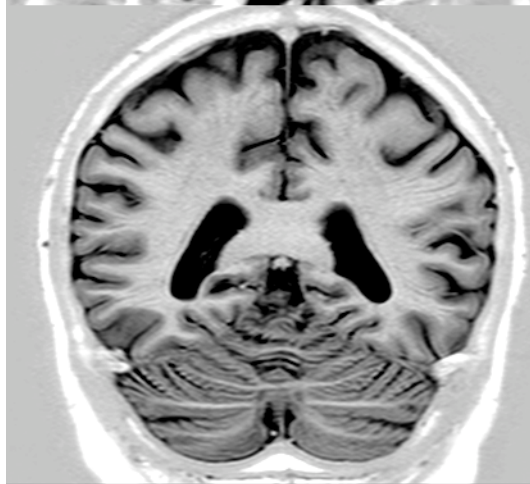
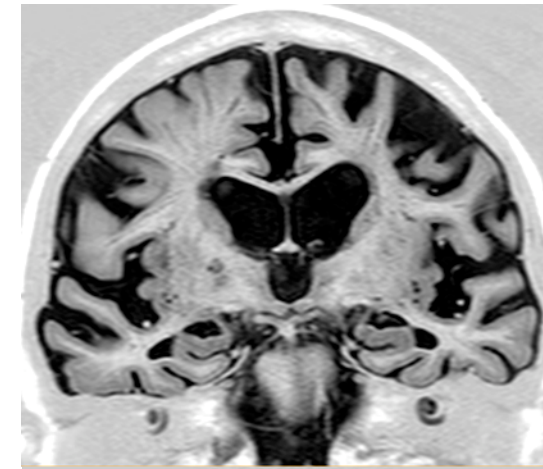
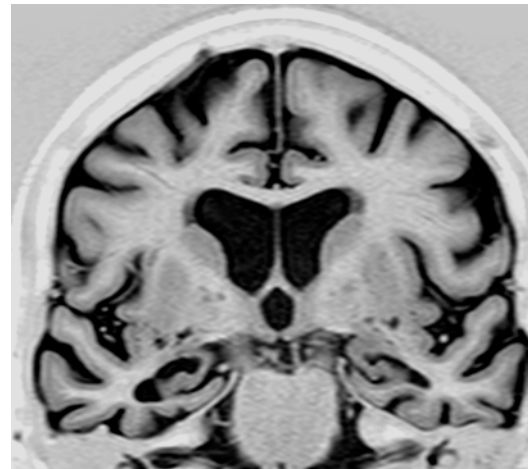
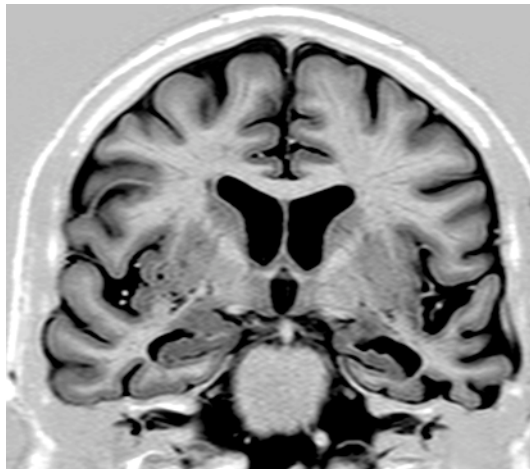


Démence
Sémantique



Morphométrie cérébrale

- La pratique montre le « polymorphisme morphométrique de la MA »



Glioblastome

